

**İSTANBUL TEKNİK ÜNİVERSİTESİ ★ FEN BİLİMLERİ ENSTİTÜSÜ**

**FREKANS CEVABI MASKELEME (FRM) TEKNİĞİ  
KULLANARAK YÜKSEK-HIZLI, DÜŞÜK-GÜÇ  
HARCAYAN KESKİN FIR SAYISAL SÜZGEÇ  
TASARIMI**

**YÜKSEK LİSANS TEZİ**

**Müh. Cercis Özgür SOLMAZ**

**Anabilim Dalı : Elektronik ve Haberleşme Mühendisliği**

**Programı : Telekomünikasyon Mühendisliği**

**Tez Danışmanı: Prof. Dr. Ahmet H. KAYRAN**

**HAZİRAN 2005**

## ÖNSÖZ

Bu çalışmanın hazırlanması sırasında, bana değerli yardımları ve tavsiyeleri için danışmanım Prof. Dr. Ahmet H. KAYRAN'a, uzaktan da olsa bana yardım etmeye çalışan Prof. Dr. Y. C. LIM ve Prof. Dr. Lian Yong'a çok teşekkür ederim.

Ayrıca, değerli ip-uçları ve destekleri için oda arkadaşım Y. Müh. Özgür ORUÇ'a, tavsiyeleri ve yardımları için değerli arkadaşlarım Y. Müh. Aydın KIZILKAYA ve Dr. Ender M. EKŞİOĞLU'na, tüm destek ve iyi niyetleri için değerli arkadaşlarım Y. Müh. Suat AKSU ve Y. Müh. Süleyman BAYKUT'a, çok sevdiğim, bir an önce aramıza geri gelmesini beklediğim değerli arkadaşım Y. Müh. Hacı İLHAN'a, ilgileri, sabırları ve yardımları için değerli ev arkadaşlarım Müh. Serkan ERÖKSÜZ'e ve Müh. Kaan BİNGÖL'e ve bana tüm çalışmam boyunca hep yardımcı ve destek olan sevgili arkadaşım Nilgün CURA'a çok teşekkür ederim.

Son olarak, hayatım boyunca beni cesaretlendikleri, sürekli destek oldukları, kendime güvenmemi sağladıkları ve mutlu olmayı öğrettikleri için annem Ayten SOLMAZ, babam Emin SOLMAZ ve kardeşim Özdal SOLMAZ'a tüm sevgilerimi sunarım.

Haziran, 2005

Cercis Özgür Solmaz

## İÇİNDEKİLER

<b>KISALTMALAR</b>	V
<b>TABLO LİSTESİ</b>	VI
<b>ŞEKİL LİSTESİ</b>	VII
<b>SEMBOL LİSTESİ</b>	IX
<b>ÖZET</b>	X
<b>SUMMARY</b>	XII
<b>1. GİRİŞ</b>	1
<b>2. SAYISAL SÜZGEÇLER</b>	3
2.1 Süzgeç Özellikleri	4
2.2 FIR Sayısal Süzgeçler	9
2.2.1 Doğrusal Fazlı FIR Sayısal Süzgeçler	9
2.3 FIR Süzgeçlerin Minimax Yaklaşımıyla Tasarlanması	13
2.3.1 Reméz Algoritması	13
2.3.1.1 Optimum Çözümün Eldesi	14
2.3.2 Optimum FIR Süzgeçlerin Özellikleri	16
<b>3. ETKİN FIR SÜZGEÇLERE GİRİŞ</b>	18
3.1 Ön-süzgeçleme+Dengeleyici Yaklaşımı	18
3.2 Ara-değerlenmiş Dar-Bandlı Alçak Geçiren FIR Süzgeçler	24
3.2.1 En Uygun M Değerinin Seçimi	27
3.2.2 FIR Süzgecin Uzunluğunun Tahmini	27
3.2.3 IFIR Süzgecin Performans Modellenmesi	28
3.2.4 İletim Bandı Dalgalanmasının İncelenmesi	29
3.2.5 IFIR Süzgeci Tasarımı	29
<b>4. FREKANS CEVABI MASKELEME YAKLAŞIMI (FRM) KULLANILARAK KESKİN DOĞRUSAL-FAZLI FIR SAYISAL SÜZGEÇ ÜRETİLMESİ</b>	34
4.1 Orijinal Frekans Cevabı Maskeleyme Yöntemi	34
4.1.1 Dar Band Süzgeç Tasarımı	35
4.1.2 Keyfi Band Genişlikli FRM Tasarımı	36
4.1.3 $H(e^{j\omega})$ Üzerindeki Dalgalanma Etkileri	41
4.1.4 $H_a(\omega)$ süzgecinin Optimize Edilmesi	43
4.1.5 Optimum $M$ Faktörünün Seçimi	44
4.1.6 Yüksek Katlı FRM Yapısı	49
4.2 Optimum Çok-Katlı FRM Tasarımı	52
4.2.1 Optimum Süzgecinin Tasarımı	56
4.3 IFIR FRM Tekniği	64

4.3.1	Alt-süzgeçlerin Band Sınırlarının Belirlenmesi	66
4.3.2	$n_M$ ve $n_A$ Değerlerinin Seçimi	69
4.3.3	2-Katlı IFIR FRM Yapısı	72
4.3.4	IFIR FRM Yapısı için Düşünülen Basitleştirme ve Elde Edilen Farklılıklar	80
4.4	FRM Yapıları için Gerekli Donanım Karşılaştırmaları	84
<b>5.</b>	<b>GÜNÜMÜZDE FRM YAPILARINDAKİ GELİŞMELER</b>	<b>86</b>
5.1	Çift Uzunluklu Band Sınırı Şekillendiren Süzgeç Üzerine Kurulu FRM Yapısı	86
5.1.1	Çift-uzunluklu Band Sınırı Şekillendiren Süzgeç Kullanılan FRM yapısında Dalgalanma İncelemesi	86
5.1.2	Tasarım Yöntemi	88
5.2.	Ön-süzgeç + dengeleyici türü yeni FRM tasarımı	89
<b>6.</b>	<b>SONUÇLAR</b>	<b>92</b>
	<b>EK-A</b>	<b>94</b>
	<b>EK-B</b>	<b>95</b>
	<b>KAYNAKLAR</b>	<b>97</b>
	<b>ÖZGEÇMİŞ</b>	<b>100</b>

## KISALTMALAR

<b>FIR</b>	Sonlu Dürtü Yanıtlı
<b>IIR</b>	Sonsuz Dürtü Yanıtlı
<b>FRM</b>	Frekans Cevabı Maskeleme
<b>MPR</b>	Parks-McClellan
<b>IFIR</b>	Ara-değerlenmiş Sonlu Dürtü Yanıtlı
<b>RRS</b>	Yinelemeli İlerleyen Toplam
<b>IFIR FRM</b>	Ara-değerlenmiş Sonlu Dürtü Yanıtlı Frekans Cevabı Maskeleme

## TABLO LİSTESİ

<b>Tablo 3.1.1</b>	Gerekli Süzgeç Katsayıları	22
<b>Tablo 3.1.2</b>	Ön-süzgeç örneği için gerekli donanım özellikleri	22
<b>Tablo 3.2.1</b>	IFIR süzgecinin M değerine bağlı hesaplama karmaşıklığındaki azalma	30
<b>Tablo 3.2.2</b>	IFIR süzgecinin M değerine bağlı hesaplama karmaşıklığındaki azalma	32
<b>Tablo 4.1.1</b>	M ara-değerleme faktörünün tahmini	46
<b>Tablo 4.1.2</b>	<i>FRM_Kat1.m</i> programı çıktısı	48
<b>Tablo 4.1.3</b>	<i>FRM_Kat2.m</i> programı çıktısı	51
<b>Tablo 4.2.1</b>	$K = 1, 2, \dots, 9$ için $\beta(K)$ değerleri	57
<b>Tablo 3.2.2</b>	$\zeta(\beta)$ fonksiyonu değerleri	58
<b>Tablo 4.2.3</b>	<i>OptimumKkatli.m</i> Program çıktısı	61
<b>Tablo 4.2.4</b>	5. katlı FRM yapısı için tüm alt-süzgeçlerini band sınırları	61
<b>Tablo 4.3.1</b>	1-Katlı IFIR FRM örneği	70
<b>Tablo 4.3.2</b>	<i>IFIRFRM1Katli.m</i> çıktısı	71
<b>Tablo 4.3.3</b>	Tüm alt-süzgeçler için gerekli tasarım denklemleri	76
<b>Tablo 4.3.4</b>	Tüm alt-süzgeçlerin band sınırları ve gerekli süzgeç uzunlukları	77
<b>Tablo 4.3.5</b>	<i>IFIRFRM2Katli.m</i> dosyasının çıktısı	77
<b>Tablo 4.3.6</b>	$\omega_{ilet} \approx 0.5\pi$ için 2-katlı IFIR FRM süzgecin parametreleri	79
<b>Tablo 4.3.7</b>	<i>IFIRFRM2Katli_wilet05.m</i> çıktısı	79
<b>Tablo 4.3.8</b>	Elde edilen süzgeç ve [9]'da verilen süzgeç parametreleri ve uzunlukları	83
<b>Tablo 4.3.9</b>	<i>IFIRFRM2Katliwp2ws2005.m</i> dosyasının çıktısı	84
<b>Tablo 4.4.1</b>	Donanım Karşılaştırması 1	85
<b>Tablo 4.4.2</b>	Donanım Karşılaştırması 2	85
<b>Tablo 4.4.3</b>	Donanım Karşılaştırması 3	85

## ŞEKİL LİSTESİ

<b>Şekil 2.1</b>	Genel ideal sayısal süzgeç tipleri	5
<b>Şekil 2.2</b>	İdeal olmayan alçak geçiren bir süzgeç	5
<b>Şekil 2.3</b>	$H(\omega)$ ve $ H(e^{j\omega}) $ ile $\phi(\omega)$ ve $\arg H(e^{j\omega})$ arasındaki ilişki	11
<b>Şekil 2.4</b>	Dört tip doğrusal-fazlı FIR süzgecin sıfır-fazlı frekans cevabı örneği	13
<b>Şekil 2.5</b>	Optimum 1. Tip, $2M = 16$ dereceli alçak geçiren süzgecin sıfır-fazlı frekans yanıtı ve hata fonksiyonu	16
<b>Şekil 3.1.1</b>	RRS gerçekleşmesinin blok şeması	19
<b>Şekil 3.1.2</b>	Ön-süzgeç + dengeleyici yaklaşımıyla tasarlanan süzgecin frekans yanıtları (a) Ön-süzgeç ve dengeleyici (b) Tüm süzgeç (c) Geleneksel FIR süzgeç	23
<b>Şekil 3.2.1</b>	(a) Her gecikme elemanı yerine $M$ gecikme elemanı kullanarak band sınırı şekillendiren FIR süzgeç, (b) Bir model FIR süzgeç (c) $M=3$ alınarak oluşturulan sınırı şekillendiren FIR süzgeç	25
<b>Şekil 3.2.2</b>	IFIR süzgecin genlik yanıtları	26
<b>Şekil 3.2.3</b>	Ara-değerlenmiş FIR süzgeç yapısı	26
<b>Şekil 3.2.4</b>	$f_{ilet}=0.1$ dB için geçiş bandı genişliğine bağlı IFIR süzgeç performansı	28
<b>Şekil 3.2.5</b>	IFIR süzgecin genlik yanıtları	31
<b>Şekil 3.2.6</b>	$f_{ilet} = 0.005$ esas alınarak, $M = 8, 9, 10$ için hesaplama karmaşıklığındaki azalma oranları	33
<b>Şekil 3.2.7</b>	IFIR süzgecin genlik yanıtları	33
<b>Şekil 4.1.1</b>	Süzgeç uzunluğunun geçiş bandı genişliği ile değişimi	35
<b>Şekil 4.1.2</b>	Frekans Yanıtı Maskeleye Tekniğinin Basit Gösterilimi	36
<b>Şekil 4.1.3</b>	$F_c$ süzgecinin gerçekleşmesi	37
<b>Şekil 4.1.4</b>	FRM tekniğinin blok şeması	38
<b>Şekil 4.1.5</b>	Frekans Yanıtı Maskeleye Tekniğinde kullanılan süzgeçlerin frekans yanıtları	40
<b>Şekil 4.1.6</b>	Model Süzgeçler ve Maskeleye Süzgeçleri	47
<b>Şekil 4.1.7</b>	(a) Arzulanan süzgecin frekans cevabı, (b) İletim bandı dalgalanması (c) Durdurma bandı bastırması	48
<b>Şekil 4.1.8</b>	2-Katlı FRM yapısı	49
<b>Şekil 4.1.9</b>	2-Katlı FRM yapısı için model ve band sınırı şekillendiren süzgeçler	49
<b>Şekil 4.1.10</b>	2-Katlı FRM yapısında (a) Maskeleye süzgeçleri (b) 1. Kat çıkışı (c) İletim bandı dalgalanması (d) Durdurma bandı bastırması (e) 2-Katlı FRM süzgecinin frekans cevabı	50
<b>Şekil 4.2.1</b>	K-Katlı Optimum FRM yapısı	60
<b>Şekil 4.2.2</b>	Tüm katlar için model süzgeçler	62
<b>Şekil 4.2.3</b>	5-katlı FRM süzgecinin (a) genlik cevabı, (b) iletim bandı dalgalanması (c) durdurma bandı bastırması	63

<b>Şekil 4.3.1</b>	IFIR FRM yapısı	64
<b>Şekil 4.3.2</b>	IFIR FRM süzgecin elde edilmesi	65
<b>Şekil 4.3.3</b>	Model süzgeç ve maskeleme süzgeçleri	71
<b>Şekil 4.3.4</b>	1-Katlı IFIR FRM süzgecin frekans cevabı, iletim ve durdurma bandı dalgalanmaları	72
<b>Şekil 4.3.5</b>	2-katlı IFIR FRM yapısı	73
<b>Şekil 4.3.6</b>	2-Katlı IFIR FRM süzgecin elde edilmesi	74
<b>Şekil 4.3.7</b>	2-katlı IFIR FRM süzgecin frekans cevabı ile iletim ve durdurma bandı dalgalanmaları	78
<b>Şekil 4.3.8</b>	2-katlı IFIR FRM süzgecin frekans cevabı, iletim ve durdurma bandı dalgalanmaları	80
<b>Şekil 4.3.9</b>	$E$ süzgeci yerin $A$ model süzgeci kullanılarak elde edilen yeni 1-katlı IFIR FRM süzgeç	81
<b>Şekil 4.3.10</b>	2-katlı IFIR FRM yapısındaki $A$ model ve $E$ süzgeci	81
<b>Şekil 4.3.11</b>	Yeni yapı ile orijinal 2-katlı IFIR FRM yapısı karşılaştırılması (a) orijinal 2-katlı IFIR FRM, (b) $E$ süzgeci yerine $A$ model süzgeci kullanılan 2-katlı IFIR FRM yapısı	82
<b>Şekil 4.3.12</b>	Elde edilen süzgeç (b) ile [9]'verilen süzgecin (a) frekans cevapları	84
<b>Şekil 5.1.1</b>	FRM yapısındaki her bir alt-süzgecin frekans cevapları	87
<b>Şekil 5.2.1</b>	Ön-süzgeç yapısı (a) $P_1(z)$ , (b) $P_2(z)$ , (c) $P(z)$ süzgeçleri	89
<b>Şekil 5.2.2</b>	Değiştirilmiş yeni FRM yapısı	91



## SEMBOL LİSTESİ

$\omega$	Frekans deęişkeni (radyan)
$\Delta$	Geçiş bandı genişlięi
$\angle$	Faz
$\delta$	Dalgalanma
$A$	Zayıflama
$\tau_g$	Grup gecikmesi
$f_{norm}$	Normalize frekans
$f_s$	Örnekleme frekansı
$X$	Frekans bandı
$C$	Hata fonksiyonunun tepe genlięi
$\epsilon$	Sapma
$\theta$	Model süzgecin iletim bandı sınırı
$\phi$	Model süzgecin durdurma bandı sınırı
$\Phi$	Hermann süzgeç uzunluęu kestirim deęişkeni
$N_0$	Remez tasarımı süzgeç uzunluęu
$\alpha$	Simetri belirleyici reel deęişken
$L_0$	Çarpıcı sayısını
$\Lambda$	Maskleme süzgecinin geçiş bandı genişlięi

## **FREKANS CEVABI MASKELEME (FRM) TEKNIĐİ KULLANILARAK YÜKSEK-HIZLI, DÜŐÜK-GÜÇ HARCIYAN KESKİN FIR SAYISAL SÜZGEÇ TASARIMI**

### **ÖZET**

Sayısal süzgeç tasarımı, birçok mühendislik alanında önemli yapı taşlarından biridir. İşaret işleme, haberleşme ve kontrol uygulamaları gibi kullanım alanlarına sahiptir. Sayısal süzgeç olarak, genellikle kararlılıkları ve doğrusal fazlı karakterleri nedeniyle FIR süzgeçler tercih edilir. Ancak, keskin bir süzgeç üretmek istendiğinde, süzgeç uzunluğu artar. Bu durumda, büyük süzgeç uzunlukları gerektiren gerçeklemler için büyük işlemsel kaynaklar, büyük gerçekleştirme gereksinimleri ve yüksek güç gereklidir. Bu problemin çözümü için en uygun ve etkili yöntem, Frekans Cevabı Maskele (FRM) tekniğidir. FRM tekniğiyle, uygulamaya göre seçilebilen band genişlikli keskin süzgeçler, süzgeç karmaşıklığı minimize edilerek elde edilebilir.

FRM tekniğinin temel mantığı, birçok kısa alt-süzgeç kullanarak keskin bir FIR süzgeç oluşturmaktır. FRM tekniği, iki yapı bloğundan oluşur. Birinci yapı bloğunda, ara-değerlenmiş band sınırı şekillendiren süzgeç ve bu süzgecin tamamlayıcısı kullanılarak istenilen band genişliği ve keskin geçiş bandı elde edilir. İkinci kısımda ise, band sınırı şekillendiren süzgeçten gelen istenmeyen periyodik yüksek frekans bileşenleri iki maskeleme süzgeci kullanılarak yok edilir. Bu iki yapı bloğunun peşi sıra kullanılmasıyla FRM çıkış süzgeci elde edilir.

Band sınırı şekillendiren süzgeç ara-değerlendiğinden seyrek katsayılı bir FIR süzgeçtir. Bu tür seyrek katsayılı süzgeçler, çarpıcı ve toplayıcı sayısında büyük kazanç sağlamaları yanında, güç tüketimini de önemli oranlarda azaltırlar.

Günümüze kadar, FRM tekniği üzerine kurulmuş bir çok yeni yapı oluşturulmuştur. FRM yaklaşımı üzerinde yapılan bazı değişikliklerle, optimum FRM, IFIR FRM, çift-uzunluklu band sınırı şekillendiren süzgeç tabanlı FRM ve ön-süzgeçleme+dengeleyici yapısı ile oluşturulan FRM teknikleri doğmuştur. Yeni yapıların bazıları kullanılarak hesaplama karmaşıklığı % 97-98 oranında azaltılmıştır. Ayrıca,

IFIR FRM tasarımı algoritması üzerinde ufak bir deęişiklik yapılarak, hesaplama karmaşıklığı daha da azaltılabilir.

FRM tekniğinin kullanım alanları zamanla artmaktadır ve modern süzgeç tasarımlarında, özellikle düşük-güç uygulamaları için günümüzde tercih edilen ve etkili bir tekniktir.

## **HIGH-SPEED & LOW-POWER SHARP FIR DIGITAL FILTER DESIGN BY USING FREQUENCY RESPONSE MASKING (FRM) TECHNIQUE**

### **SUMMARY**

Digital filter design is one of the important studies in many engineering applications. Digital filters are commonly used in digital signal processing, communication and control systems. Due to their stability and linear phase, Finite Impulse Response (FIR) filters are mostly preferred in these systems. One of the most important problems is the design of a digital filter with sharp cutoff edges. This kind of filters have excessively long impulse responses. The implementation of a long FIR filter requires great computational burden and high-power. Frequency Response Masking (FRM) technique, one of the most computationally efficient techniques for synthesizing arbitrary bandwidth sharp FIR filters, can be used to overcome these problems.

A long FIR digital filter is considered as a combination of several short filters in FRM technique. There are two main blocks in FRM structure. In the first block, user-specified passband and transition bandwidth are obtained by a band-edge shaping filter and its complement. However, in this block, unwanted periodical frequency components occur at high frequencies. In the second block, high frequency components are removed by two masking filters. The desired long-sharp filter is the output of these two blocks, but now it is short and also sharp.

The band-edge shaping filter is interpolated in the first block. That's why, it has sparse coefficients. Such a sparse coefficient filter reduces the number of multipliers and adders. Thus, it requires low-power consumption to implement a desired sharp FIR filter.

There have been developed many modified versions of FRM technique up to recent years. Optimum FRM, Interpolated FIR (IFIR) FRM, even-length band-edge shaping filter based FRM and prefilter+equalizer based FRM structures are some of the modified versions of original FRM technique. These modifications yield additional

savings in the number of arithmetic operations, multipliers and adders. By using these techniques, in some cases, the reduction of computational complexity can be reduced 97-98 %. Also, more additional reduction on the computational complexity can be achieved by a simple control on the algorithm of IFIR FRM technique.

The usage of digital filters designed by FRM technique is rising day by day and in modern filter design, especially in low-power applications, these filters are being very attractive due to their high efficiency.

## 1. GİRİŞ

Sonlu Dürtü Yanıtlı (FIR) süzgeçler, yüksek-kaliteli sayısal ses sistemleri, sayısal televizyonlar, konuşma algılama, cep telefonları gibi birçok sayısal işaret işleme uygulamasında kullanılmaktadır. FIR süzgeçlerin en önemli dezavantajı karmaşıklıklarıdır. Bu problem, keskin FIR süzgeçler için mutlaka çözülmesi gereken bir problemdir. Doğrusal fazlı keskin FIR sayısal süzgeçler tasarlamak için kullanılabilir en etkili yöntem, hesaplama karmaşıklığını, çarpıcı ve toplayıcı sayısını çok büyük oranda azaltan Frekans Cevabı Maskeleye (FRM) tekniğidir. FRM tekniğinin en büyük avantajı, istenen genişlikte iletim ve durdurma bandı sınırlarına sahip süzgeç üretebilmesidir. Hesaplama karmaşıklığındaki büyük azalma, süzgecin etkin uzunluğunun ve tüm süzgecin derecesinin, geleneksel FIR süzgeç gerçekleştirmesinden az miktarda büyük olmasına neden olur. Bu çalışmada, orijinal FRM tekniği esas alınarak, geliştirilmiş FRM yapıları da incelenmiştir.

Tezin ikinci bölümünde, genel olarak doğrusal-fazlı FIR süzgeçler üzerinde durulmuştur. FIR süzgeçleri tasarlamak için kullanılan (Parks-McClellan) MPR ve reméz algoritmaları özetlenmiştir. Son olarak da süzgeç uygulamalarında kullanılacak geleneksel doğrusal-fazlı alçak geçiren süzgeçlerin uzunluğunun kestirimi anlatılmıştır.

Tezin üçüncü bölümünde, etkin süzgeçlere bir giriş yapılmıştır. Etkin süzgeçlerin tasarlanması için bir yol açan iki yöntem olan ön-süzgeçleme+dengeleyici yapısıyla ara-değerlenmiş (IFIR) süzgeçler, bilgisayarlı gerçekleştirmeler ile ayrıntılı olarak incelenmiştir.

Tezin dördüncü bölümü, tamamıyla FRM tekniği üzerine kurulu olan bölümdür. Bu bölümün ilk kısmında, öncelikle orijinal FRM yapısının teorisi üzerinde durulmuş ardından da bilgisayarlı gerçekleştirmeler sunulmuştur. İkinci kısmında ise, FRM yapısının nasıl optimum hale getirilebileceği ve bir  $K$ -katlı optimum yapının, arzulanan bir süzgeci tasarlayacak kullanıcıya FRM hakkında bir öngörü sağlayabileceği anlatılmıştır. Bilgisayarlı gerçekleştirmelerle optimum tasarım

pekiştirilmiştir. Son kısımda ise, yeni bir yaklaşım ile oluşturulan IFIR FRM yapısı ele alınmıştır. 1-katlı ve 2-katlı IFIR FRM yapısı için tasarım denklemleri anlatılmış ve ayrıntılı olarak bilgisayarlı gerçeklemler ile desteklenmiştir. Daha sonra IFIR FRM yapısı üzerinde küçük ama etkili bir deęişiklik yapılarak daha kullanışlı bir yapı elde edilebileceęi üzerinde durulmuştur. Bu yapı için elde edilen farklı bir tasarım da son olarak bilgisayarlı gerçeklemleriyle birlikte sunulmuştur.

Tezin beşinci bölümünde, FRM tekniğinin durağan bir yapısı olmadığına gösterilmesi ve okuyucuya yeni görüş açıları kazandırma amaçlanmıştır. Bu nedenle son yıllarda tasarlanmış, çift-uzunluklu band sınırı şekillendiren süzgeç üzerine kurulu FRM yapısı ile ön-süzgeçleme+dengeleyici yapısına kavuşturulmuş band sınırı şekillendiren süzgeç ile tasarlanan FRM yapıları, ayrıntılarına girilmeden ve bilgisayarlı gerçeklemleri yapılmadan anlatılmıştır.

Tezin altıncı bölümünde, FRM tekniğinin neden tercih edilmesi gerektięi, geliştirilmiş yeni FRM yapılarının FRM tekniğine kattıkları ve bu yeni yapılar üzerinde düşünölebilecek ufak bir deęişiklik ile nasıl bir kazanç elde edilebileceęi anlatılmıştır.

## 2. SAYISAL SÜZGEÇLER

Sayısal süzgeçler ses işleme, veri haberleşmesi, görüntü ve video işleme, sonar, radar, sismik araştırmaları ile petrol bulma çalışmaları gibi bir çok alanda geniş bir kullanım alanına sahiptir [1]. Sayısal süzgeçler, doğrusal ve doğrusal olmayan, zamanla-değişen ve zamanla-değişmeyen süzgeçler olarak gruplanırlar. Doğrusal zamanla-değişmeyen sayısal süzgeçler, teori ve tasarım teknikleri sistematik olarak tamamlandığından [2], analiz edilmeleri, tasarlanmaları ve uygulamalarının kolay olduğundan en çok kullanılan süzgeç türüdür. Bu tezde süzgeç dendiğinde doğrusal, zamanla-değişmeyen süzgeçler anlaşılacaktır.

Zamanla değişmeyen sayısal süzgeçler, zaman uzayında dürtü cevabı,  $h(n)$  ve frekans uzayında frekans cevabı,  $H(\omega)$  ( $\omega$ , gerçekte değerli frekans değişkeni (radyan)) ile benzersiz ve tek olarak tanımlanabilir. Ayrıca  $H(\omega)$ ,  $h(n)$  dizisinin Ayrık Zamanlı Fourier Dönüşümü (DTFT)'dür. Doğrusal zamanla-değişmeyen sayısal süzgeçlerin iki temel türü vardır: Sadece sonlu sayıda örnek için, dürtü cevabı  $h(n)$  dizisinin sıfırdan farklı olduğu Sonlu Dürtü Yanıtlı (FIR) süzgeçler ve sıfırdan farklı örneklerin sonsuz sayıda olduğu dürtü cevabı  $h(n)$ 'e sahip Sonsuz Dürtü Yanıtlı (IIR) süzgeçler. FIR süzgeçler için,  $h(n)$  dizisinin örnekleri, süzgeç katsayıları olarak tanımlanır. IIR süzgeçler için ise, süzgeç katsayıları fark denklemleri içinde geri besleme terimlerini de içerir.

Birçok sayısal işaret işleme uygulamalarında, farklı frekans bileşenlerini ileten ya da bastıran frekans-seçici süzgeçlerin tasarlanması arzulanır. Bu durumda, arzulanan süzgeç tasarım özellikleri, frekans uzayında arzulanan frekans cevabı  $D(f)$  ile belirlenir.  $D(f)$ , arzulanan genlik cevabı  $|D(f)|$  ve arzulanan faz cevabı  $\angle D(f)$  olan karmaşık değerli bir dizidir.

En önemli problemlerden biri, keskin kesim frekans sınırlarına sahip (dar geçiş bantlı) süzgeçler tasarlamaktır. Ancak, süzgecin ideal keskin sınırları matematiksel olarak süreksizliklere karşılık gelir ve uygulamada gerçekleştirilemez. Bu nedenle, süzgeç tasarım problemi, arzulanan tasarım özellikleri ve kısıtlamalara göre



belirlenmiş ideal genlik ve faz yanıtlarına en yakın frekans cevabı  $H(f)$ 'e sahip, düşük dereceli ama uygulanabilir süzgeçler bulmaktır.

Sayısal süzgeç tasarımı, genel olarak üç aşamada gerçekleşir.

1. Verilen tasarım özelliklerini kullanarak arzulanan genlik ve faz yanıtlarını, tasarlanacak süzgeç tipini (FIR ve ya IIR), süzgeç derecesini, hata toleransı veya kriterini belirlemek.

2. Birinci aşamada belirlenen özellikleri, matematiksel hata kriterlerine göre, bu özelliklere en yakın frekans cevabına sahip, uygulanabilir FIR veya IIR süzgeçleri için gerekli özelliklere yakınsamak.

3. Uygulama alanına göre uygun sayısal teknoloji kullanarak süzgeci gerçeklemek.

İkinci aşama, matematiksel optimizasyon ve yaklaşım yöntemleri ile gerçekleştirilirken, 1. aşama uygulamadan bağımsız ve ayrıntıları kullanıcı tarafından belirlenir. Günümüzde, ikinci aşama genellikle karmaşık sayısal optimizasyon yöntemlerini uygulayan bilgisayar programları ile gerçekleştirilir.

## 2.1 Süzgeç Özellikleri

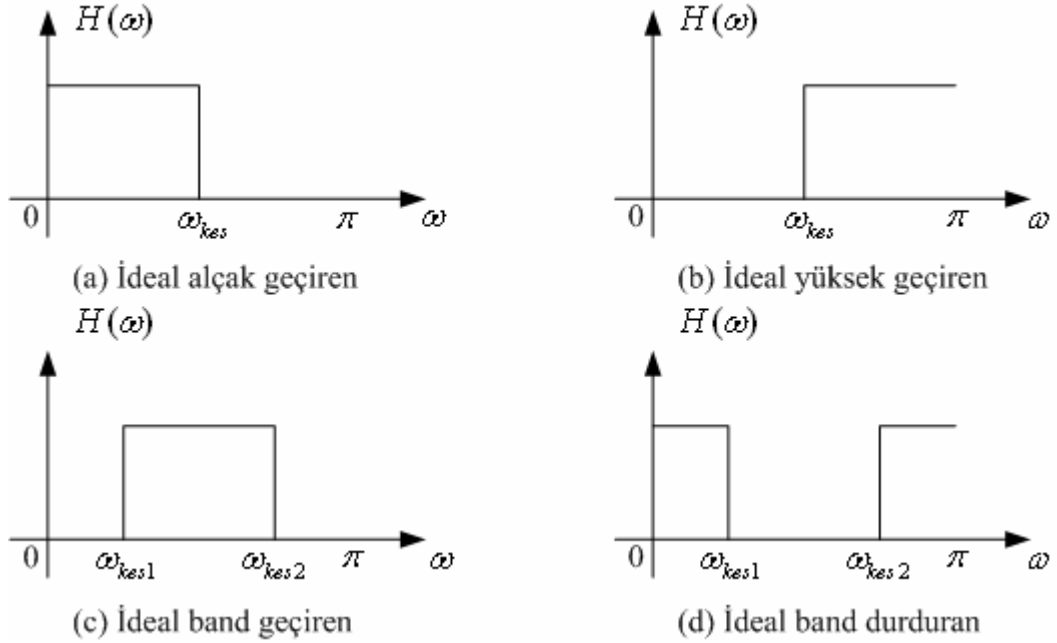
Gerçeklenebilir bir süzgeç, bazı performans kriterlerinin optimize edilmesi ile bulunur. Süzgeç derecesini azaltmak (IIR), süzgeç uzunluğunu azaltmak (FIR) ve iletim ve durdurma bandı dalgalanmalarını azaltarak geçiş bandı genişliğini daraltmak optimize yollarından bazılarıdır.

Sayısal bir süzgecin frekans cevabı, frekans değişkeni  $\omega$  ile  $2\pi$  periyodu ile periyodik ise, tasarım özellikleri sadece bir periyot için  $[-\pi, \pi]$  frekans aralığında belirlenir.

En basit süzgeç olan sıfır fazlı ideal alçak-geçiren sayısal süzgecin frekans cevabı,

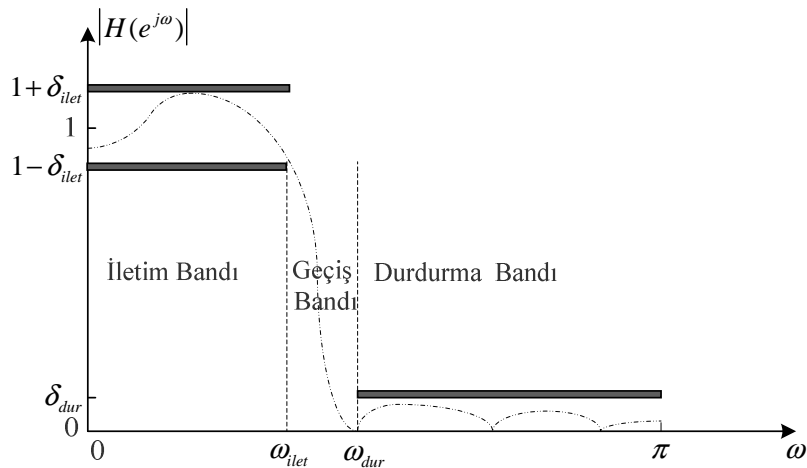
$$D(\omega) = \begin{cases} 1, & |\omega| < \omega_{kes} \\ 0, & \omega_{kes} < |\omega| < \pi \end{cases} \quad (2.1)$$

burada,  $\omega_{kes}$ , kesim frekansıdır. Bu durumda, frekans cevabı,  $D(\omega)$ , gerçek değerli ve süzgecin genlik cevabına karşı düşer. Bazı genel süzgeç yapılarının frekans yanıtları Şekil 2.1 ile verilmiştir.



Şekil 2.1 Genel ideal sayısal süzgeç tipleri

Bu ideal süzgeçlerin, keskin kesim sınırlarına (süreksizlikler) sahip frekans cevapları nedeniyle doğrudan tasarlanmaları mümkün değildir. Bu nedenle, bu süzgeçlerin gerçekleştirilebilir süzgeçlere yakınsamaları gerekir. Bu durumda, keskin kesim sınırı yerini bir geçiş bandına bırakır. Geçiş bandındaki frekans cevabı, iletim bandından durdurma bandına kadar değişkenlik gösterir. Alçak geçiren tipik bir süzgeç için bu yapı Şekil 2.2 ile verilmiştir.



Şekil 2.2 İdeal olmayan alçak geçiren bir süzgeç

$\omega_{ilet}$  iletim bandı kesim frekansı,  $\omega_{dur}$  durdurma bandı kesim frekansı,  $(\omega_{ilet}, \omega_{dur})$  aralığı, genişliği  $\Delta\omega_{geç} = \omega_{dur} - \omega_{ilet}$  olan geçiş bandıdır.

Genel tasarım yöntemlerinde, geçiş bandı için tasarım özellikleri verilmez. Bu nedenle, geçiş bandına “ilgilenilmeyen band” (don't care band) adı verilir.  $\delta_{ilet}$ , iletim bandı dalgalanması ve izin verilen iletim bandı hatasıdır.  $\delta_{dur}$  ise, durdurma bandı dalgalanması ve izin verilen durdurma bandı hatasıdır. Süzgeç tasarımında bir sonraki adım, tasarım özelliklerine en yakın frekans cevabı  $H(\omega)$ 'e sahip gerçekleştirilebilir bir FIR veya IIR süzgeç bulmaktır. Daha sonra, iki tasarım kriteri daha belirlenmelidir. Biri genlik cevabı, diğeri de (iletim bandı) faz cevabıdır. İdeal bir faz cevabı, sabit eğimli bir fonksiyonuna sahiptir.

$$\angle D(\omega) = -M\omega \quad (2.2)$$

$M$  parametresi, süzgecin arzulanan gecikmesine eşittir [1].

Genellikle, genlik yanıtı için izin verilen dalgalanmalar logaritmik (dB cinsinden) olarak izin verilen en büyük iletim bandı dalgalanması ve en küçük durdurma bandı zayıflaması cinsinden ifade edilir.

$$A_{ilet} = 20 \log_{10} \left( \frac{1 + \delta_{ilet}}{1 - \delta_{ilet}} \right) \text{ dB} \quad (2.3a)$$

$$A_{dur} = -20 \log_{10} \delta_{dur} \text{ dB} \quad (2.3b)$$

Bu değerler pozitifdir. Bir başka iletim bandı ölçüm kriteri ise, logaritmik olarak belirtilen tepe sapmasıdır. İletim ve durdurma bandı tepe sapmaları sırasıyla,  $A_{ilet} = 20 \log_{10}(\delta_{ilet})$  ve  $A_{dur} = 20 \log_{10}(\delta_{dur})$  'dır. Bu değerler ise negatiftir.

Eğer süzgecin örnekleme frekansı  $f_s$  ise,  $\omega$  açısal frekansının  $f$  cinsinden ifadesi aşağıdaki gibidir.

$$\omega = 2\pi f / f_s \quad (2.4)$$

Aynı zamanda  $f$ , normalize edilerek de ifade edilebilir.

$$f_{norm} = f / f_s \quad (2.5)$$

Bazı uygulamalarda, giriş işaretinin şeklini korumak gereklidir. Bu ancak süzgecin faz cevabının,  $[0, \omega_{ilet}]$  iletim bandında ve  $[\omega_{dur}, \pi]$ , durdurma bandında doğrusal olmasıyla başarılabilir.

$$\phi(\omega) = \tau_0 \omega + \tau_1 \quad (2.6)$$

burada,  $\tau_0$  ve  $\tau_1$  istenildiği gibi seçilebilir. Süzgeç tasarımlarında genelde, faz cevabı yerine bir kriter olarak grup gecikme cevabı,

$$\tau_g(\omega) = -\frac{d \arg H(e^{j\omega})}{d\omega} \quad (2.7)$$

ya da faz gecikme cevabı,

$$\tau_f(\omega) = -\frac{\arg H(e^{j\omega})}{\omega} \quad (2.8)$$

kullanılır. Bu cevaplar faz cevabına göre daha basit ve anlaşılması daha kolaydır.

Süzgeç tasarımlarında, iletim ve durdurma bandları için arzulanan genlik cevabı,  $D(\omega)$  yanında, bir de bulunduğu banda bağlı olan, izin verilen en büyük hata terimi de belirtilir. Genel olarak, hata terimi şu şekilde ifade edilir.

$$D_{ilet}(\omega) - e_{ilet}(\omega) \leq |H(e^{j\omega})| \leq D_{ilet}(\omega) + e_{ilet}(\omega) \quad , \omega \in X_{ilet} \quad (2.9a)$$

$$|H(e^{j\omega})| \leq e_{dur}(\omega) \quad , \omega \in X_{dur} \quad (2.9b)$$

burada,  $X_{ilet}$  ve  $X_{dur}$  süzgecin iletim ve durdurma bandlarını temsil etmektedir.  $e_{ilet}(\omega)$  ve  $e_{dur}(\omega)$  sırasıyla arzulanan iletim bandı cevabı  $D_{ilet}(\omega)$ 'den en büyük sapma ve arzulanan durdurma bandında sıfırdan en büyük sapmadır. (2.9) ile verilen özellikler, iletim ve durdurma bandı ağırlık fonksiyonları  $W_{ilet}(\omega)$  ve  $W_{dur}(\omega)$  cinsinden de ifade edilebilir.

$$-\delta_{ilet} \leq W_{ilet}(\omega) \cdot [|H(e^{j\omega})| - D_{ilet}(\omega)] \leq \delta_{ilet} \quad , \omega \in X_{ilet} \quad (2.10a)$$

$$W_{dur}(\omega) \cdot |H(e^{j\omega})| \leq \delta_{dur} \quad , \omega \in X_{dur} \quad (2.10b)$$

$e_{ilet}(\omega)$  ile  $\delta_{ilet}$  ve  $W_{ilet}(\omega)$  arasındaki ilişki şöyle verilebilir.

$$e_{ilet}(\omega) = \delta_{ilet} / W_{ilet}(\omega) \quad (2.11a)$$

Aynı şekilde,  $e_{dur}(\omega)$  ile  $\delta_{dur}$  ve  $W_{dur}(\omega)$  arasındaki ilişki de şöyle verilir.

$$E_{dur}(\omega) = \delta_{dur} / W_{dur}(\omega) \quad (2.11b)$$

(2.10) denklemlerinin,  $\delta_{ilet}$  ve  $\delta_{dur}$  cinsinden ifade edilmeleri birçok süzgeç tasarım tekniği için daha yararlı olacaktır.

$$|E(\omega)| \leq \mathcal{C} \quad , \omega \in X = X_{ilet} \cup X_{dur} \quad (2.12a)$$

burada,

$$E(\omega) = W(\omega) \cdot [ |H(e^{j\omega})| - D(\omega) ] \quad (2.12b)$$

$$\mathcal{C} = \delta_{ilet} \quad (2.12c)$$

$$D(\omega) = \begin{cases} D_{ilet}(\omega) & , \omega \in X_{ilet} \\ 0 & , \omega \in X_{dur} \end{cases} \quad (2.12d)$$

$$W(\omega) = \begin{cases} W_{ilet}(\omega) & , \omega \in X_{ilet} \\ \frac{\delta_{ilet}}{\delta_{dur}} W_{dur}(\omega) & , \omega \in X_{dur} \end{cases} \quad (2.12e)$$

$D(\omega)$  ve  $W(\omega)$ , sırasıyla arzulanan fonksiyon ve ağırlık fonksiyonudur.  $E(\omega)$  ise ağırlıklandırılmış hata fonksiyonudur. Eğer bu fonksiyonun en büyük mutlak değeri  $\mathcal{C}$  değerinden küçük ya da  $\mathcal{C}$  değerine eşit ise,  $|H(e^{j\omega})|$ 'nin verilen süzgeç özelliklerini sağlaması garanti altına alınır.

Örneğin, band geçiren bir süzgeç için süzgeç özellikleri şu şekilde verilebilir.

$$1 - \delta_{ilet} \leq |H(e^{j\omega})| \leq 1 + \delta_{ilet} \quad , \omega \in [\omega_{ilet1}, \omega_{ilet2}] \quad (2.13a)$$

$$|H(e^{j\omega})| \leq \delta_{dur} \quad , \omega \in [0, \omega_{dur1}] \cup [\omega_{dur2}, \pi] \quad (2.13b)$$

Sayısal süzgeç tasarımında birçok farklı hata ölçütleri vardır. Bunlardan en önemli üçü Minimax hata tasarımları, en-küçük karelerle hata tasarımları ve en büyük düzlüğe sahip frekans cevabı yaklaşımlarıdır.

## 2.2 FIR Sayısal Süzgeçler

Sayısal işaret işleme uygulamalarının çoğunda, FIR süzgeçler IIR süzgeçlere göre çok daha fazla tercih edilir. IIR süzgeçlere göre, FIR süzgeçlerin temel avantajları aşağıdaki gibi sıralanabilir.

1. Doğrusal fazlı FIR süzgeçler kolayca tasarlanabilir.
2. FIR süzgeçleri uygulamak için, hesaplama karmaşıklığını azaltan etkin gerçeklemeler vardır.
3. FIR süzgeçler yinelemeli olarak gerçekleştirilmediklerinden doğal olarak durağandır. Sonlu-kelime uzunluklu sayısal sistemler için osilasyon yapmazlar.
4. Farklı özelliklere sahip FIR süzgeçler için mükemmel tasarım yöntemleri vardır.
5. Bir FIR süzgeçte, yuvarlatma hatalarından dolayı oluşan çıkış gürültüsü genellikle çok küçüktür. Süzgeç katsayılarındaki değişimlere olan sistem duyarlılığı da çok düşüktür.

Geleneksel FIR süzgeç tasarlanmanın temel dezavantajı, özellikle dar geçiş bantlı tasarımlarda, çok fazla aritmetik işlem ve çarpıcı, toplayıcı ve gecikme elemanları gibi donanım bileşenlerine ihtiyaç duyulmasıdır. Bir FIR süzgecin geçiş bantı daraltıldığında, aritmetik işlem sayısı ve de işlemsel karmaşıklık, geçiş bantı genişliğiyle ters orantılı olarak artar. Bu, dar geçiş bantlı FIR süzgeçlerin tasarlanmasını çok maliyetli hale getirir. Maliyeti azaltmak için geliştirilmiş yöntemler de tasarlanmıştır. (bkz. Bölüm 3 ve Bölüm 4)

### 2.2.1 Doğrusal-Fazlı FIR Süzgeçler

$N+1$  uzunluklu nedensel bir FIR süzgecin dürtü yanıtı  $\{h(n)\}$  olsun. Bu süzgecin transfer fonksiyonu,

$$H(z) = \sum_{n=0}^N h[n]z^{-n} \quad (2.14a)$$

Buna karşılık frekans cevabı ise,

$$H(e^{j\omega}) = \sum_{n=0}^N h[n]e^{-jn\omega} \quad (2.14b)$$

Burada N, süzgecin derecesidir. Çoğu FIR süzgeç için fazın doğrusal olması istenir. Bu ancak süzgecin frekans cevabının aşağıdaki formda olması ile mümkündür.

$$H(e^{j\omega}) = \bar{H}(\omega)e^{-j\phi(\omega)} \quad (2.15a)$$

burada,

$$\phi(\omega) = \alpha\omega + \beta \quad (2.15b)$$

ve  $\bar{H}(\omega)$ ,  $\omega$  değişkenine bağlı çift ve gerçekte bir fonksiyondur. Yukarıdaki fonksiyonun faz ve genliği sırasıyla,

$$|H(e^{j\omega})| = |\bar{H}(\omega)| \quad (2.16a)$$

$$\arg H(e^{j\omega}) = \begin{cases} \alpha\omega + \beta & , \bar{H}(\omega) \geq 0 \\ \alpha\omega + \beta - \pi & , \bar{H}(\omega) < 0 \end{cases} \quad (2.16b)$$

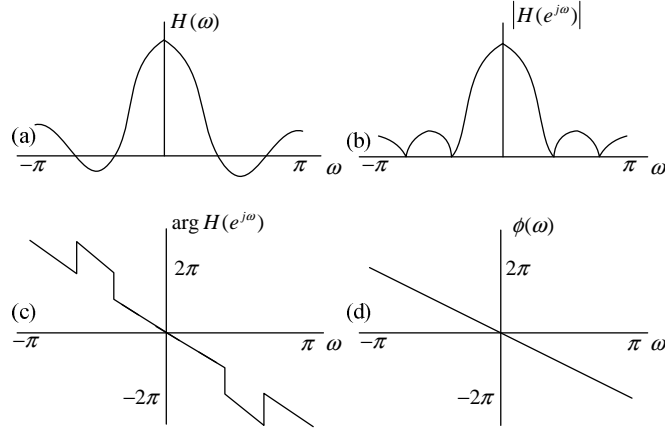
$\bar{H}(\omega)$ , süzgecin genlik cevabıdır. Bazı yazarlar tarafından mutlak genlik cevabı  $|H(e^{j\omega})|$  'den ayırt etmek için sıfır-fazlı frekans cevabı diye de adlandırılır. Gösterilimi kolaylaştırmak amacıyla,  $H(\omega)$  sıfır-fazlı frekans yanıtını gösterebilir.  $H$ 'nin  $z$ ,  $e^{j\omega}$  ve  $\omega$  değişkenlerine bağlı gösterilimi, sırasıyla, transfer fonksiyonunu, frekans cevabını ve sıfır-fazlı frekans cevabını göstermektedir.  $H(\omega)$  ve  $|H(e^{j\omega})|$  ile  $\phi(\omega)$  ve  $\arg H(e^{j\omega})$  arasındaki ilişki Şekil 2.3 ile gösterilmiştir. Süzgecin sıfır-fazlı frekans cevabı negatif ya da pozitif değerler alabilir, fakat mutlak genlik yanıtı negatif olamaz.

Faz doğrusallığını gösteren dört süzgeç tipi şöyledir.

1. Tip.  $N$  çift ve  $h[N-n] = h[n]$ , tüm  $n$  değerleri için,
2. Tip.  $N$  tek ve  $h[N-n] = h[n]$ , tüm  $n$  değerleri için,
3. Tip.  $N$  çift ve  $h[N-n] = -h[n]$ , tüm  $n$  değerleri için,
4. Tip.  $N$  tek ve  $h[N-n] = -h[n]$ , tüm  $n$  değerleri için,

Bu dört tipin hepsinde, transfer fonksiyonu şöyle ifade edilir [3].

$$H(z) = F(z).G(z) \quad (2.17)$$



**Şekil 2.3**  $H(\omega)$  ve  $|H(e^{j\omega})|$  ile  $\phi(\omega)$  ve  $\arg H(e^{j\omega})$  arasındaki ilişki

$F(z)$  aşağıdaki yapıya sahiptir.

$$F(z) = \begin{cases} 1 & ,1.Tip \\ [1+z^{-1}]/2 & ,2.Tip \\ [1-z^{-2}]/2 & ,3.Tip \\ [1-z^{-1}]/2 & ,4.Tip \end{cases} \quad (2.18a)$$

ve

$$G(z) = \sum_{n=0}^{2M} g[n]z^{-n} \quad (2.18b)$$

$$g(2M-n) = g[n], \text{ tüm } n \text{ değerleri için} \quad (2.18c)$$

$$M = \begin{cases} N/2 & ,1.Tip \\ (N-1)/2 & ,2.Tip \\ (N-2)/2 & ,3.Tip \\ (N-1)/2 & ,4.Tip \end{cases} \quad (2.18d)$$

(2.18c) eşitliğinde verilen simetri özelliği kullanılarak  $G(z)$  tekrar yazılabilir.

$$G(z) = z^{-M} [g[M] + g[M-1](z+z^{-1}) + g[M-2](z^2+z^{-2}) + \dots + g[0](z^M+z^{-M})] \quad (2.19)$$

$z = e^{j\omega}$  değişikliği yapılarak  $G(z)$ 'nin frekans cevabı  $G(e^{j\omega})$  yazılırsa,



$$G(z) = e^{-jM\omega} [g[M] + g[M-1](2\cos\omega) + g[M-2](2\cos 2\omega) + \dots + g[0](M\cos M\omega)] \quad (2.20)$$

Benzer şekilde uygun işlemler yapılarak,  $F(z)$ 'nin frekans cevabı şu şekilde yazılabilir.

$$F(e^{j\omega}) = \begin{cases} 1 & ,1.Tip \\ e^{-j\omega/2} \cos(\omega/2) & ,2.Tip \\ e^{-j(\omega-\pi/2)} \sin(\omega) & ,3.Tip \\ e^{-j(\omega/2-\pi/2)} \sin(\omega/2) & ,4.Tip \end{cases} \quad (2.21)$$

Üstte elde edilen sonuçlar birleştirilerek, sıfır-fazlı frekans cevabı aşağıdaki gibi ifade edilir.

$$H(\omega) = F(\omega).G(\omega) \quad (2.22)$$

burada,

$$F(\omega) = \begin{cases} 1 & ,1.Tip \\ \cos(\omega/2) & ,2.Tip \\ \sin(\omega) & ,3.Tip \\ \sin(\omega/2) & ,4.Tip \end{cases} \quad (2.23)$$

$$G(\omega) = \sum_{n=0}^M a[n] \cos n\omega \quad (2.24a)$$

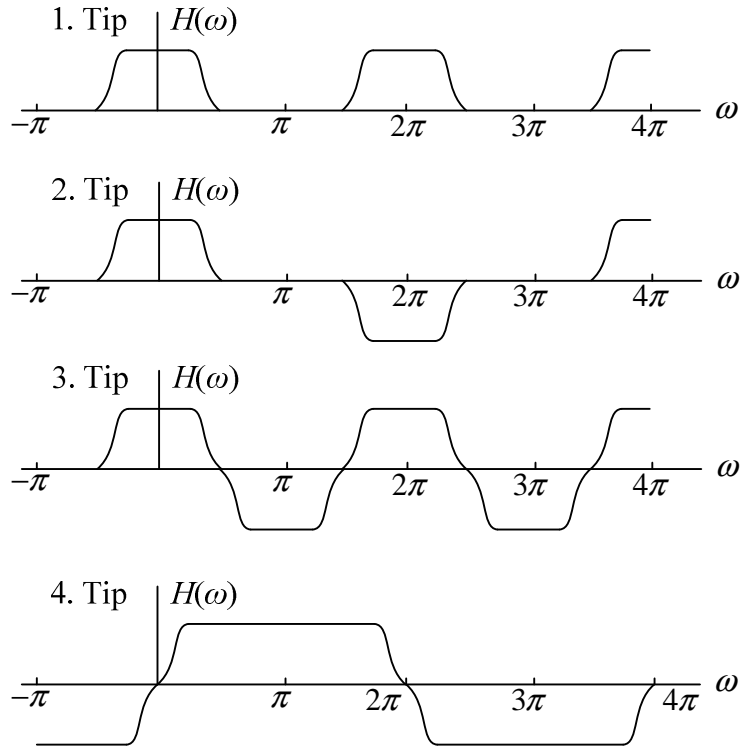
$$a[n] = \begin{cases} g[M] & , n = 0 \text{ için} \\ 2g[M-n] & , n \neq 0 \text{ için} \end{cases} \quad (2.24b)$$

Faz terimleri ise dört tip için şu şekilde oluşur:

$$\phi(\omega) = \begin{cases} -N\omega/2 & ,1.Tip \text{ ve } 2. Tip \\ -N\omega/2 + \pi/2 & ,3.Tip \text{ ve } 4. Tip \end{cases} \quad (2.24c)$$

1. tip süzgeçler için,  $H(\omega)$   $\omega = 0$  ve  $\omega = \pi$  frekanslarında çift ve periyodu  $2\pi$ 'dir. 2. tip süzgeçler için, sabit terim  $F(\omega) = \cos(\omega/2)$ ,  $H(\omega)$  için  $\omega = \pi$  frekansında sıfır üretir ve bu nokta civarında  $H(\omega)$  frekans cevabı tektir. Periyodu ise  $4\pi$ 'dir. Benzer

şekilde, 4. tip süzgeçlerde,  $\omega = 0$ 'da sıfır üretir. Bu nedenle,  $\omega = 0$  civarında  $H(\omega)$  tektir. Periyodu da yine  $4\pi$ 'dir. 3. tip süzgeçler için ise, sabit terim  $\omega = 0$  ve  $\omega = \pi$  frekanslarında  $H(\omega) = 0$  ve  $H(\omega)$  bu noktalarda tektir. Periyodu  $2\pi$ 'dir. Tüm süzgeç tipleri için sıfır-fazlı frekans cevapları Şekil 2.4'te verilmiştir.



**Şekil 2.4** Dört tip doğrusal-fazlı FIR süzgecin sıfır-fazlı frekans cevabı örneği

### 2.3 FIR Süzgeçlerin Minimax Yaklaşımıyla Tasarlanması

FIR süzgeçlerin IIR süzgeçlere göre avantajlarından biri, farklı genliklerdeki FIR süzgeçlerin tasarlanabilmesi için minimax yaklaşımıyla her zaman etkin bir yöntemin bulunmasıdır. IIR süzgeçler için ise, farklı genlikte süzgeç tasarlama, çok zaman harcayan ve en iyi çözüme yakınsamanın her zaman garanti olmadığı bir süreçtir.

#### 2.3.1 Reméz Algoritması

Doğrusal-fazlı FIR süzgeçlerin, en küçük süzgeç derecesiyle tasarlanması için en uygun yöntem Reméz algoritmasıdır. Bu algoritmayı uygulamak için kullanılan orijinal algoritma Park ve McClellan tarafından ortaya koyulan ve kendi adları ile bilinen Parks-McClellan (MPR) Algoritmasıdır [4]. Reméz algoritması daha sonra

Parks, McClellan ve Rabiner tarafından geliştirilmiştir. Parks-McClellan algoritmasını gerçekleyen bir bilgisayar programı McClellan tarafından 1973 yılında yazılmıştır. Bu program alçak geçiren, yüksek geçiren, band geçiren ve band durduran süzgeçler ile Hilbert dönüştürücü ve sayısal fark alıcılar için optimum tasarımlar üretir. Bu bölümde daha çok Parks, McClellan ve Rabiner'in orijinal FIR süzgeç tasarımı programı üzerinde yoğunlaşmıştır.

### 2.3.1.1 Optimum Çözümün Eldesi

Reméz algoritması aşağıdaki fonksiyona ait süzgeç katsayıları,  $a[n]$  'i bulmak için en güçlü algoritmadır.

$$G(\omega) = \sum_{n=0}^M a[n] \cos n\omega \quad (2.25)$$

Bulunan  $a[n]$  katsayıları ağırlıklandırılmış hata fonksiyonunun  $[0, \pi]$  aralığındaki tüm  $X$  frekans bandında tepe genlik değerini minimize eder.

$$E(\omega) = \bar{W}(\omega)[G(\omega) - \bar{D}(\omega)] \quad (2.26)$$

Bu hatanın tepe genlik değeri şöyle gösterilir.

$$C = \max_{\omega \in X} |E(\omega)| \quad (2.27)$$

$\bar{D}(\omega)$ ,  $X$  içinde sürekli olmalıdır.  $\bar{W}(\omega)$  ise pozitif olmalıdır. Bu algoritma dört doğrusal-fazlı süzgeç tipi için de kullanılabilir. (2.17) denklemini bu durum için tekrar yazılırsa,

$$F(\omega) = \begin{cases} 1 & ,1.Tip \\ \cos(\omega/2) & ,2.Tip \\ \sin(\omega) & ,3.Tip \\ \sin(\omega/2) & ,4.Tip \end{cases} \quad M = \begin{cases} N/2 & ,1.Tip \\ (N-1)/2 & ,2.Tip \\ (N-2)/2 & ,3.Tip \\ (N-1)/2 & ,4.Tip \end{cases} \quad (2.28)$$

$H(\omega)$  için arzulanan fonksiyon  $D(\omega)$  ve ağırlıklandırma fonksiyonu  $W(\omega)$  ise, (2.26) denklemindeki formdaki hata fonksiyonu aşağıdaki gibi tekrar yazılabilir:

$$\begin{aligned}
E(\omega) &= W(\omega)[H(\omega) - D(\omega)] = W(\omega)[F(\omega)G(\omega) - D(\omega)] \\
&= W(\omega)F(\omega)[G(\omega) - D(\omega)/F(\omega)] = \bar{W}(\omega)[G(\omega) - \bar{D}(\omega)]
\end{aligned} \tag{2.29a}$$

burada,

$$\bar{W}(\omega) = F(\omega)W(\omega), \quad \bar{D}(\omega) = D(\omega)/F(\omega) \tag{2.29b}$$

Reméz algoritması aşağıdaki alternasyon teoremi üzerine kurularak yapılandırılmıştır.

**Alternasyon Teoremi :**  $G(\omega)$ , (2.25) eşitliği formunda olsun. (2.27) formunda verilen  $\epsilon$  hatasını  $X$  kümesi içinde minimize eden benzersiz-en iyi çözümün  $G(\omega)$  olması için gerek ve yeter şart, en az  $M + 2$  noktanın,  $\omega_1, \omega_2, \dots, \omega_{M+1}, \omega_{M+2}$  var olmasıdır. Şöyleki,

$$\omega_1 < \omega_2 < \dots < \omega_{M+1} < \omega_{M+2} \tag{2.30}$$

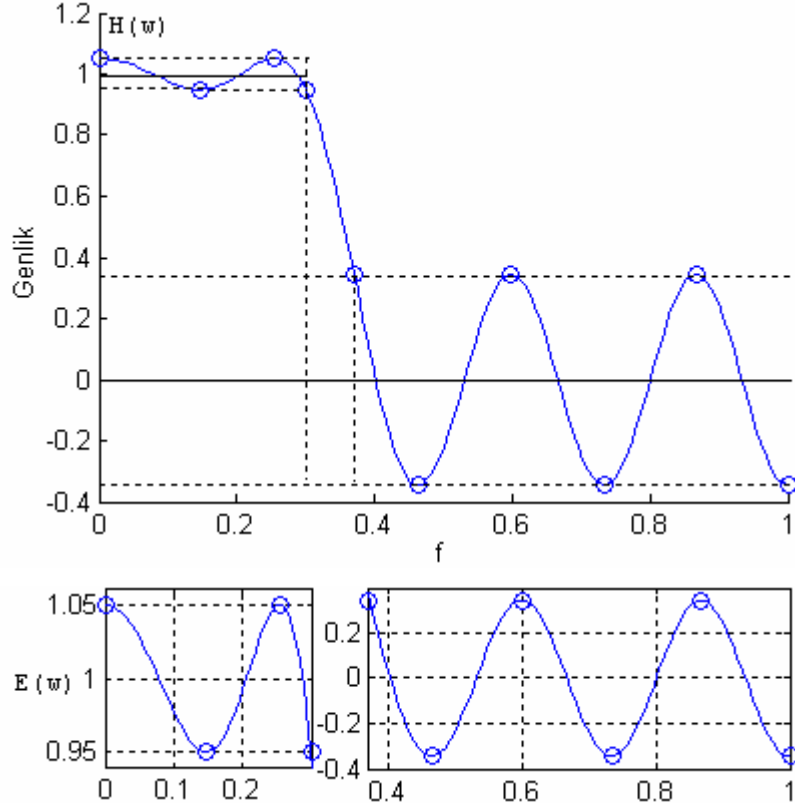
$$E(\omega_{i+1}) = -E(\omega_i), \quad i = 1, 2, \dots, M+1 \tag{2.31}$$

$$|E(\omega_i)| = \epsilon, \quad i = 1, 2, \dots, M+2 \tag{2.32}$$

Bir başka deyişle, optimum çözüm ağırlıklandırılmış hata fonksiyonu  $E(\omega)$  için, en az  $M+2$  ardışık noktada,  $\pm \epsilon$  sonucunu verir. Şekil 2.5'te,  $N = 16$  dereceli 1. tip optimum alçak geçiren bir süzgecin frekans cevabı ve buna karşılık gelen hata fonksiyonu verilmiştir. Bu durumda  $X$  kümesi geçirme bandı  $[0, \omega_p]$  ve durdurma bandı  $[\omega_s, \pi]$  aralıklarından oluşmaktadır.  $\omega_i$  frekansları hata fonksiyonu  $E(e^{j\omega})$ 'nin tepelerine karşı düşmektedir. Bu frekanslarda,  $H(e^{j\omega})$ , hata toleransı içinde kalarak alternasyon teoremini sağlar. Verilen örnekte  $M = N / 2 = 8$  'dir. Bu nedenle  $G(\omega)$  dokuz bilinmeyen,  $a[0], a[1], a[2], \dots, a[8]$  içerir.  $M+2 = 10$  nokta olması için bir nokta daha gereklidir. Bu nedenle teoreme göre, bir çözümüm optimum çözüm olup olmadığını kontrol etmek kolaydır. İletim ve durdurma bandı dalgalanmalarının birbirine olan bağıl ağırlığı  $k$  ise, iletim bandındaki değeri  $1 \pm \epsilon$ , durdurma bandındaki değeri  $\pm \epsilon / k$  olan ve  $M + 2$  alternasyon içeren bir  $H(\omega)$  çözümü vardır. Bu çözüm, benzersiz-optimum çözümdür.

Alternasyon teoreminde, arzulanan eşit dalgalanmalı hata davranışı gösteren süzgeç tasarımında çeşitli yöntemler literatürde bulunmaktadır. Bunların arasında en başarılı ve etkili olanı, bilgisayar yazılımı da olan Reméz değişim algoritmasıdır. Tez

boyunca, tüm süzgeç tasarımları, remez değişim algoritmasının gerçekleştirilmesini sağlayan MATLAB komutu “remez” ile başarılmıştır.



**Şekil 2.5** Optimum 1. Tip,  $2M = 16$  dereceli alçak geçiren süzgecin sıfır-fazlı frekans yanıtı ve hata fonksiyonu

### 2.3.2 Optimum FIR Süzgeçlerin Özellikleri

Alçak geçiren bir süzgecin iletim bandı sınırı  $\omega_{ilet}$ , durdurma bandı sınırı  $\omega_{dur}$ , iletim bandı dalgalanması  $\delta_{ilet}$  ve durdurma bandı bastırması  $\delta_{dur}$  verildiğinde istenen özellikleri sağlayacak gerekli minimum süzgeç uzunluğu  $N$  bulunmalıdır. Chebyshev polinomları ile eşit durdurma bandı bastırması üreten çözüm dışında, minimum süzgeç uzunluğu  $N$  ile  $\omega_{ilet}$ ,  $\omega_{dur}$ ,  $\delta_{ilet}$  ve  $\delta_{dur}$  arasında analitik bir ilişki yoktur. Ancak,  $N$  değerini tahmin etmek için, Hermann tarafından 1973 yılında, deney verileri ile elde edilmiş çok etkili bir süzgeç uzunluğu tahmin formülü kullanılabilir [5].

$$N \approx \frac{D_{\infty}(\delta_{ilet}, \delta_{dur}) - F(\delta_{ilet}, \delta_{dur}) [(\omega_{dur} - \omega_{ilet}) / (2\pi)]^2}{(\omega_{dur} - \omega_{ilet}) / (2\pi)} \quad (2.33a)$$

burada,

$$D_{\infty}(\delta_{ilet}, \delta_{dur}) = [0.005309 (\log_{10} \delta_{ilet})^2 + 0.07114 \log_{10} \delta_{ilet} - 0.4761] \log_{10} \delta_{dur} - [0.00266 (\log_{10} \delta_{ilet})^2 + 0.5941 \log_{10} \delta_{ilet} + 0.4278] \quad (2.33b)$$

$$F(\delta_{ilet}, \delta_{dur}) = 11.01217 + 0.51244[\log_{10} \delta_{ilet} - \log_{10} \delta_{dur}] \quad (2.33c)$$

Bu formül,  $\delta_{dur} < \delta_{ilet}$  için geliştirilmiştir.  $\delta_{dur} > \delta_{ilet}$  olduğunda,  $\delta_{dur}$  ve  $\delta_{ilet}$  değerleri formülasyonda yer değiştirilir.

### 3. ETKİN FIR SÜZGEÇLERE GİRİŞ

FIR süzgeçlerin temel dezavantajı, pratik uygulamaları gerçeklemek için gerekli olan aritmetik işlemlerin çokluğudur. Ancak, özellikle dar iletim bandlı veya dar geçiş bandlı süzgeçlerde, süzgeç katsayıları arasında ilişki vardır ve bu ilişki süzgeçlerin gerçekleştirilmesi sırasında aritmetik işlemlerin sayısını azaltmak için kullanılabilir. Bu bölümde, FIR süzgeçlerde hesaplama yoğunluğunu azaltmak amacıyla en çok kullanılan üç yöntemin ilk ikisi anlatılacaktır. Bu yöntemler, ön-süzgeçleme + dengeleyici yaklaşımı, Ara-değerlenmiş FIR süzgeçler (IFIR) ve frekans yanıtı maskeleyme (FRM) tekniğidir.

#### 3.1 Ön-süzgeçleme+Dengeleyici Yaklaşımı

Ön süzgeçleme yönteminin temel amacı, çarpıcı ve toplayıcı sayısı azaltılmış, frekans yanıtı da arzulanan frekans yanıtına mümkün olduğunca yakın basit bir FIR süzgeç üretmektir. Daha sonra bu basit süzgeç, daha önceden belirlenen süzgeç özelliklerini sağlayacak bir genlik dengeleyici ile kaskad bağlanır. Ön süzgeçleme, hesaplama karmaşıklığının azaltılması için dengeleyiciye büyük bir kullanım alanı yaratır. Dengeleyicinin geçiş bandı genişliği daha büyüktür ve daha küçük süzgeç uzunluğu gerektirir.

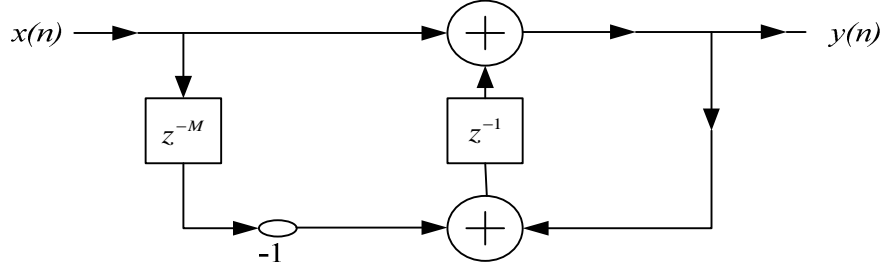
Literatürde bir çok ön-süzgeç yapısı vardır ve istenilen özellikleri sağlayacak en uygun ön-süzgeci seçmek kolay değildir. En basit alçak geçiren süzgeç yapılarından biri Yinelemeli İlerleyen Toplam (RRS) süzgeçleridir [6]. RRS süzgeçlerin transfer fonksiyonunun doğrudan gerçekleştirilmesi aşağıdaki gibidir.

$$H(z) = \sum_{i=0}^M z^i \quad (3.1.1)$$

Burada tüm çarpıcı katsayıları bire eşittir ve çok sayıda toplayıcıya ihtiyaç vardır. Böyle bir transfer fonksiyonunu gerçeklemek için kullanılacak alternatif yollardan biri bu transfer fonksiyonunu geometrik serisi terimlerinin toplamı şeklinde ifade etmektir.

$$H(z) = \frac{1 - z^{-M-1}}{1 - z^{-1}} \quad (3.1.2)$$

Transfer fonksiyonunun bu şekilde gerçekleştirilmesi genel olarak RRS olarak bilinir. RRS çok etkili ve basit bir süzgeç yapısıdır. Süzgeç uzunluğundan bağımsız olarak çarpıcı gerektirmez, sadece iki toplayıcıya gerek duyar [7]. Süzgecin dürtü yanıtı, derecesini  $M$  ve uzunluğunu  $L$  ile ifade edersek,  $L = M + 1$  tane gecikme teriminden oluşur. Ön-süzgeç, genlik dengeleyicinin süzgecin geçiş bandını keskinleştirmesini sağlayacak şekilde seçilmelidir, yani ön-süzgecin amacı genlik dengeleyicinin geçiş bandını artırarak, derecesini azaltmaktır. Böylelikle tüm süzgecin hesaplama karmaşıklığı azaltılmış olacaktır. Bir RRS süzgecinin blok şeması Şekil 3.1.1'deki gibidir.



Şekil 3.1.1 RRS gerçekleştirilmesinin blok şeması

$M$ . derece bir RRS süzgecin frekans yanıtı aşağıdaki gibi verilir.

$$H(e^{j\omega}) = \frac{\sin\left[\frac{\omega(M+1)}{2}\right]}{\sin\left(\frac{\omega}{2}\right)} e^{-\frac{j\omega M}{2}} \quad (3.1.3)$$

$\omega$  frekans değerleri  $\pi$ 'ye yaklaşırken azalan genlik değerleriyle RRS süzgecin durdurma bandındaki frekans yanıtında bir çok dalgalanma oluşur. RRS'in frekans yanıtındaki ilk sıfır  $\omega_{z1}$  frekansında oluşur.

$$\omega_{z1} = \frac{2\pi}{M+1} \quad (3.1.4)$$

RRS bir ön-süzgeç olarak kullanılırsa, ilk sıfır durdurma bandı sınırı  $\omega_{dur}$  frekansına mümkün olduğunca yakın en büyük frekans noktasına yerleştirilmelidir. Bu şartı sağlamak için, RRS süzgecin derecesi  $M$  şu şekilde seçilmelidir.



$$M = \left\lfloor \frac{2\pi}{\omega_{dur}} - 1 \right\rfloor \quad (3.1.5)$$

Burada  $\lfloor x \rfloor$ ,  $x$ 'den küçük ya da eşit en büyük tamsayıdır. Daha etkili ön-süzgeçler üretmek için bir çok RRS yapısı kaskad olarak bağlanmalıdır.

Genlik dengeleyici ise, ilk bölümde görülen MPR algoritmasında değişiklikler yapılarak üretilebilir. MPR algoritmasında ağırlıklandırılmış hata fonksiyonunun en büyük değeri şöyledir.

$$E(e^{j\omega}) = |W(e^{j\omega}) \cdot \{G(e^{j\omega}) - G_d(e^{j\omega})\}| \quad (3.1.6)$$

Burada,  $G_d(e^{j\omega})$ , arzulanan kazanç fonksiyonu,  $G(e^{j\omega})$ , gerçek kazanç fonksiyonu ve  $W(e^{j\omega})$  bağıl ağırlıklandırma fonksiyonudur. MPR bilgisayar programında  $G_d(e^{j\omega})$  ve  $W(e^{j\omega})$  şu şekilde tanımlanmıştır.

$$G_d(e^{j\omega}) = \begin{cases} 1, & 0 \leq \omega \leq \omega_{ilet} \\ 0, & \omega_{dur} \leq \omega \leq \pi \end{cases} \quad (3.1.7)$$

$$W(e^{j\omega}) = \begin{cases} 1, & 0 \leq \omega \leq \omega_{ilet} \\ K, & \omega_{dur} \leq \omega \leq \pi \end{cases} \quad (3.1.8)$$

Verilen herhangi bir ön-süzgeç için bir optimum dengeleyici, MPR algoritması değiştirilerek şu şekilde üretilebilir.  $P(e^{j\omega})$  ve  $Q(e^{j\omega})$ , sırasıyla ön-süzgeç ve dengeleyicinin kazanç fonksiyonlarıdır.  $P(e^{j\omega}) \cdot Q(e^{j\omega})$  çarpımı, tüm süzgecin kazanç fonksiyonudur. Hata fonksiyonu aşağıdaki gibi değiştirilerek genlik dengeleyici elde edilir.

$$E(e^{j\omega}) = |W(e^{j\omega}) \cdot \{P(e^{j\omega}) \cdot Q(e^{j\omega}) - G_d(e^{j\omega})\}| \quad (3.1.9a)$$

$$E(e^{j\omega}) = |W(e^{j\omega}) \cdot P(e^{j\omega}) \cdot \{Q(e^{j\omega}) - G_d(e^{j\omega}) / P(e^{j\omega})\}| \quad (3.1.9b)$$

$$E(e^{j\omega}) = |\widehat{W}(e^{j\omega}) \cdot \{\widehat{G}(e^{j\omega}) - \widehat{G}_d(e^{j\omega})\}| \quad (3.1.9c)$$

Burada,

$$\widehat{G}_d(e^{j\omega}) = \begin{cases} 1/P(e^{j\omega}), & 0 \leq \omega \leq \omega_{ilet} \\ 0, & \omega_{dur} \leq \omega \leq \pi \end{cases} \quad (3.1.10a)$$

$$\widehat{W}(e^{j\omega}) = \begin{cases} |P(e^{j\omega})|, & 0 \leq \omega \leq \omega_{ilet} \\ K|P(e^{j\omega})|, & \omega_{dur} \leq \omega \leq \pi \end{cases} \quad (3.1.10b)$$

$$\widehat{G}(e^{j\omega}) = Q(e^{j\omega}) \quad (3.1.10c)$$

MPR algoritmasında  $\widehat{W}(e^{j\omega})$  mutlaka pozitif olmalıdır. Ancak, durdurma bandındaki frekanslar için  $P(e^{j\omega})$  sıfırdır. Bunun için en uygun çözüm,  $\widehat{W}(e^{j\omega})$  fonksiyonunu otomatik olarak çok küçük bir pozitif  $\varepsilon$  sayısı ile alt-sınırlamaktır. Süzgeç tasarımı  $\varepsilon$  değerine bağlı olmadığından,  $\varepsilon$  değerinin uygun bir şekilde küçük alınması yeterli olacaktır. Örneğin,  $\varepsilon = 10^{-6}$  alınabilir.

Özetle, ön-süzgeçleme+dengeleyici yaklaşımıyla süzgeç tasarımı iki adımda gerçekleştirilir [7].

**Adım 1.** İstenilen süzgeç özelliklerine uygun bir ön-süzgeç tasarlanır. Ön-süzgeç, en az çarpıcı ve toplayıcı sayısına sahip uygun frekans yanıtlarından en iyisi sahip olmalıdır. Eğer ön süzgeç olarak RRS yapısı kullanılırsa çarpıcı kullanmaya gerek kalmaz.

**Adım 2.** Ön-süzgeç, tüm süzgecin arzulanan frekans yanıtını elde edecek şekilde bir genlik dengeleyici ile kaskad bağlanır.

Sonuç olarak, ön-süzgeçleme + dengeleyici yaklaşımıyla tasarlanan süzgecin frekans yanıtı şu şekilde gösterilebilir.

$$H(e^{j\omega}) = H_{ön}(e^{j\omega}).H_{den}(e^{j\omega}) \quad (3.1.11)$$

Bir ön-süzgeç tasarımı örneği olarak, iletim bandı sınırı,  $f_{ilet} = 0.042\pi$  rad/örnek, iletim bandı dalgalanması 0.2 dB, durdurma bandı sınırı,  $f_{dur} = 0.14\pi$  rad/örnek ve durdurma bandı bastırması 35 dB olan bir süzgeç tasarlayalım.

$$M = \left\lfloor \frac{2\pi}{\omega_{dur}} - 1 \right\rfloor = \left\lfloor \frac{2\pi}{0.14\pi} - 1 \right\rfloor = \lfloor 13.29 \rfloor = 13 \text{ ve } L = M + 1 = 14$$

Uzunluğu 14 olan RRS yapıda bir ön-süzgeç tasarlanması gereklidir.

Bu RRS ön-süzgeç için uygun genlik dengeleyici uzunluğu 24 olarak bulunur. Aynı özellikleri sağlayan geleneksel FIR süzgecin uzunluğu da 36 (35 gecikme elemanı)

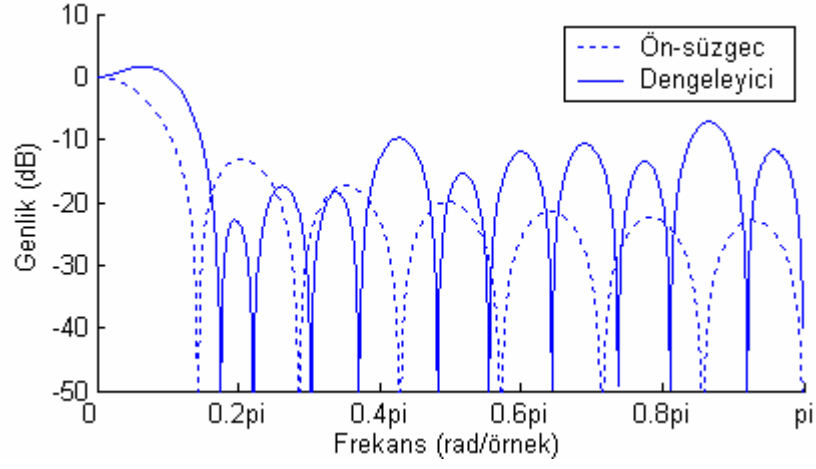
dır. Gerekli dengeleyici katsayıları ve aynı süzgeç özelliklerini sağlayan geleneksel FIR süzgeç için kullanılması gereken katsayılar Tablo 3.1.1 ile verilmiştir.

<b>Tablo 3.1.1</b> Gerekli Süzgeç Katsayıları		
	Dengeleyici	Geleneksel FIR Süzgeç
1	-0.12163029	-0.0110713661234381
2	0.02319508	-0.00751185419972038
3	-0.02155842	-0.00898987430951609
4	-0.00969477	-0.00970281239783673
5	-0.00605022	-0.00928660019399065
6	0.01019741	-0.00736875162026783
7	0.05381588	-0.00367712592152903
8	0.07186058	0.00194774743275933
9	0.11563688	0.00947928883212431
10	0.08261736	0.0187957930929056
11	0.1448707	0.0295202025950192
12	0.15673977	0.0411671669869655
13		0.0530961561680022
14		0.0645853128300216
15		0.0749024700503046
16		0.0833517390127304
17		0.0893405167493232
18		0.0924496887503161

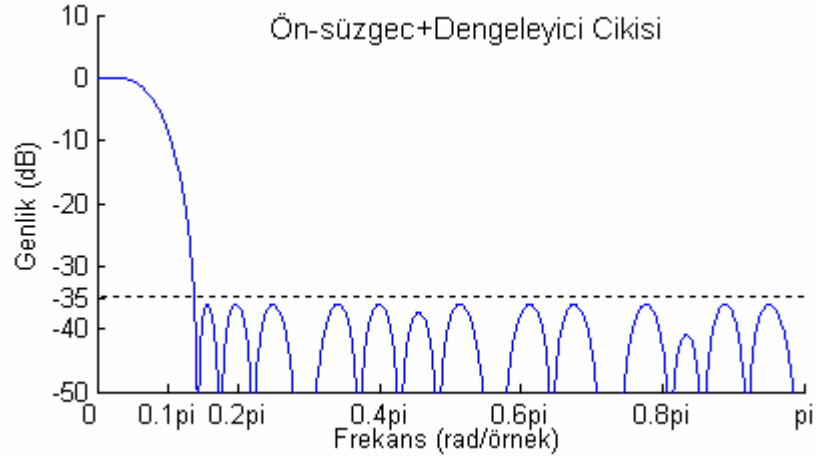
Ön-süzgeçleme yönteminin geleneksel FIR tasarlamaya olan üstünlüğünü daha iyi görebilmek için hesaplama karmaşıklığı veya gerekli donanım özellikleri bu örnek için Tablo 3.1.2’de verilmiştir.

<b>Tablo 3.1.2</b> Ön-süzgeç örneği için gerekli donanım özellikleri			
	Gecikme	Toplayıcı	Çarpıcı
Ön-süzgeç	14	2	0
Dengeleyici	23	23	12
Toplam	37	25	12
Geleneksel FIR Süzgeç	35	35	18

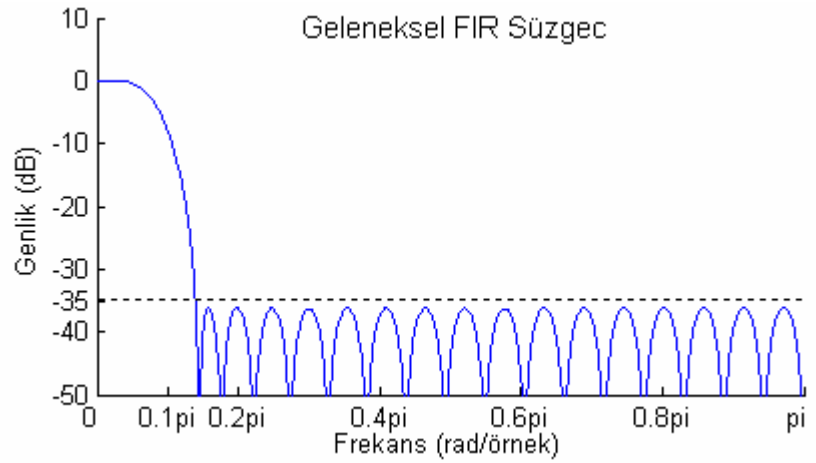
Ön-süzgeç, genlik dengeleyici, tüm süzgecin frekans yanıtları ve aynı şartları sağlayan geleneksel FIR süzgecin frekans yanıtı Şekil 3.1.2’de görüldüğü gibidir.



(a)



(b)



(c)

**Şekil 3.1.2** Ön-süzgeç + dengeleyici yaklaşımıyla tasarlanan süzgecin frekans yanıtları (a) Ön-süzgeç ve dengeleyici (b) Tüm süzgeç (c) Geleneksel FIR süzgeç

### 3.2 Ara-değerlenmiş Dar-Bandlı Alçak Geçiren FIR Süzgeçler

IFIR süzgeçler, hesaplama karmaşıklığını geleneksel FIR süzgeçlere göre belirli ölçülerde azaltarak dar band alçak geçiren süzgeçler tasarlamak için kullanılan etkili yöntemlerden biridir. İlk olarak [8]'de, ardından da daha kapsamlı bir şekilde [9]'de ele alınmıştır. Geleneksel FIR süzgeçlerin hesaplama karmaşıklığı, ara değerlenmiş dar band alçak geçiren süzgeçler kullanılarak % 80 oranına kadar azaltılabilir.

Ara-değerlenmiş FIR (IFIR) süzgeçler,  $N$  uzunluklu yinelemeli olmayan doğrusal fazlı FIR süzgeçlerin her gecikmesinin  $M$  gecikme elemanı ile yer değiştirilmesi ilkesine göre Şekil 3.2.1(a)'daki gibi tasarlanır. Eğer 9 uzunluklu bir FIR süzgecin dürtü yanıtı,  $h_{mod}(k)$  Şekil 3.2.1(b)'deki gibi ise,  $M$  faktörü (örneğin 3) ile ara-değerlenmiş FIR süzgecin dürtü yanıtı,  $h_{ara}(k)$  Şekil 3.2.1(c)'deki gibi olur. Bundan sonra orijinal süzgeç, model süzgeç ve ara-değerlenmiş periyodik model süzgece de band sınırı şekillendiren süzgeç olarak adlandırılacaktır. Herhangi bir model FIR süzgeci  $z$ -uzayında şu şekilde ifade edebiliriz,

$$H_{mod}(k) = \sum_{k=0}^{N-1} h_{mod}(k) z^{-k} \quad (3.2.1)$$

Burada  $N$ ,  $h_{mod}(k)$ 'nin uzunluğudur. Genel olarak band sınırı şekillendiren bir süzgecin transfer fonksiyonunun  $z$ -dönüşümü ise aşağıdaki gibi ifade edilebilir,

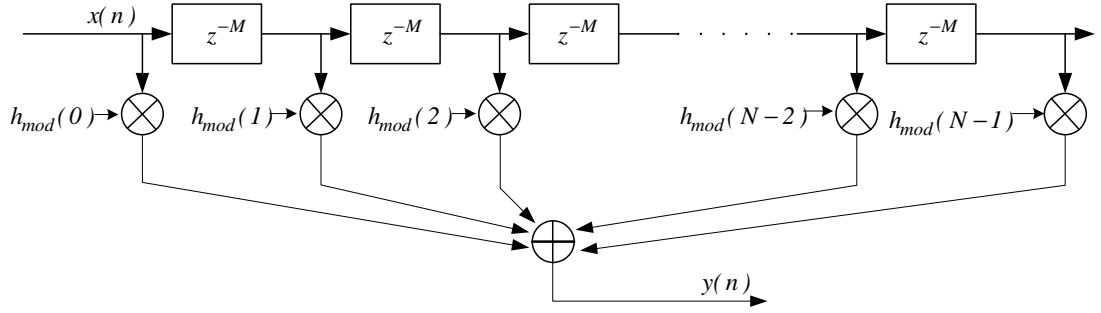
$$H_{ara}(k) = \sum_{k=0}^{N-1} h_{ara}(k) z^{-kM} \quad (3.2.2)$$

Eğer model süzgecin birim dürtü yanıtı uzunluğu  $N_{mod}$  ise, band sınırı şekillendiren süzgeç  $N_{mod}$  adet sıfır olmayan katsayı içerir. Tüm uzunluğu ise,

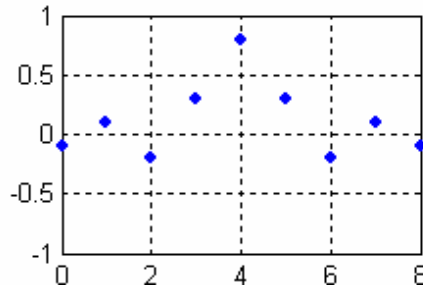
$$L_{ara} = M(N_{mod} - 1) + 1 \quad (3.2.3)$$

$M$  gecikme elemanının frekans-uzayı etkisi Şekil 3.2.2'de açıklanmıştır. Zaman-uzayında her gecikme yerine  $M$  gecikme elemanı kullanılması, frekans-uzayında sıkıştırılmaya (tekrarlama) neden olur ve Şekil 3.2.2(b)'deki  $|H_{ara}(f)|$  genlik yanıtı oluşur. Frekans eksenini, örnekleme frekansı,  $f_s$  'e göre normalize edilmiştir. Örneğin,

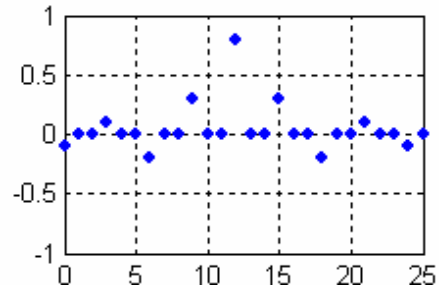
normalize frekansı  $f_{ilet}$  olan iletim bandı sınırı aslında  $f_{ilet} \cdot f$  Hz'dir.  $|H_{ara}(f)|$ 'in tekrarlanan iletim bandları  $1/M$  ( $f_s/M$ ) frekanslarına yerleşir.



(a)



(b)



(c)

**Şekil 3.2.1** (a) Her gecikme elemanı yerine  $M$  gecikme elemanı kullanarak band sınırı şekillendiren FIR süzgeç, (b) Bir model FIR süzgeç (c)  $M=3$  alınarak oluşturulan sınırı şekillendiren FIR süzgeç

Eğer band sınırı şekillendiren süzgeç, bu süzgecin periyodik iletim bandlarını bastırmak için alçak geçiren bir maskeleye süzgeci ile kaskad bağlanırsa, Şekil 3.2.2(d)'deki çok-katlı süzgeç yapısı IFIR süzgeç elde edilir. Çıktıdaki  $|H_{ifir}(f)|$  frekans genlik yanıtı,

$$|H_{ifir}(f)| = |H_{mod}(f)| \cdot |H_{ma}(f)| \quad (3.2.4)$$

IFIR süzgeç oluşturmak için tasarlanan kaskad bağlı alt-süzgeçlerin oluşturduğu yapı Şekil 3.2.3'de verilmiştir. Eğer tasarlanması istenen alçak geçiren süzgecin arzulanan iletim bandı genişliği  $f_{ilet}$ , durdurma bandı  $f_{dur}$  ile başlıyor ve geçiş bandı genişliği  $f_{gecis} = f_{dur} - f_{ilet}$  ise, model alt-süzgecin normalize frekans band sınırları aşağıdaki gibi olur.

$$f_{mod-ilet} = M \cdot f_{ilet} \quad (3.2.5a)$$

$$f_{mod-dur} = M \cdot f_{dur} \quad (3.2.5b)$$

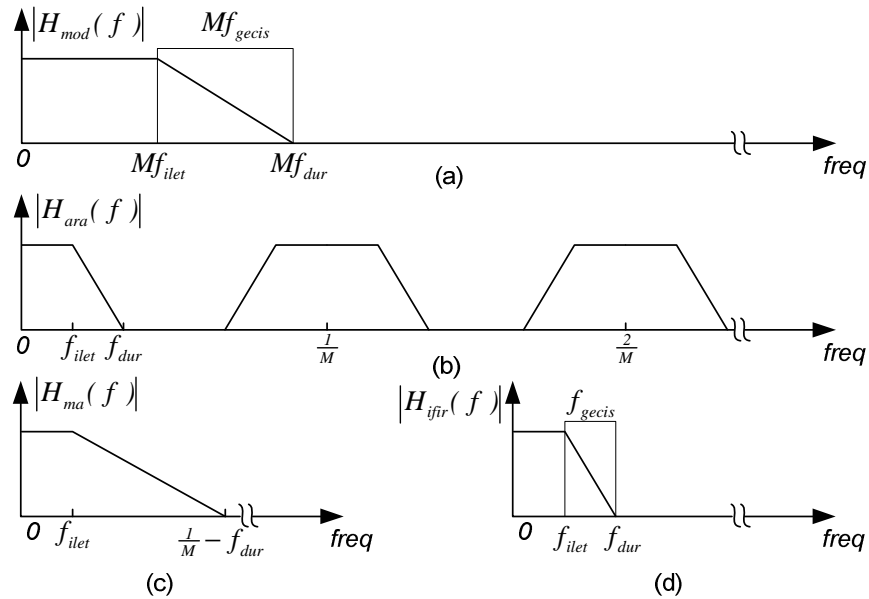
$$f_{mod-gecis} = M \cdot f_{gecis} = M(f_{dur} - f_{ilet}) \quad (3.2.5c)$$

Maskeleme alt-süzgecinin band sınırları,

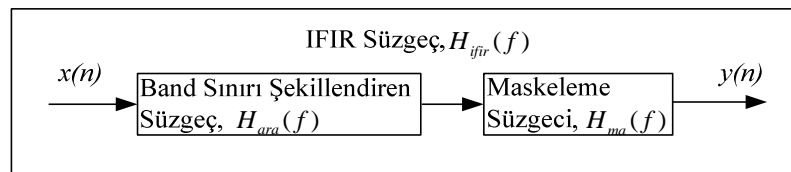
$$f_{ma-ilet} = f_{ilet} \quad (3.2.6a)$$

$$f_{ma-dur} = \frac{1}{M} - f_{dur} \quad (3.2.6b)$$

Model süzgecin ve maskeleme alt-süzgecinin durdurma bandı bastırması, arzulanan IFIR süzgecin durdurma bandı bastırmasıyla aynıdır. IFIR süzgecin etkin uzunluğu, aynı kriterleri sağlayan geleneksel FIR süzgecin uzunluğundan çok az miktarda daha uzundur. Bu fark % 10'un geçmez ancak hesaplama karmaşıklığı % 90'a kadar artabilir.



**Şekil 3.2.2** IFIR süzgecin genlik yanıtları (a) Model süzgeç (b) Band sınırı şekillendiren süzgeç (periyodik model süzgeç) (c) Maskeleme süzgeci (d) Sonuç IFIR süzgeci



**Şekil 3.2.3** Ara-değerlenmiş FIR süzgeç yapısı

### 3.2.1 En Uygun M Değerinin Seçimi

$M$  faktörünün hesaplama karmaşıklığını azaltmak için çok dikkatli bir biçimde seçmek gereklidir. Şekil 3.2.2(b)'den de gözlenebileceği gibi  $M$  değeri için bir kısıtlama getirilebilir. Bu kısıtlama şudur:  $M$  değeri  $1/M \cdot f_{dur} \geq f_{dur}$  kısıtlamasını sağlayan en büyük tamsayı olmalıdır. Bu seçimle band sınırı şekillendiren süzgecin periyodik iletim bandları bastırılmış olur. Bu kısıtlama  $M$  için şu üst sınırlamayı ortaya koyar [6].

$$M_{max} = \left\lfloor \frac{1}{2f_{dur}} \right\rfloor \quad (3.2.7)$$

Burada,  $\lfloor x \rfloor$ ,  $x$ 'den küçük en büyük tamsayıdır. Sonuçta  $M$  için kabul edilebilir tamsayı değerleri aralığı,  $2 \leq M \leq M_{max}$  'dır.

### 3.2.2 FIR Süzgecin Uzunluğunun Tahmini

IFIR süzgeçlerin hesaplama karmaşıklıklarının hesaplanabilmesi için, geleneksel FIR süzgeçlerin uzunluğunu tahmin eden bir algoritma geliştirmek gerekir. Birçok yazar geleneksel FIR süzgeçlerin uzunluğunu tahmin etmek için iletim bandı dalgalanması, durdurma bandı bastırması ve geçiş bandı genişliğine dayanan deneysel ilişkiler (Optimal FIR, Parks-McClellan, remez, Chebyshev yaklaşımı veya eş-dalgalanmalı süzgeçler) ortaya koymuştur. Bu tezde yöntem olarak Parks-McClellan optimal eş-dalgalanmalı FIR süzgeç tasarımı kullanılacaktır. Rabiner ve Hermann'ın 1973 yılında ortaya koydukları FIR süzgeçlerin uzunluğunu tahmin eden formülün 0.1 dB için oluşturulan özel bir halini kullanarak bu tahmin şu şekilde ifade edilebilir [10].

$$N_{fir} = \frac{Bastırma}{22 \cdot (f_{dur} - f_{ilet})} \quad (3.2.8a)$$

Burada *Bastırma* dB cinsinden durdurma bandı bastırmasıdır.  $f_{ilet}$  ve  $f_{dur}$  ise normalize frekanslardır.

Aynı şekilde model süzgeç ve maskeleme alt-süzgecin uzunlukları da şu şekilde ifade edilebilir.



$$N_{ara} = \frac{Bastırma}{22.M.(f_{dur} - f_{ilet})} \quad (3.2.8b)$$

$$N_{ma} = \frac{Bastırma}{22.(1/M - f_{dur} - f_{ilet})} \quad (3.2.8c)$$

### 3.2.3 IFIR Süzgecin Performans Modellenmesi

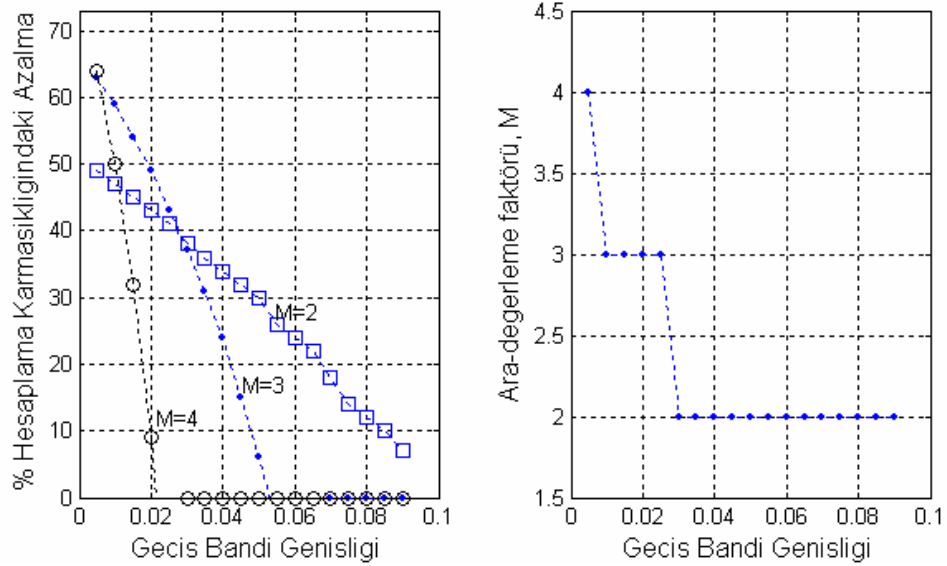
IFIR süzgeçlerde hesaplama karmaşıklığındaki azalma oranı şu şekilde yazılabilir.

$$\% \text{ hesaplama karmaşıklığındaki azalma} = 100 \frac{N_{tfir} - N_{ara} - N_{ma}}{N_{tfir}} \quad (3.2.9)$$

Bu oran, aslında arzulanan IFIR süzgecin iletim bandı genişliği, geçiş bandı genişliği ve  $M$  faktörüne bağlıdır. (3.2.8) ve (3.2.9) denklemleri birlikte kullanılarak bu ilişki ortaya koyulabilir.

$$\% \text{ hesaplama karmaşıklığındaki azalma} = 100 \left[ \frac{M - 1}{M} - \frac{Mf_{gecis}}{1 - Mf_{gecis} - 2Mf_{ilet}} \right] \quad (3.2.10)$$

(3.2.10) denklemi örnekleme frekansının % 10'u ( $f_{ilet}=0.1$ ) ve  $M = 2, 3, 4$  için, hesaplama karmaşıklığını ve en uygun  $M$  faktörünü, geçiş bandı genişliği cinsinden ifade edecek şekilde Şekil 3.2.4'de verilmiştir.



**Şekil 3.2.4**  $f_{ilet}=0.1$  dB için geçiş bandı genişliğine bağlı IFIR süzgeç performansı (a) Hesaplama karmaşıklığındaki azalma oranı (b) En uygun  $M$  değeri

### 3.2.4 İletim Bandı Dalgalanmasının İncelenmesi

Bir IFIR süzgecin dalgalanması, band sınırı şekillendiren süzgeç ve maskeleme süzgecinin bir fonksiyonudur. IFIR süzgecin iletim bandı yanıtı, band sınırı şekillendiren süzgeç ile maskeleme süzgeci yanıtlarının çarpımıdır. Eğer IFIR süzgecin iletim bandı dalgalanması  $\delta_{ifir}$  ise, (3.2.4) denkleminde yararlanarak, IFIR süzgecin iletim bandı yanıtı için bir üst sınır çıkarılabilir.

$$\begin{aligned} 1 + \delta_{ifir} &= (1 + \delta_{ara}) \cdot (1 + \delta_{ma}) \\ &= 1 + \delta_{ara} + \delta_{ma} + \delta_{ara}\delta_{ma} \end{aligned} \quad (3.2.11)$$

$\delta_{ara}$  ve  $\delta_{ma}$  'nın küçük değerleri için  $\delta_{ara}\delta_{ma}$  değeri ihmal edilebilir. Böylece,

$$\delta_{ifir} = \delta_{ara} + \delta_{ma} \quad (3.2.12)$$

Sonuçta, band sınırı şekillendiren süzgeç ve maskeleme süzgeci tasarımı sırasında kullanılacak iletim bandı dalgalanması değeri, arzulanan IFIR süzgecin iletim bandı dalgalanmasının kabaca yarısı olarak alınır.

$$\delta_{ara} = \delta_{ma} \approx \delta_{ifir} / 2 \quad (3.2.13)$$

### 3.2.5 IFIR Süzgeci Tasarımı

Alçak geçiren bir IFIR süzgeç tasarımı pratik olarak dört adım içeren bir algoritma ile gerçekleştirilir [10].

**Adım 1.** Arzulanan alçak geçiren süzgecin performans özellikleri tanımlanır.

**Adım 2.**  $M$  için uygun bir değerler aralığı bulunur

**Adım 3.** Band sınırı şekillendiren ve maskeleme süzgeçleri, band sınırları hesaplanarak tasarlanırlar.

**Adım 4.** Uygun  $M$  değerleri aralığındaki  $M$ 'ler için IFIR süzgeçlerin performansları incelenir ve en uygun IFIR süzgeç tasarlanır.

Bir IFIR süzgeç tasarımı örneği olarak, normalize iletim bandı genişliği,  $f_{ilet} = 0.1$ , iletim bandı dalgalanması 0.1 dB, geçiş bandı genişliği,  $f_{gecis} = 0.02$  ve durdurma bandı bastırması 60 dB olan bir IFIR süzgeç tasarlayalım. Bu tasarımda süzgeçlerin tasarımı için MATLAB programının remez komutu kullanılmıştır.

Öncelikle uygun  $M$  değerleri aralığı belirlenir.

$$M_{max} = \left\lfloor \frac{1}{2f_{dur}} \right\rfloor = \left\lfloor \frac{1}{2(0.1+0.02)} \right\rfloor = 4 \text{ ve } 2 \leq M \leq 4 \text{ 'dir}$$

Uygun  $M$  değerleri aralığı için gerekli süzgeç uzunlukları ve hesaplama karmaşıklığındaki azalma değerleri Tablo 2.2.1'de verilmiştir. Tablodaki değerler (2.2.3-2.2.13) denklemleri kullanılarak elde edilmiştir.

<b>Tablo 3.2.1</b> IFIR süzgecinin $M$ değerine bağlı hesaplama karmaşıklığındaki azalma			
$M$ değeri	2	3	4
$h_{ara}(k)$ uzunluğu	74	49	37
$h_{ma}(k)$ uzunluğu	8	26	98
IFIR süzgecin uzunluğu	82	75	135
Geleneksel FIR süzgecin uzunluğu	137	137	137
Gerekli bellek uzunluğu (IFIR süzgecin etkin uzunluğu)	147	145	145
Hesaplama karmaşıklığındaki azalma	% 41	% 46	% 2

Hesaplama karmaşıklığındaki azalmanın en büyük olduğu  $M$  değeri 3'tür.  $M = 3$  için model süzgeç ve maskeleme süzgeci için uygun band sınırı değerleri aşağıdaki gibidir.

$$f_{mod-ilet} = M \cdot f_{ilet} = 3(0.1) = 0.3 \text{ Hz}$$

$$f_{mod-dur} = M \cdot f_{dur} = 3(0.12) = 0.36 \text{ Hz}$$

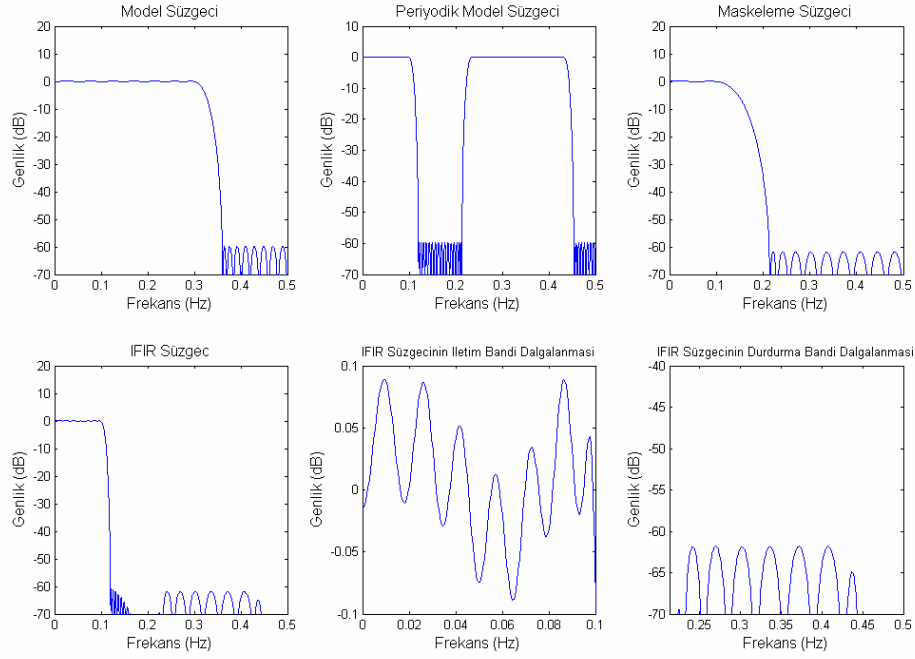
$$f_{mod-gecis} = M \cdot f_{gecis} = M(f_{dur} - f_{ilet}) = 3(0.12-0.1) = 0.06 \text{ Hz}$$

$$f_{ma-ilet} = f_{ilet} = 0.1 \text{ Hz}$$

$$f_{ma-stop} = \frac{1}{M} - f_{stop} = \frac{1}{3} - 0.12 = 0.2133 \text{ Hz}$$

$$\delta_{ara} = \delta_{ma} \approx \delta_{ifir} / 2 \approx 0.1 / 2 = 0.5 \text{ dB}$$

Elde edilen bu band sınırları kullanılarak model süzgeç, band sınırı şekillendiren (periyodik model süzgeç), maskeleme süzgeci ve çıkış IFIR süzgeç Şekil 3.2.5'deki gibi tasarlanır.



**Şekil 3.2.5** IFIR süzgecin genlik yanıtları (a) Model Süzgeç (b) Band sınırı şekillendiren süzgeç (Periyodik model süzgeç) (c) Maskeleye süzgeci (d) Çıkış IFIR süzgeç (e) IFIR süzgecin iletim bandı dalgalanması (f) IFIR süzgecin durdurma bandı bastırması

Hesaplama karmaşıklığındaki azalmayı daha iyi gözlemek için, normalize iletim bandı genişliği,  $f_{ilet} = 0.02$ , iletim bandı dalgalanması 0.1 dB, geçiş bandı genişliği,  $f_{gecis} = 0.005$  ve durdurma bandı bastırması 60 dB olan yeni bir IFIR süzgeç tasarlayalım.

Bu süzgeç özellikleri için uygun  $M$  değerleri aralığı belirlenir.

$$M_{max} = \left\lceil \frac{1}{2f_{dur}} \right\rceil = \left\lceil \frac{1}{2(0.02 + 0.005)} \right\rceil = 20 \text{ ve } 2 \leq M \leq 20 \text{ 'dir}$$

Uygun  $M$  değerleri aralığı için gerekli süzgeç uzunlukları ve hesaplama karmaşıklığındaki azalma değerleri Tablo 3.2.2'de verilmiştir. Bu kez hesaplama karmaşıklığındaki azalmanın % 80 civarında olduğu görülür.

Hesaplama karmaşıklığındaki azalmanın en büyük olduğu  $M$  değeri 8 ya da 9 olabilir.

<b>Tablo 3.2.2</b> IFIR süzgecinin $M$ deęerine baęlı hesaplama karmaşıklıęındaki azalma							
$M$ deęeri	5	6	7	8	9	10	11
$h_{ara}(k)$ uzunluęu	118	98	84	73	66	59	54
$h_{ma}(k)$ uzunluęu	18	24	30	37	45	54	64
IFIR süzgecin uzunluęu	136	122	114	110	111	113	118
Geleneksel FIR süzgecin uzunluęu	544	544	544	544	544	544	544
Gerekli bellek uzunluęu (IFIR süzgecin etkin uzunluęu)	586	583	582	585	586	581	584
Hesaplama karmaşıklıęındaki azalma	% 75	% 78	% 79	% 80	% 80	% 79	% 78

Şekil 3.2.6'daki  $M$  deęerlerine baęlı hesaplama karmaşıklıęındaki azalma grafięi esas alınarak,  $M = 8$  için model süzgeç ve maskeleme süzgeci için uygun band sınırı deęerleri aşıęıdaki gibidir.

$$f_{mod-ilet} = M \cdot f_{ilet} = 8(0.02) = 0.16 \text{ Hz}$$

$$f_{mod-dur} = M \cdot f_{dur} = 3(0.025) = 0.20 \text{ Hz}$$

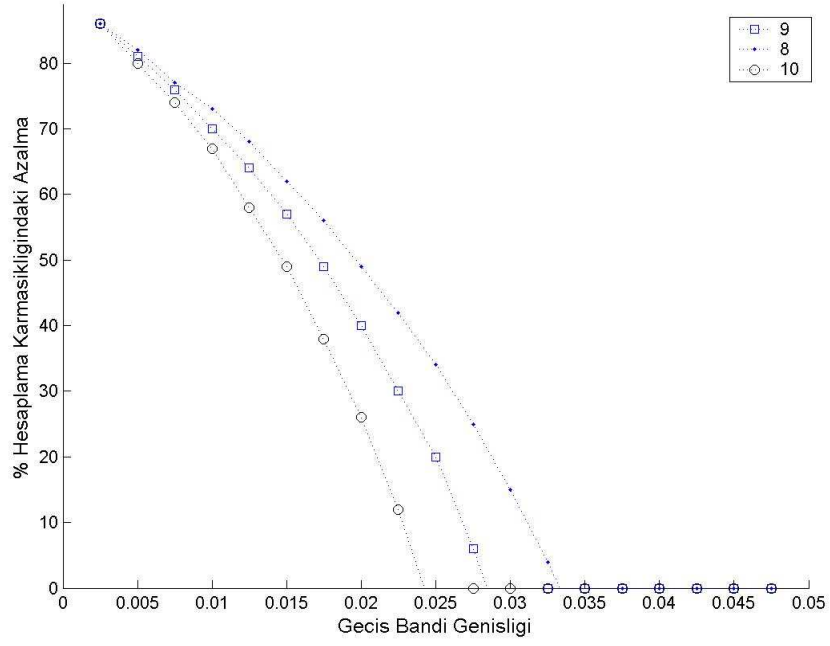
$$f_{mod-gecis} = M \cdot f_{gecis} = M(f_{dur} - f_{ilet}) = 8(0.025-0.02) = 0.04 \text{ Hz}$$

$$f_{ma-ilet} = f_{ilet} = 0.02 \text{ Hz}$$

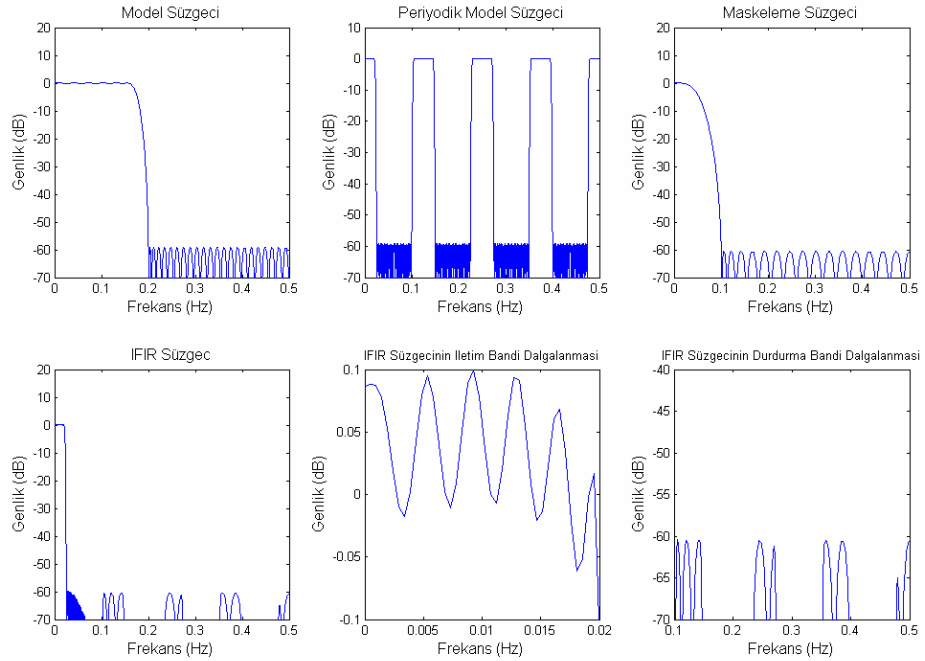
$$f_{ma-stop} = \frac{1}{M} - f_{stop} = \frac{1}{8} - 0.025 = 0.1 \text{ Hz}$$

$$\delta_{ara} = \delta_{ma} \approx \delta_{ifir} / 2 \approx 0.1 / 2 = 0.5 \text{ dB}$$

$M = 8$  için elde edilen bu band sınırları kullanılarak model süzgeç, band sınırı şekillendiren (periyodik model süzgeç), maskeleme süzgeci ve çıkış IFIR süzgeç Şekil 3.2.7'de verilmiştir.



**Şekil 3.2.6**  $f_{ilet} = 0.005$  esas alınarak,  $M = 8, 9, 10$  için hesaplama karmaşıklığındaki azalma oranları



**Şekil 3.2.7** IFIR süzgecin genlik yanıtları (a) Model Süzgeç (b) Band sınırı şekillendiren süzgeç (Periyodik model süzgeç) (c) Maskeleye süzgeci (d) Çıkış IFIR süzgeci (e) IFIR süzgecin iletim bandı dalgalanması (f) IFIR süzgecin durdurma bandı bastırması

#### **4. FREKANS CEVABI MASKELEME (FRM) YAKLAŞIMI KULLANILARAK KESKİN DOĞRUSAL-FAZLI FIR SAYISAL SÜZGEÇ ÜRETİLMESİ**

Doğrusal fazlı FIR sayısal süzgeçlerin kararlılık, faz bozulmalarından bağımsızlık ve düşük katsayı duyarlılığı gibi birçok avantajı vardır. FIR süzgeçlerin en önemli dezavantajı karmaşıklıklarıdır. Bu problem, keskin FIR süzgeçler için mutlaka çözülmesi gereken bir problemdir.

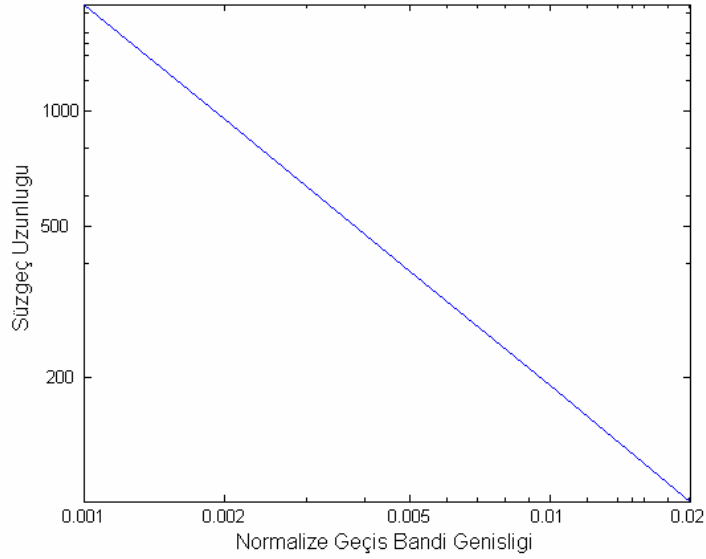
Literatürde, keskin FIR süzgeçlerin karmaşıklığını azaltmak için bugüne kadar birçok yöntem önerilmiştir. İlk olarak, giriş işaretinin band genişliği, çok etkili olmayan geçiş bandı genişliğini daraltan süzgeçler kullanılarak azaltıldı [7]. Daha sonra, örnekleme oranı azaltıldı ve çıkış işareti azaltılan örnekleme oranı ile süzgeçlendi. Son olarak da örnekleme oranı azaltma yerini ara-değerlemeye bıraktı [9].

Yukarıdaki yöntemler dar-bandlı süzgeçleme için etkilidir. Ayrıca geniş-bandlı süzgeçleme için de kullanılabilir. Giriş işaretinin gecikmiş halinden dar bandlı işaret çıkarılarak geniş bandlı işaret üretilebilir. Geniş-bandlı süzgeçlerin band genişliği de dar-bandlı işaretlerde olduğu gibi ara-değerleme ile azaltılabilir.

##### **4.1. Orijinal Frekans Cevabı Maskeleme Yöntemi**

FRM tekniği farklı band genişliklerine sahip keskin FIR süzgeçleri üretmek için kullanılan en etkili yöntemdir. Elde edilen süzgecin katsayısı geleneksel süzgeçlere göre daha azdır. Tasarlanması istenen bir süzgecin özellikleri verildiğinde, süzgecin etkin uzunluğu (tüm sıfır ve sıfır olmayan katsayılar dahil), aynı özellikleri sağlayan sonsuz kelime-uzunluklu minimax tasarımı optimum süzgeçten çok az miktarda daha uzundur. Süzgeç karmaşıklığı ise, katsayıların çoğunun sıfır ve geri kalanların sıfırdan farklı olması nedeniyle, sonsuz kelime-uzunluklu minimax tasarımı optimum süzgeçten çok daha küçüktür. FRM tekniği çarpıcısız tasarım [11] yöntemleri ile birleştirilirse süzgeç karmaşıklığı minimuma indirilebilir.

Şekil 4.1.1’de gerekli süzgeç uzunluğunun geçiş bandı genişliği ile değişimi, 0.2 dB tepeden-tepeye iletim bandı dalgalanması ve 40 dB durdurma bandı bastırması için verilmiştir. Şekil 4.1’de de görüldüğü gibi süzgeç uzunluğu, geçiş bandı genişliği ile ters orantılıdır ve karmaşıklığın keskin süzgeçler için yüksek olduğu açıktır.



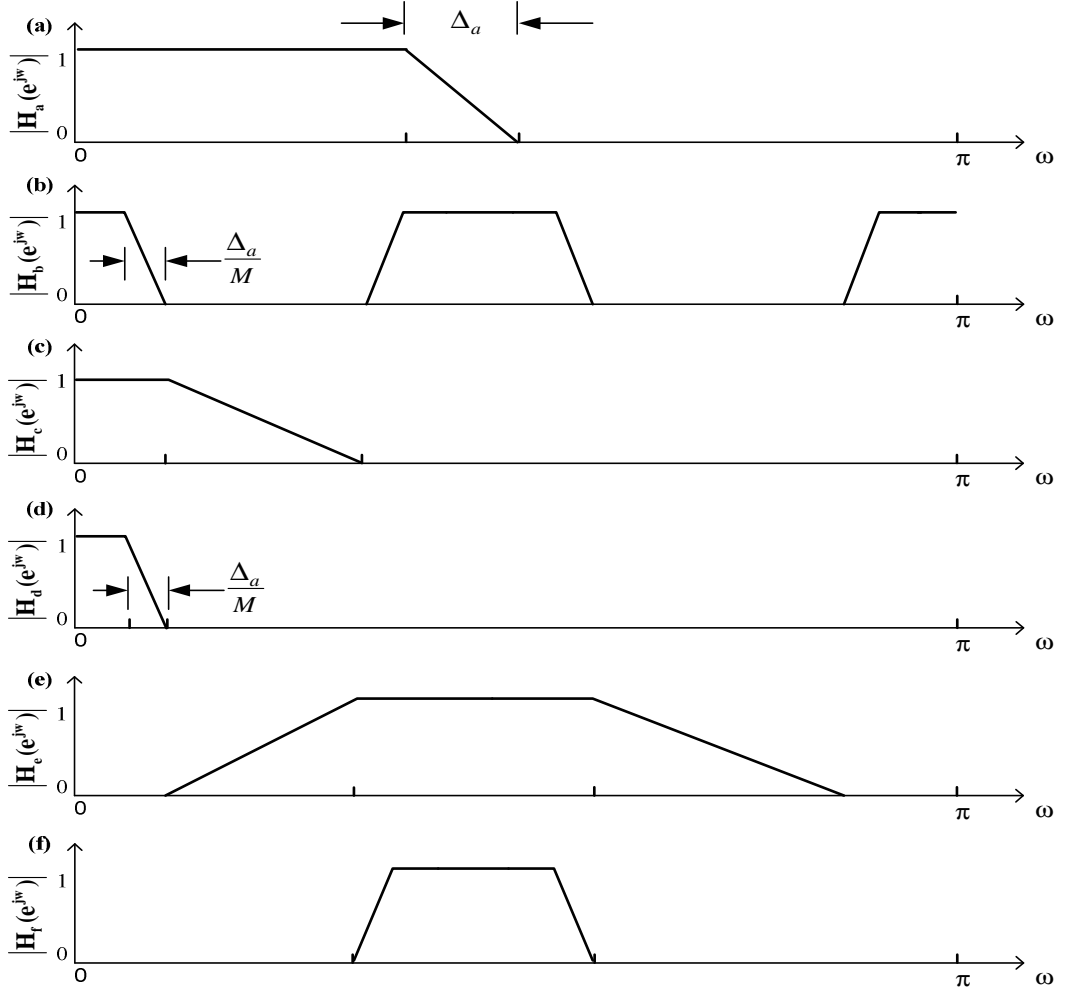
**Şekil 4.1** Süzgeç uzunluğunun geçiş bandı genişliği ile değişimi

#### 4.1.1 Dar Band Süzgeç Tasarımı

Transfer fonksiyonunun z-dönüşümü  $H_a(z)$ , frekans yanıtı  $H_a(e^{j\omega})$  ve geçiş bandı genişliği  $\Delta_a$  olan, alçak geçiren bir süzgeç Şekil 4.1.2(a) ile verilmiştir. Bu süzgecin her gecikme terimi  $M$  gecikme terimi ile yer değiştirildiğinde  $H_b(z) = H_a(z^M)$  oluşur ve oluşan yeni yapının frekans yanıtı  $H_b(e^{j\omega}) = H_a(e^{jM\omega})$  Şekil 4.1.2(b) 'de verilmiştir. Şekil 4.1.2(c)'de  $H_b(e^{j\omega})$  frekans yanıtını maskeleyecek  $H_c(e^{j\omega})$  maskesi gösterilmiştir. Elde edilen süzgeç çıkışı  $H_d(e^{j\omega}) = H_b(e^{j\omega}).H_c(e^{j\omega})$  Şekil 4.1.2(d)'de çizilmiştir.  $H_d(e^{j\omega})$  frekans yanıtının geçiş bandı genişliği  $\frac{\Delta_a}{M}$  'dir. Eğer  $H_b(e^{j\omega})$ , Şekil 4.1.2(e)'de görülen  $H_e(e^{j\omega})$  maskesi ile maskelenirse, çıkışın frekans yanıtı Şekil 4.1.2(f)'deki gibi  $H_f(e^{j\omega}) = H_b(e^{j\omega}).H_e(e^{j\omega})$  olur. Geçiş bandı genişliği yine  $\frac{\Delta_a}{M}$  'dir.

Bu basit frekans yanıtı maskeleyme tekniği için çok ciddi bir zorluk vardır.





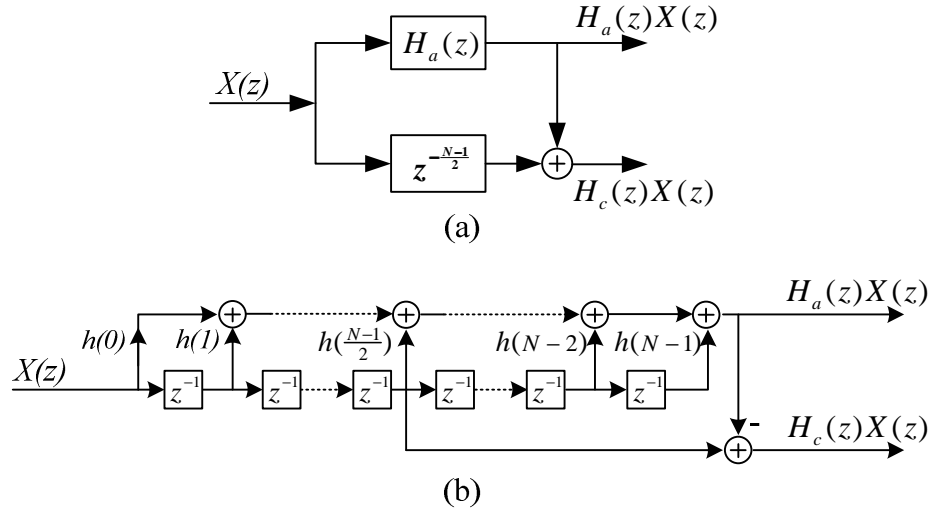
**Şekil 4.1.2** Frekans Yanıtı Maskeleyme Tekniğinin Basit Gösterilimi

$H_a(z)$  süzgecindeki her gecikme elemanının  $M$  gecikme elemanı ile yer değiştirilmesi sırasında, geçiş bandı genişliği  $M$  faktörü ile azalırken, iletim bandı genişliği de  $M$  faktörü ile azalır. Bu nedenle FRM tekniği, sadece dar band süzgeç tasarımları için uygundur. Ara-değerleme yapılmış dürtü-yanıtı yaklaşımı, FRM tekniğinin özel bir halidir [7]. Ara-değerleyicilerin frekans yanıtı, FRM tekniğindeki Şekil 4.1.2(c)'de görülen maske ile aynı yapıdadırlar.

#### 4.1.2 Keyfi Band Genişlikli FRM Tasarımı

Doğrusal fazlı iki süzgeç  $H_a$  ve  $H_c$ , eğer  $|H_a(e^{j\omega}) + H_c(e^{j\omega})| = 1$  ise tamamlatıcı bir çift süzgeçtir.  $H_a(e^{j\omega})$ ,  $H_a$  süzgecinin ve  $H_c(e^{j\omega})$  de  $H_c$  süzgecinin frekans yanıtıdır.  $N$  uzunluklu doğrusal fazlı bir FIR süzgeç olan  $H_a(e^{j\omega})$ 'nin frekans yanıtı şöyle ifade edilebilir.

$$H_a(e^{j\omega}) = e^{-j((N-1)/2)\omega} \cdot R(\omega) \quad (4.1.1)$$



Şekil 4.1.3  $H_c$  süzgecinin gerçekleştirilmesi

Bu bölümde  $N$  değerinin, ikinci bölümden farklı olarak süzgeç uzunluğuna karşılık geldiği göz önünde bulundurulmalıdır. (4.1.1)'de,  $R(\omega)$ ,  $\omega$  açısal frekansına bağlı trigonometrik bir fonksiyondur [12].  $H_a$ 'nın tamamlayıcı süzgeci  $H_c$ 'nin frekans yanıtı,

$$H_c(e^{j\omega}) = e^{-j((N-1)/2)\omega} \cdot \{1 - R(\omega)\} \quad (4.1.2)$$

$H_a$  süzgecinin z-dönüşümü  $H_a(z)$  ve  $H_c$  süzgecinin z-dönüşümü,

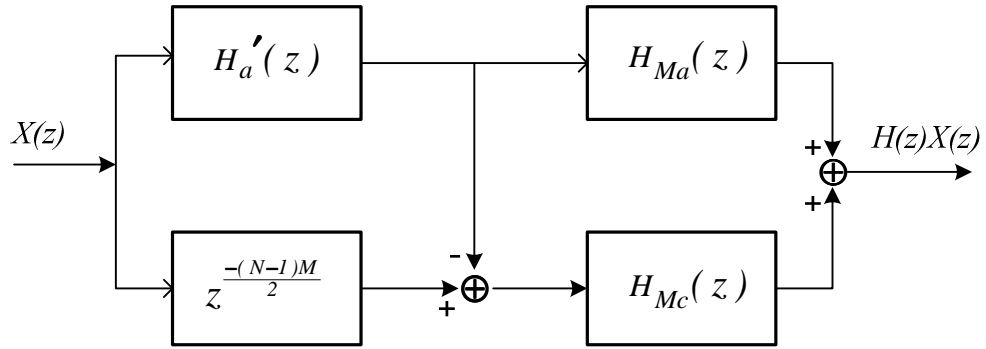
$$H_c(z) = e^{-j((N-1)/2)} - H_a(z) \quad (4.1.3)$$

Buna karşılık gelen transfer fonksiyonu ise  $H_a(z) + H_c(z) = e^{-j((N-1)/2)}$ 'dir. Bu nedenle,  $H_a(z)$  gerçekleştirildiğinde, tamamlayıcı süzgeci  $H_c(z)$ , Şekil 4.1.3(a)'da görüldüğü gibi  $H_a(z)$  süzgecinin çıkışı, girişinin  $((N-1)/2)$ . gecikmiş halinden çıkarılarak kolayca elde edilebilir [4].  $H_c$ 'nin  $H_a$ 'dan elde edilmesi sırasında kullanılan fazlardan gecikme elemanlarını tekrardan üretilmesi gerekmez, çünkü  $H_a$  süzgecinde kullanılan gecikmeler aynı amaçla kullanılabilir.  $H_c$  gerçekleştirilmesi Şekil 4.1.3(b)'de görülmektedir.

Şekil 4.1.5(a)'da olduğu gibi  $R(\omega)$  trigonometrik fonksiyonuna bağlı bir  $H_a$  alçak geçiren süzgeci düşününüz.  $H_a$  süzgecinin kesim frekansları sırasıyla  $\theta$  ve  $\phi$ 'dir. Tamamlayıcı süzgeç,  $H_c$ 'nin frekans yanıtı Şekil 4.1.5(b) ile verilmiştir.  $H_c(z)$ , durdurma bandı sınırı  $\theta$  ve iletim bandı sınırı  $\phi$  olan yüksek geçiren bir süzgece eşdeğerdir [4].  $H_a$ ' ve  $H_c$ ' süzgeçleri,  $H_a$  ve  $H_c$  süzgeçlerinde her gecikme

elemanı  $M$  gecikme elemanı ile yer değiştirerek üretilir.  $H_a'$  ve  $H_c'$  süzgeçlerinin tek  $N$  değerleri için frekans yanıtları Şekil 4.1.5(c)'de verilmiştir. Tek-uzunluklu süzgeçler  $\omega = 2\pi/M, 4\pi/M, \dots$  frekanslarında pozitif periyodiklere sahiptir. Ancak çift uzunluklu süzgeçler  $\omega = \pi/M, 3\pi/M, 5\pi/M, \dots$  frekanslarında işaret değiştirir. Ardışıl frekans bandlarında  $-1$  ve  $+1$  genliklerine yaklaşır. İletim ve durdurma bandlarında büyük dalgalanmalara neden olurlar. Bu nedenle model süzgeç olarak tek-uzunluklu süzgeçler kullanılmalıdır [3].

$H_a'(e^{j\omega})=H_a(e^{jM\omega})$  ve  $H_c'(e^{j\omega})=H_c(e^{jM\omega})$  sırasıyla  $H_a'$  ve  $H_c'$  süzgeçlerinin frekans yanıtlarıdır. İki maskeleyen süzgeci  $H_{Ma}$  ve  $H_{Mc}$  'nin frekans yanıtları, sırasıyla  $H_{Ma}(e^{j\omega})$  ve  $H_{Mc}(e^{j\omega})$ , sırasıyla  $H_a'(e^{j\omega})$  ve  $H_c'(e^{j\omega})$  süzgeçlerini maskelemek için kullanılır.  $H_{Ma}$  ve  $H_{Mc}$  çıkışları Şekil 4.1.4' deki gibi toplanırsa, sonuç süzgeci  $H$  oluşur ve  $H$  süzgecinin frekans yanıtı  $H(e^{j\omega})$  Şekil 4.1.5.e'de verilmiştir.



Şekil 4.1.4 FRM tekniğinin blok şeması

$H$  süzgecinin band sınırları  $\omega_{ilet}$  ve  $\omega_{dur}$  ile gösterilirse, iletim bandı sınırı,  $\omega_{ilet}$  ve durdurma bandı sınırı,  $\omega_{dur}$  şu şekilde ifade edilebilir.

$$\omega_{ilet} = \frac{2m\pi + \theta}{M} \quad (4.1.4.a)$$

$$\omega_{dur} = \frac{2m\pi + \phi}{M} \quad (4.1.4.b)$$

Burada,  $m, M$ 'den küçük bir tamsayıdır. Burada dikkat edilmesi gereken iki nokta vardır. Birincisi,  $H_{Ma}$  ve  $H_{Mc}$  süzgeçlerinin grup gecikmeleri eşit olmalıdır. Bunun anlamı  $H_{Ma}$  ve  $H_{Mc}$  süzgeçlerinin uzunlukları ya ikisi de çift ya

da ikisi de tek olmalıdır. Eğer gerekli ise, gecikmeleri eşitlemek için artan gecikmeler  $H_{Ma}$  veya  $H_{Mc}$ 'ye eklenmelidir. İkincisi ise, yarım örnek gecikmelerinde korunmak için  $(N-1)M$  çift olmalıdır [12]. Burada  $M$  çift olmaya zorlanarak  $N$  değerine kullanım alanı açılabilir [6], ancak  $N$  tek alındığından bu durumda gerekli değildir.

$H$  süzgecinin Şekil 4.1.5(e)'deki geçiş bandı civarındaki frekans yanıtı, temel olarak  $H'_a$  süzgecinin frekans yanıtından elde edilir. Eğer  $H_{Ma}$  ve  $H_{Mc}$  süzgeçlerinin frekans yanıtları Şekil 4.1.5(f)'deki gibi ise,  $H$  süzgecinin frekans yanıtı Şekil 4.1.5(g)'deki gibi oluşur.  $H$  süzgecinin geçiş bandı civarındaki frekans yanıtı, bu kez, temel olarak  $H'_c$  süzgecinin frekans yanıtından elde edilir. Bu durumda band sınırları  $\omega_{ilet}$  ve  $\omega_{dur}$  şu şekilde ifade edilebilir.

$$\omega_{ilet} = \frac{2m\pi - \phi}{M} \quad (4.1.5.a)$$

$$\omega_{dur} = \frac{2m\pi - \theta}{M} \quad (4.1.5.b)$$

FRM gerçekleşmesi probleminde  $\omega_{ilet}$  ve  $\omega_{dur}$  verilir,  $m$ ,  $M$ ,  $\theta$  ve  $\phi$  belirlenmelidir. Başlangıç olarak, bazı kriterlere göre tüm süzgecin karmaşıklığı minimum yapacak bir  $M$  değeri seçilmelidir. Daha sonra,  $\theta$ ,  $\phi$  ve  $m$  terimleri,  $\omega_{ilet}$ ,  $\omega_{dur}$  ve  $M$  terimleri cinsinden ifade edilmelidir. Bunu yapabilmek için, şu durumun varolduğunu kabul edelim.

$$0 < \theta < \phi < \pi \quad (4.1.6)$$

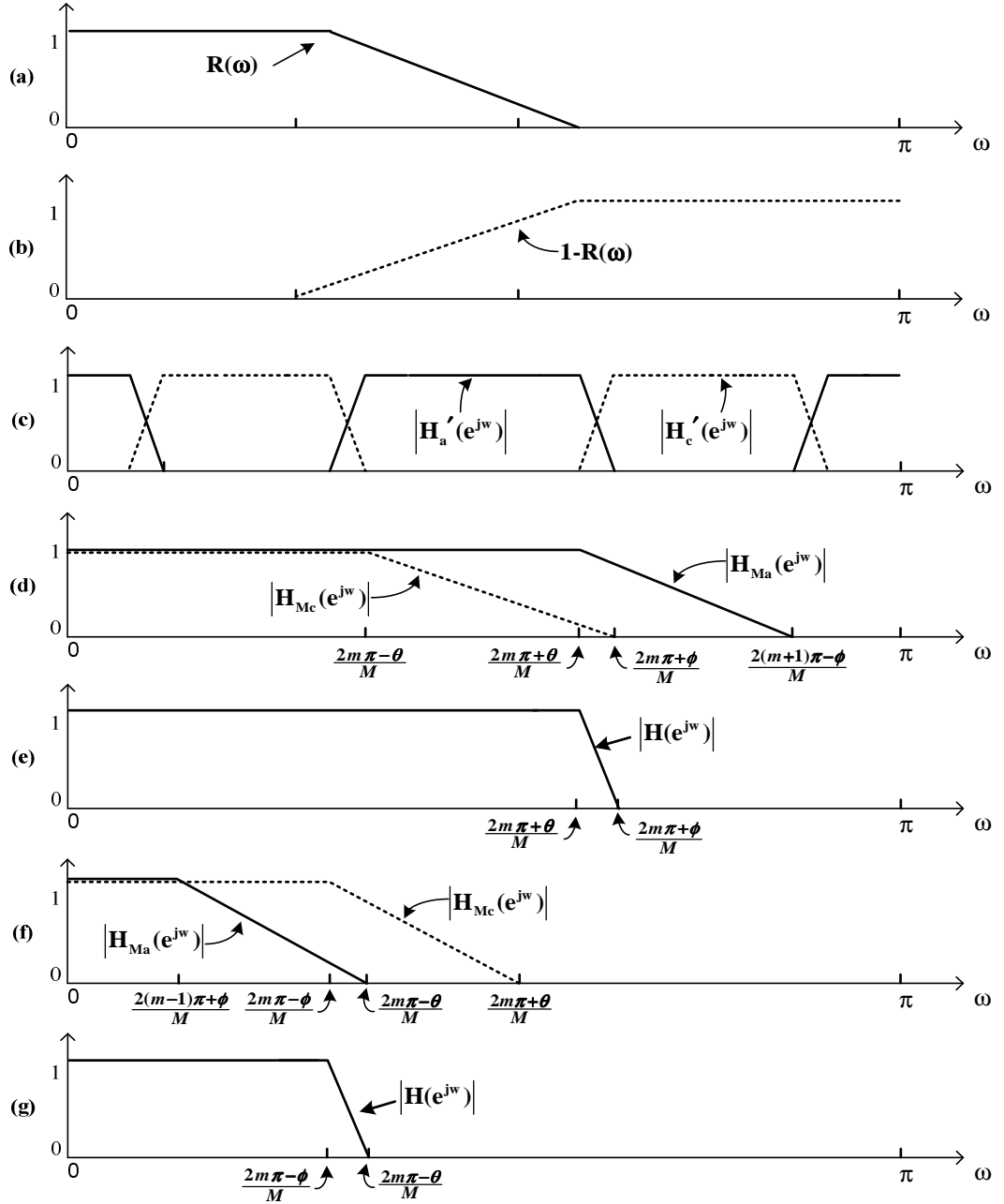
(4.1.4.a) ve (4.1.4.b) eşitliklerinden  $0 < \theta < \phi$  için bir çözüm elde etmek için  $\theta$ ,  $\phi$  ve  $m$  terimlerini,  $\omega_{ilet}$ ,  $\omega_{dur}$  ve  $M$  cinsinden ifade ederiz.

$$m = \lfloor \omega_{ilet}M / (2\pi) \rfloor \quad (4.1.4.c)$$

$$\theta = \omega_{ilet}M - 2m\pi \quad (4.1.4.d)$$

$$\phi = \omega_{dur}M - 2m\pi \quad (4.1.4.e)$$

Burada  $\lfloor \omega_{ilet}M / (2\pi) \rfloor$ ,  $\omega_{ilet}M / (2\pi)$  değerinden daha küçük ya da eşit en büyük tamsayıdır.



**Şekil 4.1.5** Frekans Yanıtı Maskeleyme Tekniğinde kullanılan süzgeçlerin frekans yanıtları

(4.1.5.a) ve (4.1.5.b) eşitliklerinden  $0 < \theta < \phi$  için bir çözüme ulaşmak için yine  $m$ ,  $\theta$  ve  $\phi$  terimlerini  $\omega_{ilet}$ ,  $\omega_{dur}$  ve  $M$  cinsinden ifade etmeliyiz.

$$m = \lceil \omega_{dur} M / (2\pi) \rceil \quad (4.1.5.c)$$

$$\theta = 2m\pi - \omega_{dur} M \quad (4.1.5.d)$$

$$\phi = 2m\pi - \omega_{ilet} M \quad (4.1.5.e)$$

Burada  $[\omega_{dur}M/(2\pi)]$ ,  $\omega_{dur}M/(2\pi)$  değerinden daha büyük veya eşit en küçük tamsayı değeridir. Verilen herhangi bir  $\omega_{ilet}$ ,  $\omega_{dur}$  ve  $M$  veri seti için, (4.1.4) veya (4.1.5) eşitliklerinden sadece biri  $\phi < \pi$  sınırlamasını sağlayarak  $\theta$  ve  $\phi$  veri setini elde edebilir.

Tüm süzgecin frekans yanıtı şu şekilde ifade edilebilir.

$$H(e^{j\omega}) = H'_a(e^{j\omega})H_{Ma}(e^{j\omega}) + [1 - H'_a(e^{j\omega})]H_{Mc}(e^{j\omega}) \quad (4.1.7a)$$

Tüm süzgecin frekans yanıtı, benzer bir yapıyla aşağıdaki gibi de verilebilir [13].

$$H(e^{j\omega}) = H(\omega)e^{-j[(N_a-1)/2 + \max((N_{Ma}-1), (N_{Mc}-1))\omega/2]} \quad (4.1.7b)$$

Burada  $H(\omega)$ ,  $H(z)$  süzgecinin sıfır-fazlı frekans cevabını göstermektedir ve şu şekilde tanımlanır.

$$H(\omega) = H_1(\omega) + H_2(\omega) \quad (4.1.7c)$$

$$H_1(\omega) = H_a(M\omega)H_{Ma}(\omega) \quad (4.1.7d)$$

$$H_2(\omega) = [1 - H_a(M\omega)]H_{Ma}(\omega) \quad (4.1.7e)$$

$H_a(e^{j\omega})$  süzgecinin geçiş bandı genişliğinin  $M(\omega_{dur}-\omega_{ilet})$  olduğundan, verilen  $\omega_{ilet}$  ve  $\omega_{dur}$  için,  $H_a(e^{j\omega})$  süzgecinin geçiş bandı genişliği, artan  $M$  değerleri ile artar. Böylece,  $H_a$  süzgecinin karmaşıklığı da artan  $M$  değerleri ile azalır.  $H_{Ma}(e^{j\omega})$  ve  $H_{Mc}(e^{j\omega})$  maskeleyen süzgeçlerinin geçiş bandı genişlikleri toplam  $\frac{1}{M}$ 'dir ve artan  $M$  değerleri ile azalır.

### 4.1.3 $H(e^{j\omega})$ Üzerindeki Dalgalanma Etkileri

$G_a'(\omega)$  ve  $\delta_a'(\omega)$ ,  $H_a'(\omega)$  süzgecinin sırasıyla arzulanan değeri ve sapması olsun.  $H_a'(\omega)$  süzgecinin iletim bandında  $G_a'(\omega) = 1$  ve durdurma bandında  $G_a'(\omega) = 0$ 'dır.  $H_a'(\omega)$  süzgecinin geçiş bandında, doğrusal faz teriminde küçük bir hata ile  $G_a'(\omega)$ 'yi  $H_a'(\omega)$ 'e eşit ve  $\delta_a'(\omega) = 0$  olarak tanımlayacağız. Benzer şekilde,  $G_{Ma}(\omega)$  ve  $G_{Mc}(\omega)$  ile  $\delta_{Ma}(\omega)$  ve  $\delta_{Mc}(\omega)$  sırasıyla  $H_{Ma}(e^{j\omega})$  ve  $H_{Mc}(e^{j\omega})$ 'nin arzulanan değeri ve sapması ise, tüm süzgecin frekans yanıtı ifadesi kullanılarak aşağıdaki eşitliği elde edebiliriz.

$$G(\omega) + \delta(\omega) = \{ G_{Ma}(\omega) + \delta_{Ma}(\omega) \} \cdot \{ G_a'(\omega) + \delta_a'(\omega) \} \\ + \{ G_{Mc}(\omega) + \delta_{Mc}(\omega) \} \cdot \{ 1 - G_a'(\omega) - \delta_a'(\omega) \} \quad (4.1.8)$$

Şimdi,  $H_a'$ ,  $H_{Ma}$  ve  $H_{Mc}$  süzgeçlerinin frekans yanıtlarının  $H$  süzgecinin frekans yanıtı üzerindeki etkilerini üç ayrı frekans bölgesinde inceleyelim.

**Frekans Bölgesi 1.**  $G_{Ma}(\omega) = G_{Mc}(\omega) = 1$ . Bu frekans bölgesinde,  $G(\omega) = 1$  olduğundan (4.1.8) denklemi şu şekilde yeniden düzenlenebilir.

$$\delta(\omega) = G_a'(\omega) \cdot \{ \delta_{Ma}(\omega) - \delta_{Mc}(\omega) \} + \delta_{Mc}(\omega) + \delta_a'(\omega) \cdot \{ \delta_{Ma}(\omega) - \delta_{Mc}(\omega) \} \quad (4.1.9)$$

ikinci derece terimi ihmal ederek (4.1.8) denklemini basitleştirirsek,

$$\delta(\omega) \approx G_a'(\omega) \cdot \{ \delta_{Ma}(\omega) - \delta_{Mc}(\omega) \} + \delta_{Mc}(\omega) \quad (4.1.10)$$

$$G_a'(\omega) = 1 \text{ olduğunda, } \delta(\omega) \approx \delta_{Ma}(\omega), \quad (4.1.11a)$$

$$G_a'(\omega) = 0 \text{ olduğunda, } \delta(\omega) \approx \delta_{Mc}(\omega), \quad (4.1.11b)$$

$$\text{ve } 0 < G_a'(\omega) < 1 \text{ olduğunda, } |\delta(\omega)| \leq \max\{ |\delta_{Ma}(\omega)|, |\delta_{Mc}(\omega)| \} \quad (4.1.11c)$$

olmaktadır.

**Frekans Bölgesi 2.**  $G_{Ma}(\omega) = G_{Mc}(\omega) = 0$ . Bu frekans bölgesinde,  $G(\omega) = 0$  alınıp ikinci derece terimler de ihmal edilirse, (4.1.8) denklemi şu şekilde yeniden düzenlenebilir.

$$\delta(\omega) \approx G_a'(\omega) \cdot \{ \delta_{Ma}(\omega) - \delta_{Mc}(\omega) \} + \delta_{Mc}(\omega) \quad (4.1.12)$$

$$G_a'(\omega) = 1 \text{ olduğunda, } \delta(\omega) \approx \delta_{Ma}(\omega), \quad (4.1.13a)$$

$$G_a'(\omega) = 0 \text{ olduğunda, } \delta(\omega) \approx \delta_{Mc}(\omega), \quad (4.1.13b)$$

$$\text{ve } 0 < G_a'(\omega) < 1 \text{ olduğunda, } |\delta(\omega)| \leq \max\{ |\delta_{Ma}(\omega)|, |\delta_{Mc}(\omega)| \} \quad (4.1.13c)$$

olmaktadır.

**Frekans Bölgesi 3.** Frekans bölgesi 1 ve 2 dışında kalan frekans bölgelerini içerir. Şekil 4.1.5d'de görülen  $(2m\pi - \theta)/M < \omega < (2(m+1)\pi - \phi)/M$  aralığında,  $G_{Ma}(\omega)$  ve  $G_{Mc}(\omega)$  frekans yanıtları ile  $(2(m-1)\pi + \phi)/M < \omega < (2m\pi - \theta)/M$

aralığında, Şekil 4.1.5f’de görülen  $G_{Ma}(\omega)$  ve  $G_{Mc}(\omega)$  frekans yanıtlarından oluşur. Öncelikle, Şekil 4.1.5d’deki  $G_{Ma}(\omega)$  ve  $G_{Mc}(\omega)$  frekans yanıtları bölgesini içeren durumu ele alalım.

$(2m\pi - \theta)/M < \omega < \omega_{ilet}$  için,  $G(\omega) = G_a'(\omega) = G_{Ma}(\omega) = 1$  ‘dir. İkinci derece terim ihmal edilirse,

$$\delta(\omega) \approx \delta_{Ma}(\omega) + \delta_a'(\omega) \cdot \{ 1 - G_{Mc}(\omega) \} \quad (4.1.14a)$$

$\omega$ , frekans değerleri  $(2m\pi - \theta)/M$  ‘den  $\omega_{ilet}$  frekansına doğru artarken,  $G_{Mc}(\omega)$  birden sıfıra doğru azalır. Bu nedenle  $(2m\pi - \theta)/M < \omega < \omega_{ilet}$  için,

$$|\delta(\omega)| \leq |\delta_{Ma}(\omega)| + |\delta_a'(\omega)| \quad (4.1.14b)$$

$\omega_{dur} < \omega < (2(m+1)\pi - \phi)/M$  için,  $G(\omega) = G_a'(\omega) = G_{Mc}(\omega) = 0$  ‘dır. İkinci derece terim  $\delta_a'(\omega)$ .  $\delta_{Ma}(\omega)$  ihmal edilirse,

$$\delta(\omega) \approx G_{Ma}(\omega) \cdot \delta_a'(\omega) + \delta_{Mc}(\omega) \quad (4.1.15a)$$

$\omega$  frekans değerleri,  $\omega_{dur}$  frekansından  $(2(m+1)\pi - \phi)/M$  frekansına doğru artarken,  $G_{Ma}(\omega)$  birden sıfıra doğru azalır. Bu nedenle  $\omega_{dur} < (2(m+1)\pi - \phi)/M < \omega$  için,

$$|\delta(\omega)| \leq |\delta_{Mc}(\omega)| + |\delta_a'(\omega)| \quad (4.1.15b)$$

(4.1.14b) ve (4.1.15b) ile verilen sınırlar en kötü durumlar için düşünülmüştür [12].

#### 4.1.4 $H_a(\omega)$ Süzgecinin Optimize Edilmesi

$H$  süzgecinin geçiş bandı civarındaki frekanslar için,  $\delta_a'(\omega)$ ,  $\delta_{Ma}(\omega)$  ve  $\delta_{Mc}(\omega)$  ‘nin etkilerini kısmen bastırarak şekilde bir  $R(\omega)$  tasarlanabilir. Ancak tersi doğru değildir. Yani, eğer  $H_a'(\omega)$  önce elde edilirse,  $\delta_a'(\omega)$  ‘nin etkilerini azaltacak şekilde  $H_{Ma}(\omega)$  ve  $H_{Mc}(\omega)$  üretmek mümkün değildir.  $H_a'$  süzgecinin etkin uzunluğu  $(N-1)M+1$  ‘dir ve  $H_{Ma}$  ile  $H_{Mc}$  süzgeçlerinin etkin uzunluklarından çok büyüktür. Bu nedenle,  $H_{Ma}$  ve  $H_{Mc}$  süzgeçleri önce tasarlanmalı, ardından  $\delta_{Ma}(\omega)$  ve  $\delta_{Mc}(\omega)$  ‘nin etkilerini azaltacak şekilde  $H_a'$  tasarlanmalıdır. Ayrıca  $\delta_a'(\omega)$  ‘nin etkili olabilmesi için,  $\delta_{Ma}(\omega)$  ve  $\delta_{Mc}(\omega)$  ‘nin genliklerinin,  $\delta(\omega)$  ‘nin izin verilen en büyük genliğinin % 10 ya da % 15 daha küçüğü olmalıdır.



$\delta_{Ma}(\omega)$  ve  $\delta_{Mc}(\omega)$  'nin etkilerini azaltacak şekilde bir  $R(\omega)$  tasarlamak için,  $\delta(\omega)$  ve  $R(\omega)$  arasında doğrusal bir denklem elde edilmelidir. Bu denklem, (4.1.8) eşitliği yeniden düzenlenerek şu şekilde elde edilebilir.

$$\delta(\omega) = R(M\omega) \cdot \{ G_{Ma}(\omega) + \delta_{Ma}(\omega) - G_{Mc}(\omega) - \delta_{Mc}(\omega) \} + G_{Mc}(\omega) + \delta_{Mc}(\omega) - G(\omega) \quad (4.1.16)$$

(4.1.16) denklemi, Şekil 4.1.5d 'ye karşılık gelen  $(2m\pi - \theta)/M < \omega < (2(m+1)\pi - \phi)/M$  frekans bölgesi ve Şekil 4.1.5f 'e karşılık gelen  $(2(m-1)\pi + \phi)/M < \omega < (2m\pi - \theta)/M$  frekans bölgesini içeren frekanslar için hesaplanmalıdır.  $|\delta(\omega)|$  'nin minimum yapılması bir doğrusal programlama problemidir ve standart matematik programlama paketleri ile çözülebilir. Eğer sınırlı kelime uzunluklu katsayı değerleri gerekli ise, bu kez sınırlı kelime uzunluklu süzgeç tasarım yöntemleri kullanılabilir. Bunun yanında, [6]'de özellikleri açıklanan dalgalanma iyileştirme çalışmasına göre, genel olarak model süzgecin iletim ve durdurma bandlarının normalize dalgalanmalarının en küçüğü seçilir ve bu değer yarısı her iki band için de uygulanır. Bu işlemin amacı, model ve tamamlayıcısının eşit dalgalanmalara sahip olup maskelendikten sonra da arzulanan süzgeç özelliklerine sahip olmasıdır.  $[0, \pi]$  frekans aralığı boyunca sabit bir dalgalanma değeri kullanmak gereksizdir. Dalgalanma değerlerinin yarısı alındığında iletim bandı için gerekli dalgalanma büyüklerinin çok daha küçüğü ve gerekli durdurma bandı zayıflamasının da çok daha büyüğü elde edilir. Daha etkin bir FRM süzgeç elde etmek için her iki maskeleyen süzgecinin başlangıç bölgeleri için gerekli dalgalanma değerinin % 50'si ve geri kalan frekans bölgeleri için % 80-85'i kullanılabilir. Eğer arzulanan kazanç ve dalgalanma ağırlıkları uygun seçilmişse,  $H_d(\omega)$  'nin en uygun hale getirilmesi için Reméz algoritması kullanılabilir. Bu tezde tüm süzgeçlerin tasarımı Reméz algoritması ile yapılmıştır.

#### 4.1.5 Optimum $M$ Faktörünün Seçimi

$M$  ara-değerleme faktörünün en uygun hale getirilmesi için kapalı bir analitik ifade yoktur. Ancak uygun  $M$  değerinin seçimi, tüm  $M$  değerleri için bütün alt-süzgeçlerin karmaşıklığı hesaplanıp en küçük karmaşıklığı veren  $M$  değerinin seçilmesi ile başarılabilir. Tüm süzgecin gerçekleştirilebilmesi için gerekli çarpıcı sayısı [6]'da şu şekilde verilmektedir.

$$\Pi = f(N_a) + f(N_{Ma}) + f(N_{Mc}) \quad (4.1.17)$$

burada,

$$f(x) = \begin{cases} \frac{N}{2} & , x \text{ çift} \\ \frac{N-1}{2} + 1 & , x \text{ tek} \end{cases} \quad (4.1.18)$$

Ayrıca süzgecin etkin uzunluğu ise şu şekilde tanımlanır.

$$N_{Ekin} = M(N_a - 1) + maks(N_{Ma} - 1, N_{Mc} - 1) \quad (4.1.19)$$

Daha açıklayıcı olması için aşağıdaki özelliklere sahip doğrusal fazlı alçak geçiren bir FIR süzgeç tasarlayalım.

$$\text{Örnekleme frekansı : } f_s = 2\pi$$

$$\text{İletim bandı sınırı : } \omega_{ilet} = 0.4\pi$$

$$\text{Durdurma bandı sınırı : } \omega_{dur} = 0.4002\pi$$

$$\text{İletim bandı dalgalanması : } \delta_{ilet\text{dB}} = 0.05 \text{ dB}$$

$$\text{Durdurma bandı } \delta_{dur\text{dB}} = -50 \text{ dB}$$

Yapılması gereken ilk işlem M ara-değerleme faktörünün seçilmesidir. M'in en uygun değerinin belirlenmesi, en az karmaşıklığa sahip süzgece karşılık düşen M değerini bulan basit bir program (*optimumM.m*) ile bulunabilir. Program çıktısı Tablo 4.1.1 ile verilmiştir. Tablo 4.1.1'de tüm alt-süzgeçlerin band sınırları ve gerekli en küçük uzunlukları verilmektedir.

$$m = \lfloor \omega_{ilet} M / (2\pi) \rfloor = 0.4 \times \pi \times 51 / (2 \times \pi) = 10$$

$$\theta = \omega_{ilet} M - 2m\pi = 0.4 \times \pi \times 51 - 2 \times 10 \times \pi = 0.4\pi = 1.2566$$

$$\phi = \omega_{dur} M - 2m\pi = 0.4 \times \pi \times 51 - 2 \times 10 \times \pi = 0.4\pi = 1.2566$$

Süzgeç Boyunu Minimize Eden M Değerinin Tahmini											
M	Durum	theta	phi	wpMa	wsMa	wpMc	wsMc	Nf	NmA	NmC	Carp. Sayısı
3	2	0.7994	0.8000	0.2667	0.4002	0.4000	0.9331	10150	40	10	5103
4	2	0.3992	0.4000	0.1000	0.4002	0.4000	0.5998	7612	18	26	3831
5	0	0.0000	0.0000	0.0000	0.0000	0.0000	0.0000	0	0	0	0
6	1	0.4000	0.4012	0.4000	0.5998	0.2667	0.4002	5074	27	39	2573
7	1	0.8000	0.8014	0.4000	0.4569	0.1714	0.4002	4350	94	24	2237
8	2	0.7984	0.8000	0.3500	0.4002	0.4000	0.5998	3806	107	27	1973
9	2	0.3982	0.4000	0.2667	0.4002	0.4000	0.4887	3384	40	60	1745
10	0	0.0000	0.0000	0.0000	0.0000	0.0000	0.0000	0	0	0	0
11	1	0.4000	0.4022	0.4000	0.5089	0.3273	0.4002	2768	49	73	1448
12	1	0.8000	0.8024	0.4000	0.4331	0.2667	0.4002	2538	161	39	1372
13	2	0.7974	0.8000	0.3692	0.4002	0.4000	0.5229	2342	173	43	1282
14	2	0.3972	0.4000	0.3143	0.4002	0.4000	0.4569	2174	63	93	1168
15	0	0.0000	0.0000	0.0000	0.0000	0.0000	0.0000	0	0	0	0
16	1	0.4000	0.4032	0.4000	0.4748	0.3500	0.4002	1904	72	106	1044
17	1	0.8000	0.8034	0.4000	0.4233	0.3059	0.4002	1792	229	57	1042
18	2	0.7964	0.8000	0.3778	0.4002	0.4000	0.4887	1692	238	60	998
19	2	0.3962	0.4000	0.3368	0.4002	0.4000	0.4419	1602	85	127	910
20	0	0.0000	0.0000	0.0000	0.0000	0.0000	0.0000	0	0	0	0
21	1	0.4000	0.4042	0.4000	0.4569	0.3619	0.4002	1450	94	140	845
22	1	0.8000	0.8044	0.4000	0.4180	0.3273	0.4002	1384	297	73	880
23	2	0.7954	0.8000	0.3826	0.4002	0.4000	0.4694	1324	303	77	855
24	2	0.3952	0.4000	0.3500	0.4002	0.4000	0.4331	1268	107	161	771
25	0	0.0000	0.0000	0.0000	0.0000	0.0000	0.0000	0	0	0	0
26	1	0.4000	0.4052	0.4000	0.4460	0.3692	0.4002	1172	116	172	733
27	1	0.8000	0.8054	0.4000	0.4146	0.3407	0.4002	1128	365	89	794
28	2	0.7944	0.8000	0.3857	0.4002	0.4000	0.4569	1088	368	94	778
29	2	0.3942	0.4000	0.3586	0.4002	0.4000	0.4274	1050	129	195	690
30	0	0.0000	0.0000	0.0000	0.0000	0.0000	0.0000	0	0	0	0
31	1	0.4000	0.4062	0.4000	0.4385	0.3742	0.4002	982	139	205	666
32	1	0.8000	0.8064	0.4000	0.4123	0.3500	0.4002	952	434	106	749
33	2	0.7934	0.8000	0.3879	0.4002	0.4000	0.4483	922	433	111	736
34	2	0.3932	0.4000	0.3647	0.4002	0.4000	0.4233	896	151	229	641
35	0	0.0000	0.0000	0.0000	0.0000	0.0000	0.0000	0	0	0	0
36	1	0.4000	0.4072	0.4000	0.4331	0.3778	0.4002	846	161	237	625
37	1	0.8000	0.8074	0.4000	0.4106	0.3568	0.4002	822	503	123	727
38	2	0.7924	0.8000	0.3895	0.4002	0.4000	0.4419	802	497	127	716
39	2	0.3922	0.4000	0.3692	0.4002	0.4000	0.4203	780	173	263	611
40	0	0.0000	0.0000	0.0000	0.0000	0.0000	0.0000	0	0	0	0
41	1	0.4000	0.4082	0.4000	0.4291	0.3805	0.4002	742	184	270	601
42	1	0.8000	0.8084	0.4000	0.4093	0.3619	0.4002	724	572	140	721
43	2	0.7914	0.8000	0.3907	0.4002	0.4000	0.4370	708	561	145	710
44	2	0.3912	0.4000	0.3727	0.4002	0.4000	0.4180	692	195	297	595
45	0	0.0000	0.0000	0.0000	0.0000	0.0000	0.0000	0	0	0	0
46	1	0.4000	0.4092	0.4000	0.4259	0.3826	0.4002	662	206	302	588
47	1	0.8000	0.8094	0.4000	0.4083	0.3660	0.4002	648	642	156	726
48	2	0.7904	0.8000	0.3917	0.4002	0.4000	0.4331	634	625	161	713
49	2	0.3902	0.4000	0.3755	0.4002	0.4000	0.4161	622	216	330	587
50	0	0.0000	0.0000	0.0000	0.0000	0.0000	0.0000	0	0	0	0
51	1	0.4000	0.4102	0.4000	0.4233	0.3843	0.4002	598	229	335	584
52	1	0.8000	0.8104	0.4000	0.4075	0.3692	0.4002	586	712	172	738
53	2	0.7894	0.8000	0.3925	0.4002	0.4000	0.4300	574	688	178	723
54	2	0.3892	0.4000	0.3778	0.4002	0.4000	0.4146	564	238	364	586
55	0	0.0000	0.0000	0.0000	0.0000	0.0000	0.0000	0	0	0	0
56	1	0.4000	0.4112	0.4000	0.4212	0.3857	0.4002	544	252	368	585

**Tablo 4.1.1** M ara-değerleme faktörünün tahmini

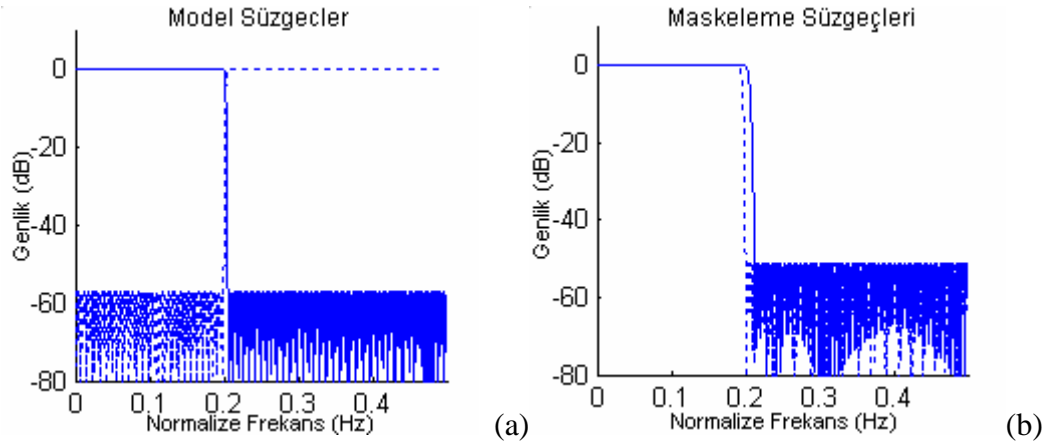
Süzgeç Boyunu Minimize Eden M Değerinin Tahmini											
M	Durum	theta	phi	wpMa	wsMa	wpMc	wsMc	Nf	NmA	NmC	Carp. Sayısı
57	1	0.8000	0.8114	0.4000	0.4068	0.3719	0.4002	534	782	188	755
58	2	0.7884	0.8000	0.3931	0.4002	0.4000	0.4274	524	752	194	738
59	2	0.3882	0.4000	0.3797	0.4002	0.4000	0.4134	516	260	398	590
60	0	0.0000	0.0000	0.0000	0.0000	0.0000	0.0000	0	0	0	0
61	1	0.4000	0.4122	0.4000	0.4195	0.3869	0.4002	500	274	400	590
62	1	0.8000	0.8124	0.4000	0.4063	0.3742	0.4002	492	853	205	778
63	2	0.7874	0.8000	0.3937	0.4002	0.4000	0.4252	484	814	212	758
64	2	0.3872	0.4000	0.3813	0.4002	0.4000	0.4123	476	282	434	599
65	0	0.0000	0.0000	0.0000	0.0000	0.0000	0.0000	0	0	0	0
66	1	0.4000	0.4132	0.4000	0.4180	0.3879	0.4002	462	297	433	599
67	1	0.8000	0.8134	0.4000	0.4058	0.3761	0.4002	454	924	222	803
68	2	0.7864	0.8000	0.3941	0.4002	0.4000	0.4233	448	877	229	780
69	2	0.3862	0.4000	0.3826	0.4002	0.4000	0.4114	442	303	467	609
70	0	0.0000	0.0000	0.0000	0.0000	0.0000	0.0000	0	0	0	0
Secilen optimum M = 51											
Optimum Süzgeç Uzunlukları											
Optimum Nf = 598											
Optimum NmA = 229											
Optimum NmC = 335											
Minimum Carpıcı Sayısı = 584											

**Tablo 4.1.1** M ara-değerleme faktörünün tahmini (devam)

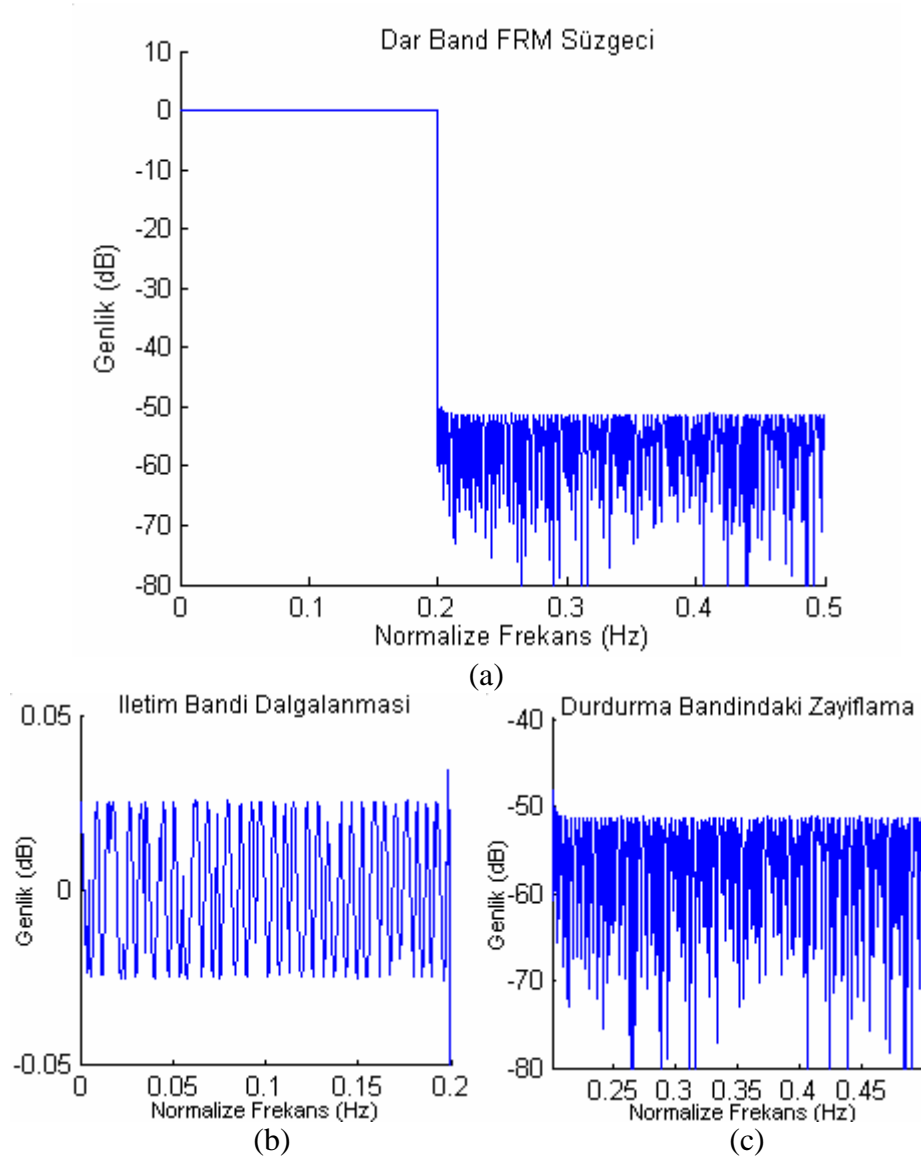
Band sınırı şekillendiren süzgeç için gerekli minimum süzgeç uzunluğu 599'dur.  $M_a$  süzgeci ve  $M_c$  süzgeci için gerekli minimum süzgeç uzunlukları ise sırasıyla 229 ve 335'dir.

Oluşturulan model süzgeç ve tamamlayıcısı Şekil 4.1.6(a) ile verilmiştir. Maskeleme süzgeçleri ise Şekil 4.1.6(b)'de görülmektedir. Tez boyunca kesikli çizgilerle gösterilen süzgeçler tamamlayıcı süzgeç ve  $M_c$  süzgecidir.

Tasarlanılması istenen tüm süzgecin frekans cevabı ve bu süzgecin iletim bandı dalgalanması ile durdurma bandı bastırması Şekil 4.1.7'de incelenebilir.



**Şekil 4.1.6** Model Süzgeçler ve Maskeleme Süzgeçleri



**Şekil 4.1.7** (a) Arzulanan süzgecin frekans cevabı, (b) İletim bandı dalgalanması (c) Durdurma bandı bastırması

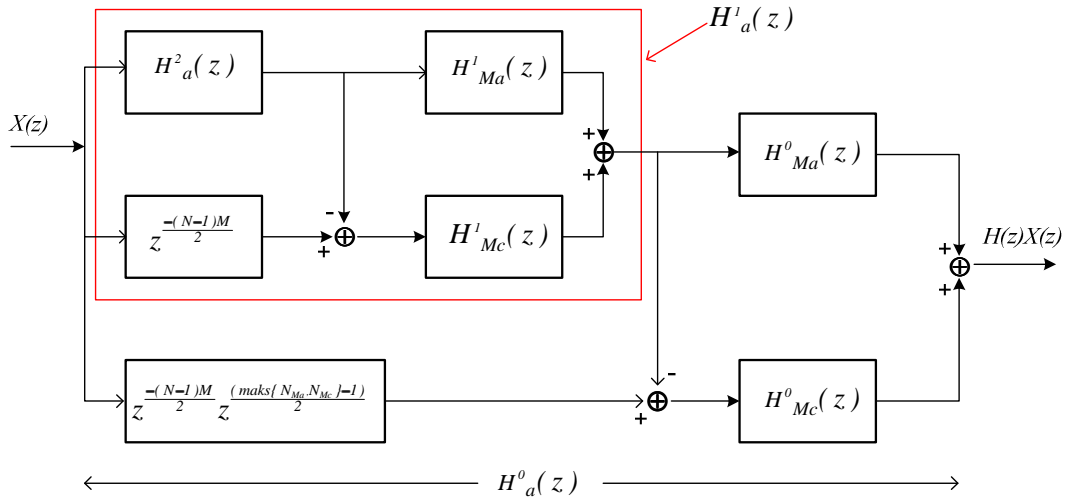
(*FRM\_Kat1.m*) dosyası çıktısı yandaki gibi oluşmuştur.

En büyük iletim bandı dalgalanması : 0.034051 dB  
 En küçük iletim bandı dalgalanması : -0.026403 dB  
 En küçük durdurma bandı bastırması : -50.195531 dB  
 nM nin optimum degeri 51 dir  
 thetaA = 0.400000 ( $\pi$ )  
 phiA = 0.410200 ( $\pi$ )  
 thetamA = 0.400000 ( $\pi$ )  
 phimA = 0.423329 ( $\pi$ )  
 thetamC = 0.384314 ( $\pi$ )  
 phimC = 0.400200 ( $\pi$ )  
 Remez Süzgeç için gerekli süzgeç uzunluğu 24116 dir  
 mA süsgecinin uzunluğu 230 dir  
 mC süsgecinin uzunluğu 336 dir  
 A süsgecinin uzunluğu 601 dir  
 Toplam Süzgecin uzunlugu  $Ma+Mc+Fa = 229 + 335 + 599 = 1163$   
 Süzgecin Etkin Uzunluğu  $= (599-1)51+335 = 30833$

**Tablo 4.1.2** *FRM\_Kat1.m* programı çıktısı

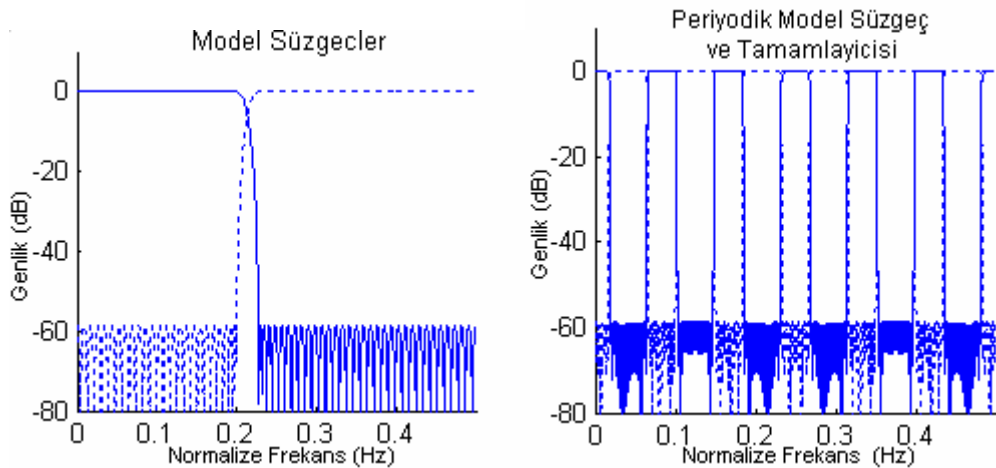
#### 4.1.6 Yüksek Katlı FRM Yapısı

Alt-süzgeçler  $H_a$ ,  $H_{Ma}$  ve  $H_{Mc}$ 'nin karmaşıklıklarını azaltmak için daha yüksek katlı FRM yapıları kullanılabilir. Tablo 4.1.1'de verilen değerler ele alındığında, tek-katlı FRM yapısı yerine iki-katlı FRM yapısı kullanılırsa, daha az karmaşıklığa sahip bir süzgeç elde edilebilir. Örneğin  $M = 23$  alınırsa,  $H_a$  süzgeci için gerekli süzgeç uzunluğu 1324'tür. Bu  $H_a$  süzgeci, FRM tekniği kullanılarak bir alt-süzgeçler sistemi ile elde edilebilir. Bu sistemi gerçekleyecek 2-katlı FRM yapısı Şekil 4.1.8 ile verilmiştir.

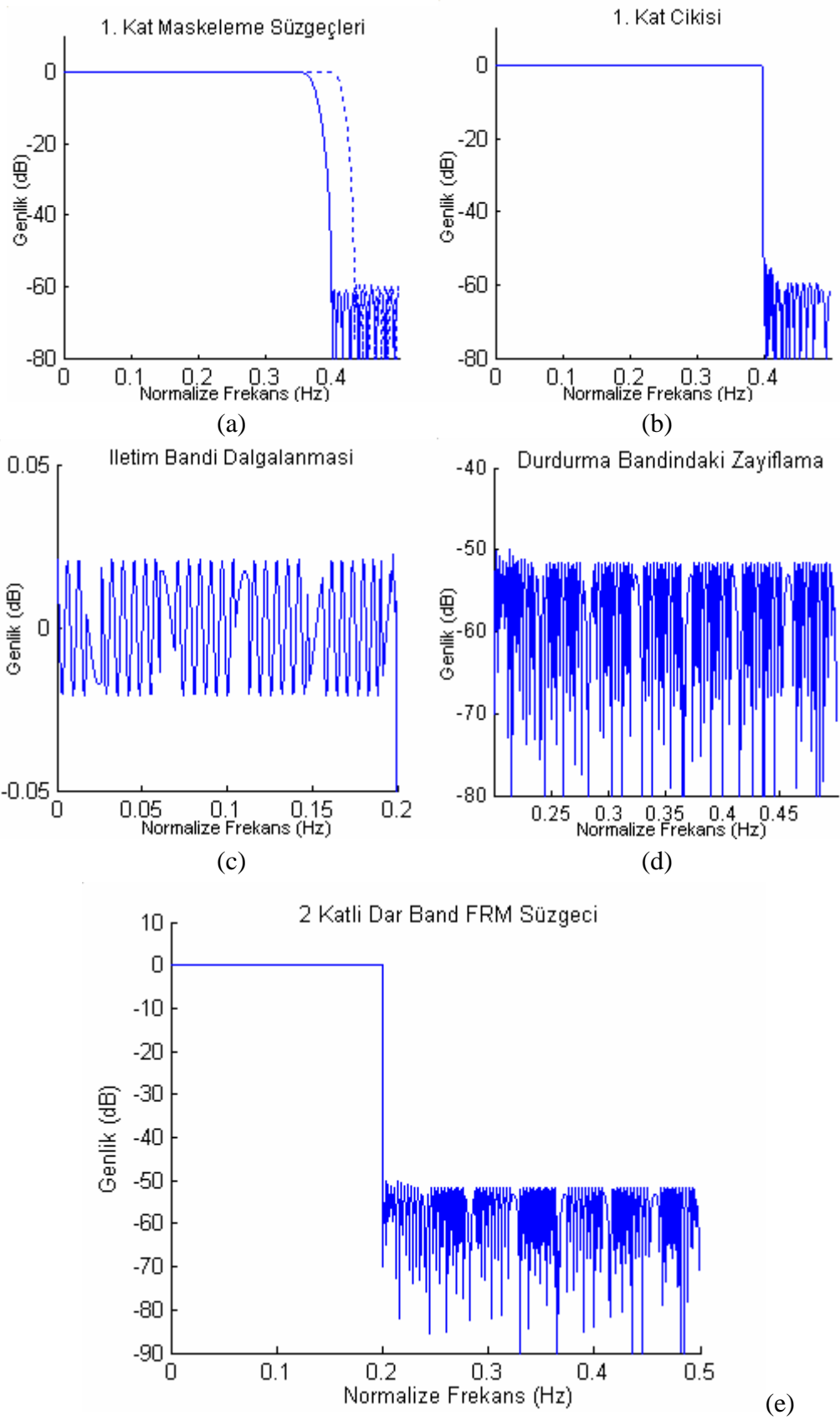


Şekil 4.1.8 2-Katlı FRM yapısı

2-Katlı FRM yapısında  $H_a(z)$  süzgeci,  $H^1_a(z)$  yapısı ile yer değiştirilmiştir.  $H^2_a(z)$ ,  $H^1_{Ma}(z)$  ve  $H^1_{Mc}(z)$  süzgeçlerinin uzunlukları sırasıyla 117, 73 ve 93'tür. Buna karşılık  $H^0_{Ma}(z)$  ve  $H^0_{Mc}(z)$  süzgeçleri uzunlukları sırasıyla 310 ve 84'tür. Tüm süzgeç için gereken toplam süzgeç uzunluğu ise 677'dir.



Şekil 4.1.9 2-Katlı FRM yapısı için model ve band sınırı şekillendiren süzgeçler



**Şekil 4.1.10** 2-Katlı FRM yapısında (a) Maskeleye süzgeçleri (b) 1. Kat çıkışı (c) İletim bandı dalgalanması (d) Durdurma bandı bastırması (e) 2-Katlı FRM süzgecinin frekans cevabı

(FRM\_Kat2.m) dosyası  
çıktısı yandaki gibi  
oluşmuştur.

1. kat Ha1 uzunluğu	= 117
1. kat Hma1 uzunluğu	= 73
1. kat Hmc1 uzunluğu	= 93
1. kat Çıkış Etkin uzunluğu	= 1477
2. kat Hma2 uzunluğu	= 310
2. kat Hmc2 uzunluğu	= 84
Toplam Suzgec uzunluğu	= Ha1+Ma1+Mc1+Ma2+Mc2 = 117 + 73 + 93 + 310 + 84 = 677
Süzgecin Etkin Uzunluğu	= ((117-1)12+93)23+310 = 34465
Bulunan ilk optimum M=	51
Secilen M=	23
Mopt2=	12
En büyük iletim bandı dalgalanması	0.022605
En küçük iletim bandı dalgalanması	-0.020893
En küçük durdurma bandı bastırması	-50.043889

**Tablo 4.1.3** FRM\_Kat2.m programı çıktısı



## 4.2 Optimum Çok-Katlı FRM Tasarımı

Geleneksel FRM tekniği birçok doğrusal fazlı FIR süzgeç tasarımı uygulamaları için en kullanışlı yöntemdir. Ancak, bu tekniği daha da kullanışlı hale getirmek için, hangi tür uygulamalarda kullanılabileceği, hangi geçiş bandı genişlikleri için etkili olacağı ve de sonuçta yararlı olabilirliği için bir ölçüt koymak gerekmektedir. FRM tekniği, bazı yaklaşımlar ve yaklaşıklıklar kullanılarak hangi koşullar altında etkili olacağı, istenilen süzgeci elde etmek için kaç katlı bir FRM yapısının kullanılması gerektiği ve her kat için en uygun ara-değerleme faktörü bulunarak optimum hale getirilmiştir.

Geçiş band genişliği  $\beta f_s$  olan alçak geçiren bir süzgecin optimum (reméz) uzunluğu  $N_0$ , yaklaşık olarak şöyle ifade edilir [5].  $f_s$ , örnekleme frekansıdır.

$$N_0 = \frac{\Phi_1(\delta_1, \delta_2)}{\beta} - \Phi_1(\delta_1, \delta_2) \cdot \beta + 1 \quad (4.2.1)$$

Burada  $\delta_1$ , iletim bandı dalgalanması ve  $\delta_2$ , durdurma bandı dalgalanmasıdır.  $\Phi_1(\delta_1, \delta_2)$  ve  $\Phi_2(\delta_1, \delta_2)$  ifadeleri Ek-A'da verilmiştir.  $\beta$  ise reel bir değişkendir.  $\beta \leq 0.2$  değerleri için ilk terim daha baskın olur ve diğerleri ihmal edilebilir [14].

$$N_0 = \frac{\Phi_1(\delta_1, \delta_2)}{\beta} \quad , \beta \leq 0.2 \quad (4.2.2)$$

Genel olarak,  $N_0$  uzunluklu bir süzgeç,  $N_0$  adet katsayıya sahiptir. Ancak bunların sadece % 50'si bilgi taşır.  $N_0$  ya da  $N_0/2$  tane çarpıcı kullanılacağı uygulama şemasına bağlıdır. Bu nedenle gerekli çarpıcı sayısını  $L_0$  ile gösterelim.

$$L_0 \approx \frac{\alpha \cdot \Phi_1(\delta_1, \delta_2)}{\beta} \quad (4.2.3)$$

Eğer çarpıcı sayısı  $N_0$  ise,  $\alpha = 1$  alınır, eğer  $N_0/2$  adet çarpıcı gerekliyse bu kez  $\alpha = 1/2$  alınır.

FRM tekniği kullanıldığında,  $H_a(z)$ 'nin tepe dalgalanma büyüklüğü,  $H(z)$ 'nin izin verilen en büyük tepe genliğinden küçük olmalıdır.  $H_a(z^M)$  daha sonra  $H_{Ma}(z)$  ile kaskad bağlanacağından, bu iki süzgecin dalgalanmaları toplamı yaklaşık olarak  $H(z)$ 'nin dalgalanmasına eşit olacaktır. Ancak bunun süzgeç uzunluğunun

belirlenmesi üzerinde çok önemli bir etkisi yoktur. Süzgeç uzunluğunun belirlenmesi dalgalanma büyüklüğünden çok geçiş bandı genişliğine bağlıdır. Ayrıca,  $H_a(z^M)$ 'nin dalgalanması kısmen  $H_{Ma}(z)$  ve  $H_{Mc}(z)$  dalgalanmaları ile azaltılabilir. Bu nedenle, ilk olarak dalgalanmaların azaltılmasından çok yararlı sonuçlar elde etmemizi sağlayacak bazı yaklaşımlar üzerinde durulacaktır.  $H_a(z)$  ve  $H_a(z^M)$  arasındaki ilişki esas alındığında  $H_a(z)$ 'nin gerçekleşmesi için gerekli çarpıcı sayısı  $L_a$  şu şekilde ifade edilebilir.

$$L_a \approx \frac{L_0}{M} \quad (4.2.4)$$

Ara-değerleme süzgeçleri  $H_{Ma}(z)$  ve  $H_{Mc}(z)$  karmaşıklığı onların band sınırlarına bağlıdır. Orijinal FRM yapısından da görülebileceği gibi  $H_{Ma}(z)$  ve  $H_{Mc}(z)$ 'nin geçiş band genişlikleri toplamı  $2\pi/M$ 'dir.  $L_{Ma}$  ve  $L_{Mc}$  sırasıyla,  $H_{Ma}(z)$  ve  $H_{Mc}(z)$  süzgeçlerinin ihtiyaç duydukları çarpıcı sayısı olsun. Burada süzgeç uzunluğunun, geçiş band genişliği ile ters orantılı olduğu ve  $H_{Ma}(z)$  ve  $H_{Mc}(z)$ 'nin geçiş bandı genişliklerinin toplamının  $2\pi/M$  olduğu gerçeği kullanılarak aşağıdaki sonuç elde edilebilir [15].

$$L_{Ma} + L_{Mc} \propto \frac{1}{\Lambda} + \frac{1}{\frac{2\pi}{M} - \Lambda} \quad (4.2.5)$$

$\Lambda$ ,  $H_{Ma}(z)$  süzgecinin geçiş bandı genişliğidir.  $L_{Ma}$  ve  $L_{Mc}$  toplamının  $\Lambda$ 'a göre türevi alınıp sıfıra eşitlenirse,  $\Lambda$  için şu çözüm bulunur.

$$\Lambda = \frac{\pi}{M} \quad (4.2.6)$$

$H_{Mc}(z)$  süzgecinin geçiş band genişliği  $2\pi/M - 2\pi/M = 2\pi/M$  olarak bulunur. Bu sonuçla,  $L_{Ma}$  ve  $L_{Mc}$  toplamının minimum değeri için  $H_{Ma}(z)$ 'nin geçiş band genişliği  $H_{Mc}(z)$ 'nin geçiş band genişliğine eşittir ve böylece,

$$L_{Ma} = L_{Mc} \quad (4.2.7)$$

$H_{Ma}(z)$  ve  $H_{Mc}(z)$ 'nin gerçek band sınırları,  $H(z)$ 'nin gerçek band sınırları kullanılarak belirlenir. Bu nedenle, minimum karmaşıklık için  $L_{Ma} \approx L_{Mc}$  ( $L_{Ma} = L_{Mc}$  yerine) alınabilir [14].  $H_{Ma}(z)$  (ya da uygun  $H_{Mc}(z)$ ) süzgecinin iletim bandı tepe

dalgalanmasının yaklaşık olarak  $H(z)$  süzgecinin ile aynı olduğunu varsayalım. Sonuçta,

$$L_{Ma} \approx L_{Mc} \approx 2M\beta L_0 \quad (4.2.8)$$

Buna bağlı olarak süzgecin tasarlanması için gerekli toplam çarpıcı sayısı,  $L$  için uygun ifade şu şekilde yazılabilir.

$$L = L_a + L_{Ma} + L_{Mc} \approx \left( \frac{1}{M} + 4M\beta \right) \cdot L_0 \quad (4.2.9)$$

$L$  ifadesinin  $M$ 'ye göre türevi alınıp sıfıra eşitlenirse,

$$M_{\text{opt}} \approx \frac{1}{2\sqrt{\beta}} \quad (4.2.10)$$

eşitliği elde edilir.  $M_{\text{opt}}$ , minimum karmaşıklık elde etmek için kullanılması gereken  $M$  değeridir. Görüldüğü gibi  $M_{\text{opt}}$   $\alpha$ 'a bağlı bir fonksiyon değildir. Bu da gösterir ki, uygulamada kullanılan dürtü yanıtının simetri özelliğinden bağımsızdır. Minimum karmaşıklık için, toplam çarpıcı sayısı  $L_{\text{min}}$ ,

$$L_{\text{min}} = 4L_0\sqrt{\beta} \quad (4.2.11)$$

(4.2.2) ve (4.2.11) denklemlerinden,

$$L_{\text{min}} \approx \frac{4 \alpha \Phi_1(\delta_1, \delta_2)}{\sqrt{\beta}} \quad (4.2.12)$$

(4.2.12) denkleminde, 1-katlı maskeleme için süzgeç karmaşıklığı, geçiş bandı genişliğinin karekökü ile ters orantılıdır. Buradan, FRM tekniğinin dar geçiş bandlı süzgeçlerde daha etkili olduğu çıkarımı yapılabilir. FRM tekniğinin etkili olması için gerekli süzgeç uzunlukları ya da karmaşıklık  $L_{\text{min}} = L_0$  noktasında başlar [14]. Bu noktada  $\beta = \beta_b$  alınmıştır.  $\beta_b$  (4.2.11) denkleminde kolaylıkla bulunabilir.

$$\beta_b \approx \frac{1}{16} \approx 0.063 \quad (4.2.13)$$

Burada,  $\beta_b$ ,  $\alpha$ ,  $\delta_1$ ,  $\delta_2$  'den bağımsızdır. Sonuç olarak, tasarlanacak süzgecin geçiş bandı genişliği  $0.063f_s$  'den daha küçük olduğunda, FRM tekniği bu süzgeç için gerekli çarpıcı sayısında bir kazanç sağlar. Üstte yapılan türetmede,  $H_{Ma}(z)$  ve  $H_{Mc}(z)$  süzgeçlerinin geçiş band genişlikleri yaklaşık olarak aynı varsayılmıştır. Ancak  $H_{Ma}(z)$  ve  $H_{Mc}(z)$ 'nin band sınırları,  $M$  değerinden ve  $H(z)$  süzgecinin band sınırlarından belirlendiği için,  $M = M_{opt}$  olduğunda,  $H_{Ma}(z)$ 'nin geçiş bandı genişliğini yaklaşık olarak  $H_{Mc}(z)$ 'nin geçiş bandı genişliğine eşit olması sadece bir tesadüftür [14]. Yine de,  $H_{Ma}(z)$ 'nin geçiş bandı genişliğinin yaklaşık olarak  $H_{Mc}(z)$ 'nin geçiş bandı genişliğine eşit olacak şekilde,  $M$  değerlerini  $M_{opt}$  civarında çeşitlendirmek olasıdır. Sonuç olarak,  $L$ 'nin  $M$ 'e göre duyarlılığını bilmek yararlı olacaktır.  $M = M_{opt}$  noktasında  $L$ 'nin  $M$ 'e göre ikinci türevi,

$$\left. \frac{d^2 L}{dM^2} \right|_{M=M_{opt}} \approx 16.\beta^{3/2} \quad (4.2.14)$$

$\beta$  çok küçük bir değer olduğundan, ikinci türev de çok küçük bir değere sahiptir.  $\beta$  değerinin çok küçük olmaması durumunda FRM tekniğini kullanmamızın bir anlamı da olmazdı. Bu nedenle,  $M = M_{opt}$  için  $L$ 'nin  $M$ 'e göre duyarlılığı küçüktür.  $L$ 'nin  $M$ 'in büyük değişimlerine olan duyarlılığının incelenmesi için,  $M = 2M_{opt}$  ve  $M = 0.5M_{opt}$  değerleri (4.2.9) denkleminde yerine koyulursa, her iki  $M$  değeri için de  $L = 1.25L_{min}$  olarak elde edilir.  $M$  değeri 2 kat arttırıldığında ya da azaltıldığında  $L$  değeri sadece % 25 yükselir. Buradan  $L$ 'nin  $M$ 'in büyük değişimlerine olan duyarlılığının çok küçük olduğu görülebilir.

Bir süzgecin özelliklerini anlamak için kullanılan biri de etkin süzgeç uzunluğu  $N_{etkin}$ 'dir. Grup gecikmesinin  $(N_{etkin} - 1)/2$  olduğundan,  $N_{etkin}$ 'in küçük olması istenir. FRM süzgecinin etkin süzgeç uzunluğu,

$$N_{etkin} \approx \left(1 + \frac{M}{M_{opt}} \sqrt{\beta}\right) N_0 \quad (4.2.15)$$

$\beta$  çok küçük olduğundan, etkin süzgeç uzunluğu  $N_0$ 'dan çok az büyüktür.  $M = M_{opt}$  olduğunda,  $N_{etkin} \approx (1 + \beta)N_0$  'dır.  $L_{Ma} \approx L_{Mc}$  denklemini sağlamak için, çoğu durumda  $M$ ,  $M_{opt}$  değerine eşit olacak şekilde seçilmez. Eğer aynı karmaşıklığı üreten iki  $M$  değeri varsa, etkin uzunluğu daha küçük olan  $M$  değeri seçilir.

### 4.2.1 Optimum Süzgecinin Tasarımı

Eğer  $H_a(z)$  süzgecinin derecesi çok yüksek ise,  $H_a(z)$ 'nin karmaşıklığını azaltmak için FRM tekniği kullanılabilir. Bu teknik birden fazla kat kullanılarak tasarlanabildiğinden, çok-katlı FRM tekniğini daha iyi anlayabilmek için, aşağıdaki alt-süzgeç ilişkisi tanımlanmalıdır.

$$H_a^i(z) = H_a^{i+1}(z).H_{Ma}^i(z) + H_c^{i+1}(z).H_{Mc}^i(z) \quad (4.2.16)$$

$H_c^i(z)$ ,  $H_a^i(z)$  süzgecinin tamamlayıcısıdır.  $H_{Ma}^i(z)$  ve  $H_{Mc}^i(z)$  ara-değerleyicilerdir.  $H_a^0(z)$  ise sistemin tümüdür.

$i$ . katta, prototip süzgecin her gecikme elemanı,  $M_1M_2\dots M_i$  gecikme elemanı ile yer değiştirilir. Şekil 4.2.4 ile  $K$ -katlı bir FRM yapısı verilmiştir. Bir önceki bölümde kabul edilen varsayımlara dayanarak, uygulama için gerekli toplam çarpıcı sayısı  $L(K)$ ,

$$L(K) = \frac{L_0}{\prod_{i=1}^K M_i} + 4\beta L \sum_{i=1}^K M_i \quad (4.2.17)$$

$L(K)$ 'nin  $M_i$ ,  $i = 1, 2, \dots, K$  değerlerine göre parçalı türevleri alınıp sıfıra eşitlenirse,  $L(K)$ ,  $M_1=M_2=\dots=M_K=M_{opt}(K)$  olduğunda minimum olur.

$$M_{opt} = (4\beta)^{\frac{-1}{(K+1)}} \quad (4.2.18)$$

1-katlı FRM yapısında olduğu gibi,  $K$ -katlı tasarımda da  $M_{opt}(K)$  değeri iletim ve durdurma bandı dalgalanmalarından bağımsızdır.  $L_{min}(K)$  ile gösterilen  $L(K)$ 'nin minimum değeri,

$$\begin{aligned} L_{min}(K) &\approx (M_{opt}^{-K}(K) + 4\beta KM_{opt}(K))L_0 \\ &\approx (K+1).4^{K/(K+1)}. \frac{\alpha \Phi(\delta_1, \delta_2)}{\beta^{1/(K+1)}} \end{aligned} \quad (4.2.19)$$

Bu nedenle, süzgecin karmaşıklığı  $\beta$ 'nin  $(K+1)$ . Kökü ile ters orantılıdır. 1-katlı FRM yapısında  $\beta < 1/16$  için  $L_{min}$  değerinin  $L_0$  değerinden küçük olduğu görülmüştü. Bu kez hangi koşullar altında 2-katlı FRM yapısının, 1-katlı olandan daha az karmaşık olacağını bilmek yararlı olacaktır. Genel olarak,  $(K+1)$ -katlı FRM tasarımının,  $K$ -katlı FRM tasarımından daha az karmaşık olmasını sağlayan koşulu bilmek daha

yaralı olacaktır. (4.2.19) denklemini değiştirilerek  $(K+1)$ -katlı tasarımın  $K$ -katlı tasarımdan daha az karmaşık olduğu durumun,  $\beta < \beta_b(K)$ ,

$$\beta_b(K) \approx \frac{1}{4} \cdot \left(\frac{K+1}{K+2}\right)^{(K+1)/(K+2)} \quad (4.2.20)$$

$\beta_b(K)$ ,  $\delta_1$ ,  $\delta_2$ , ve  $\alpha$  değişkenlerinden bağımsızdır.  $\beta_b(K)$ 'nın  $K = 0, 1, \dots, 9$  için değerleri Tablo 4.2.1 ile verilmiştir.

$K$	$B_b(K)$	$K$	$B_b(K)$
0	0.063	5	0.00039
1	0.022	6	0.00014
2	0.0079	7	0.000052
3	0.0029	8	0.000019
4	0.0011	9	0.0000070

**Tablo 4.2.1**  $K = 1, 2, \dots, 9$  için  $\beta(K)$  değerleri

(4.2.20) denklemini,  $K$ 'nın uygun değerlerinin aşağıdaki şartı sağlaması gerektiği göstermektedir.

$$\beta_b(K) \leq \beta \leq \beta_b(K-1) \quad (4.2.21)$$

Bu kısıtlama aşağıdaki sınırlamayı da beraberinde yaratır.

$$\left(\frac{K+1}{K}\right)^K \leq M_{opt}(K) \leq \left(\frac{K+2}{K+1}\right)^{K+2} \quad (4.2.22)$$

$\left(\frac{K+1}{K}\right)^K$  değeri  $K = 1$  için 2'den,  $K = \infty$  için  $e$ 'ye (doğal logaritma) doğru artar.  $\left(\frac{K+2}{K+1}\right)^{K+2}$  değeri ise  $K = 1$  için 3.4'ten,  $K = \infty$  için  $e$ 'ye doğru azalır. Böylece, verilen bir  $\beta$  değeri için uygun  $K$  değeri (3.2.21) denklemini ve  $M_{opt}(K)$  değeri de (3.2.19) denklemini ile hesaplanabilir. Bu nedenle  $L_{min}(K)$ ,  $\beta$ ,  $\delta_1$ ,  $\delta_2$ , cinsinden yazılabilir.

$$L_{min}(\beta, \delta_1, \delta_2) \approx \xi(\beta) \cdot \alpha \cdot \Phi(\delta_1, \delta_2) \quad (4.2.23)$$

$\xi(\beta)$  değerleri Tablo 3.2.2 ile verilmiştir.

$\beta$	$K$	$\xi(\beta)$	$\beta$	$K$	$\xi(\beta)$
0.063–0.022	1	$4.00 / \beta^{1/2}$	0.00037 – 0.00014	6	$22.97 / \beta^{1/7}$
0.022–0.0079	2	$7.56 / \beta^{1/3}$	0.00014 – 0.000052	7	$26.91 / \beta^{1/8}$
0.0079–0.0029	3	$11.31 / \beta^{1/4}$	0.000052 – 0.000019	8	$30.86 / \beta^{1/9}$
0.0029 – 0.0011	4	$15.16 / \beta^{1/5}$	0.000019 – 0.000007	9	$34.82 / \beta^{1/10}$
0.0011 – 0.00039	5	$19.05 / \beta^{1/6}$	0.000007 – 0.0000047	1	$38.79 / \beta^{1/11}$

**Tablo 3.2.2**  $\xi(\beta)$  fonksiyonu deęerleri

Üstteki tüm ifadeler iki varsayım üzerine kuruludur. Birincisi, her alt-süzgecin uzunluğu  $\Phi_1(\delta_1, \delta_2)$ /(alt süzgecin geçiř bandı geniřlięi) ile verilir. Bu varsayımın aslında yanlıř olduęu açıktır, çünkü süzgeçler kaskad baęlanmaktadır. Bu nedenle, her bir süzgeç daha sıkı bir kořula baęlı olmalı ve Reméz süzgeç yapısını saęlamalıdır. Bu sıkı kořulun, tüm iletim ve durdurma bandlarına uygulanması gereksizdir. Sadece geçiř bandı etrafındaki iletim ve durdurma bandlarında geçerli olması yeterlidir.

İkincisi varsayımda ise,  $H_{Ma}^i(z)$ 'nin karmařıklıęı yaklaşık olarak  $H_{Mc}^i(z)$ 'nin karmařıklıęı ile aynıdır. Daha önceden de söylendięi gibi bu sadece bir rastlantıdır. Bu nedenle, analiz iřlemi sırasında  $H_{Ma}^i(z)$ 'nin karmařıklıęının yaklaşık olarak  $H_{Mc}^i(z)$ 'nin karmařıklıęı ile aynı olması gerektięi kısıtlamasını saęlayacak şekilde,  $M_i$  deęerleri  $M_{opt}(K)$  civarında seçilmelidir. Bir çok durumda,  $M_{opt}(K)$  civarında üstteki kısıtlamayı saęlayan çok sayıda  $M_i$  deęeri bulunabilir. Buna baęlı olarak, uygun  $M_i$  deęerini bulmak için bir strateji geliřtirmek gereklidir. (4.2.23) denkleminde,  $H_a^{i+1}(z)$ 'nin gerçekenmesi için tahmin edilen gerekli karmařıklık  $\xi(\beta_a(i+1))$  ile orantılıdır. Burada  $\beta_a(i+1)$ ,  $H_a^{i+1}(z)$ 'nin geçiř bandı geniřlięidir.  $H_{Ma}^i(z)$  ve  $H_{Mc}^i(z)$ 'nin tahmin edilen karmařıklıkları sırasıyla,  $1/\beta_{Ma}(i)$  ve  $1/\beta_{Mc}(i)$  ile orantılıdır. Burada,  $\beta_{Ma}(i)$ ,  $H_{Ma}^i(z)$ 'nin geçiř bandı geniřlięi ve  $\beta_{Mc}(i)$  de  $H_{Mc}^i(z)$ 'nin geçiř bandı geniřlięidir.

$H_a^{i+1}(z)$ ,  $H_{Ma}^i(z)$  ve  $H_{Mc}^i(z)$ 'nin tahmin edilen karmařıklıkları için orantı sabitleri birbiriyle aynı deęildir, ancak yaklaşık olarak aynı kabul edilebilir. Sonuçta, uygun  $M_i$ ,  $\xi(\beta_a(i+1)) + 1/\beta_{Ma}(i) + 1/\beta_{Mc}(i)$  toplamını minimum yapan  $M_i$  olarak seçilir.

Çok-katlı FRM yapısının sentezi için gerekli prosedür řimdi formüle edilebilir. Yukarıdaki kısıtlamalar nedeniyle,  $i$ . katta  $M_i$ ,  $M_{opt}(K)$  ile aynı

olmayabildiğinden, katların gerçek sayısı, tahmin edilen kat sayısı ile aynı olmayabilir.

Uygun kat sayısını ve her kat için gerekli  $M$  değerlerini bulmak için aşağıdaki gibi algoritma izlenebilir [14].

**1.Adım.**  $i = 0$  olarak algoritma başlatınız.  $H_a^0(z)$  için verilen özellikler, tüm sisteme ait özelliklerdir. İkinci adıma geçiniz.

**2.Adım.**  $H_a^i(z)$ 'nin özellikleri, Tablo 4.2.1 ve (4.2.21) denkleminde  $K$  değeri hesaplayınız. Eğer  $K \geq 1$  ise üçüncü adıma geçiniz.

**3.Adım.**  $i$  değerini bir arttırınız. Dördüncü adıma geçiniz.

**4.Adım.**  $\{ \zeta(\beta_a(i+1)) + 1/\beta_{Ma}(i) + 1/\beta_{Mc}(i) \}$  toplamını minimum yapacak  $M_i$  değerini seçiniz. İkinci adıma geri dönünüz.

Yukarıdaki algoritmada  $K$ ,  $i$  değeri ile değişir.  $M_i$ 'nin her zaman  $M_{opt}(K)$  değerine eşit olmaması nedeniyle,  $M_i$  değerini seçtikten sonra,  $H_a^{i+1}(z)$ 'nin karmaşıklığını minimum yapacak yeni bir  $K$  değeri bulmak gereklidir.

Sonuç olarak,  $K$ -katlı optimum FRM yapısını elde ederken şu üç sonuç elde edilmiştir.

1. FRM katlarının sayısı arttıkça  $M$  ara-değerleme faktörü  $e$  (doğal logaritma) değerine yaklaşır.

2.  $K$ -katlı bir optimum tasarım için tüm süzgecin karmaşıklığı, süzgecin geçiş bandının  $(K+1)$ . kare kökü ters orantılıdır.

3. FRM tekniği, eğer normalize geçiş bandı genişliği  $1/16$  (0.063)'dan daha küçük ise etkilidir.

Genelleştirilmiş bir  $K$ -katlı Optimum FRM yapısı Şekil 4.2.1'de verilmektedir.  $K$ -katlı optimum FRM tasarımı ile aşağıdaki özelliklere sahip bir süzgeç tasarlayalım.

$$\text{Örnekleme frekansı : } f_s = 2\pi$$

$$\text{İletim bandı sınırı : } \omega_{ilet} = 0.4\pi$$

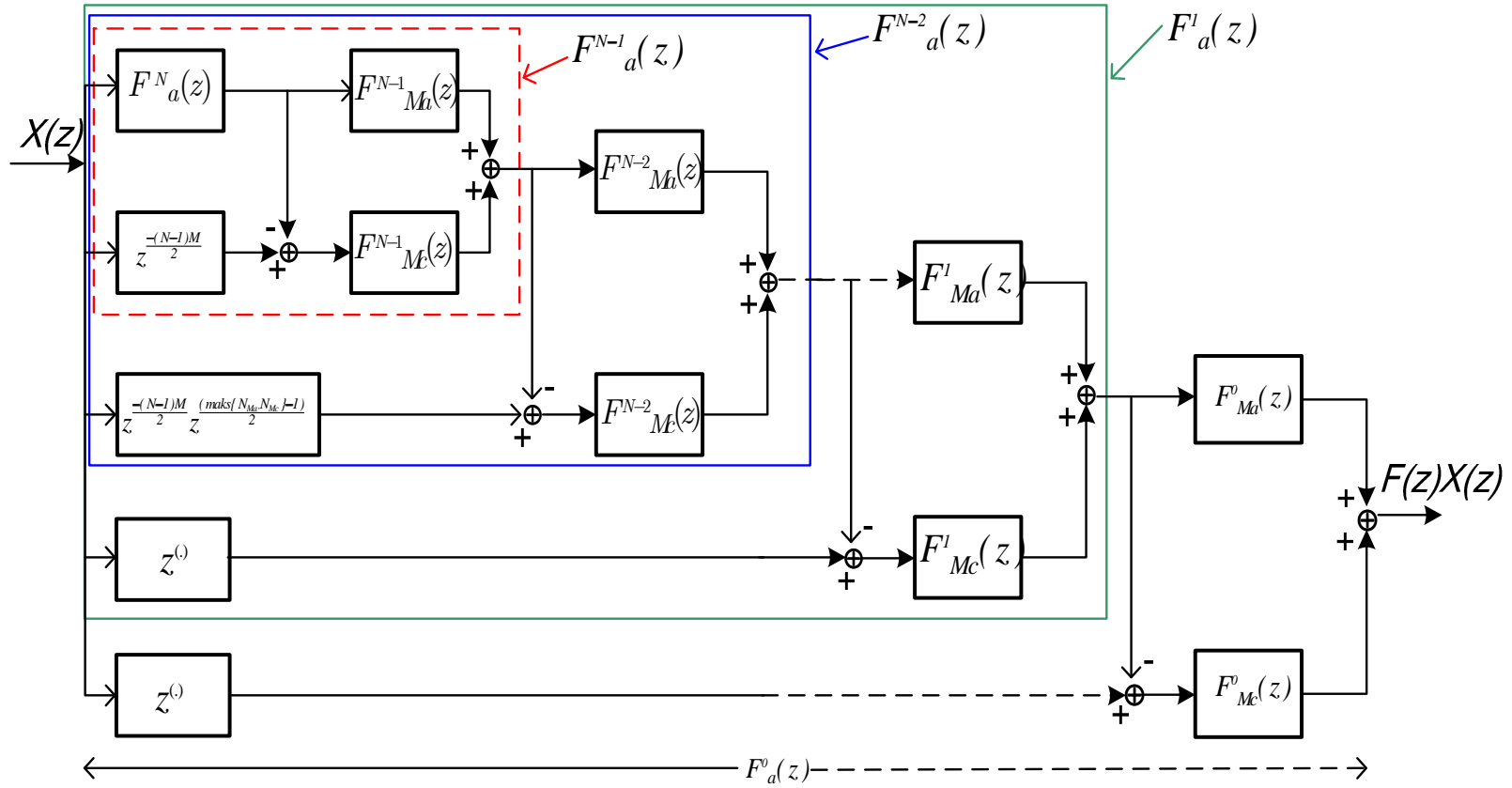
$$\text{Durdurma bandı sınırı : } \omega_{dur} = 0.4002\pi$$

$$\text{İletim bandı dalgalanması : } \delta_{ilet\text{dB}} = 0.05 \text{ dB}$$

$$\text{Durdurma bandı } \delta_{dur\text{dB}} = 50 \text{ dB}$$



Şekil 4.2.1 K-Katlı Optimum FRM yapısı



Yukarıdaki algoritma adımları izlenerek optimum  $M$  değerleri ve buna bağlı olarak gereken kat sayısı hesaplanır. Bu örnek için kat sayısı 5 olarak bulunur. Optimum kat sayısını ve gerekli alt-süzgeçlerin gereken tüm özellikleri, *OptimumKkatli.m* kodu ile hesaplanmıştır. Program çıktısı Tablo 4.2.3 ile verilmiştir. Tablo 4.2.4'de ise tüm alt-süzgeçlerin band sınırları verilmiştir. Tüm band sınırları ve gerekli süzgeç uzunlukları geleneksel FRM tekniğinde verilen tasarım denklemleri ile bulunur.

5-katlı optimum FRM yapısında her katın model süzgeçleri Şekil 4.2.2 ile verilmiştir. Elde edilen çıkış süzgeci 5-katlı FRM süzgecinin genlik cevabı, iletim bandı dalgalanması ve durdurma bandı bastırması Şekil 4.2.3'te görülebilir.

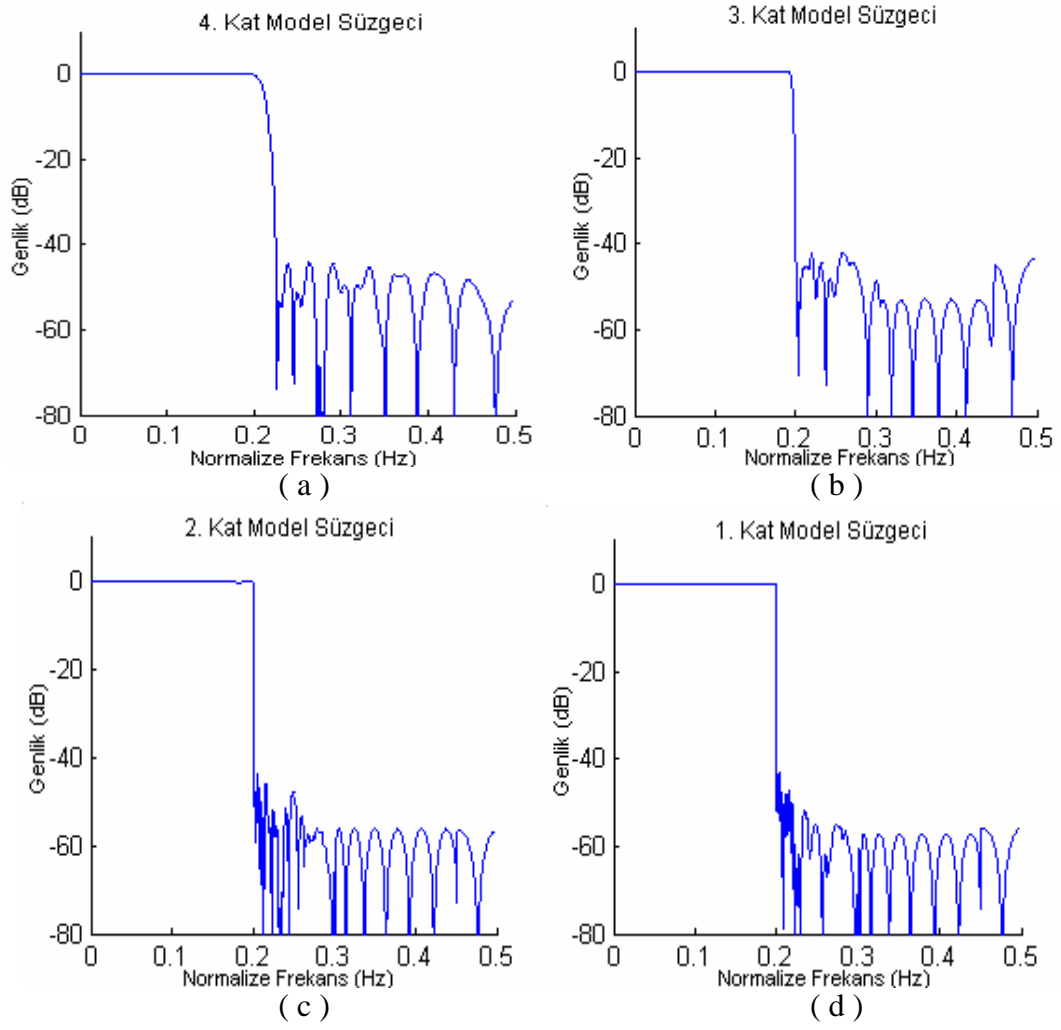
İletim bandı dalgalanması yaklaşık olarak  $\pm 0.03$  dB civarındadır. Durdurma bandı bastırması ise -50 dB üzerindedir.

Kat sayısı = 5
$M_{\text{optDizisi}} = 4 \quad 4 \quad 4 \quad 4 \quad 3$
$M_{\text{opt5}} = 3 \quad M_{\text{opt4}} = 4 \quad M_{\text{opt3}} = 4 \quad M_{\text{opt2}} = 4 \quad M_{\text{opt1}} = 4$
1. Kat En büyük iletim bandı dalgalanması = 0.040564
1. Kat En küçük iletim bandı dalgalanması = -1.666899
1. Kat En küçük durdurma bandı bastırması = -43.052085
Süzgecin en büyük iletim bandı dalgalanması = 0.039345
Süzgecin en küçük iletim bandı dalgalanması = -0.036509
Süzgecin en küçük durdurma bandı bastırması = -50.104453
$A_5$ süzgecinin uzunluğu = 39
$Ma_4$ süzgecinin uzunluğu = 27
$Mc_4$ süzgecinin uzunluğu = 11
$Ma_3$ süzgecinin uzunluğu = 17
$Mc_3$ süzgecinin uzunluğu = 27
$Ma_2$ süzgecinin uzunluğu = 21
$Mc_2$ süzgecinin uzunluğu = 31
$Ma_1$ süzgecinin uzunluğu = 21
$Mc_1$ süzgecinin uzunluğu = 33
$Ma_0$ süzgecinin uzunluğu = 27
$Mc_0$ süzgecinin uzunluğu = 29
Tüm Süzgecin Etkin Uzunluk = 38481

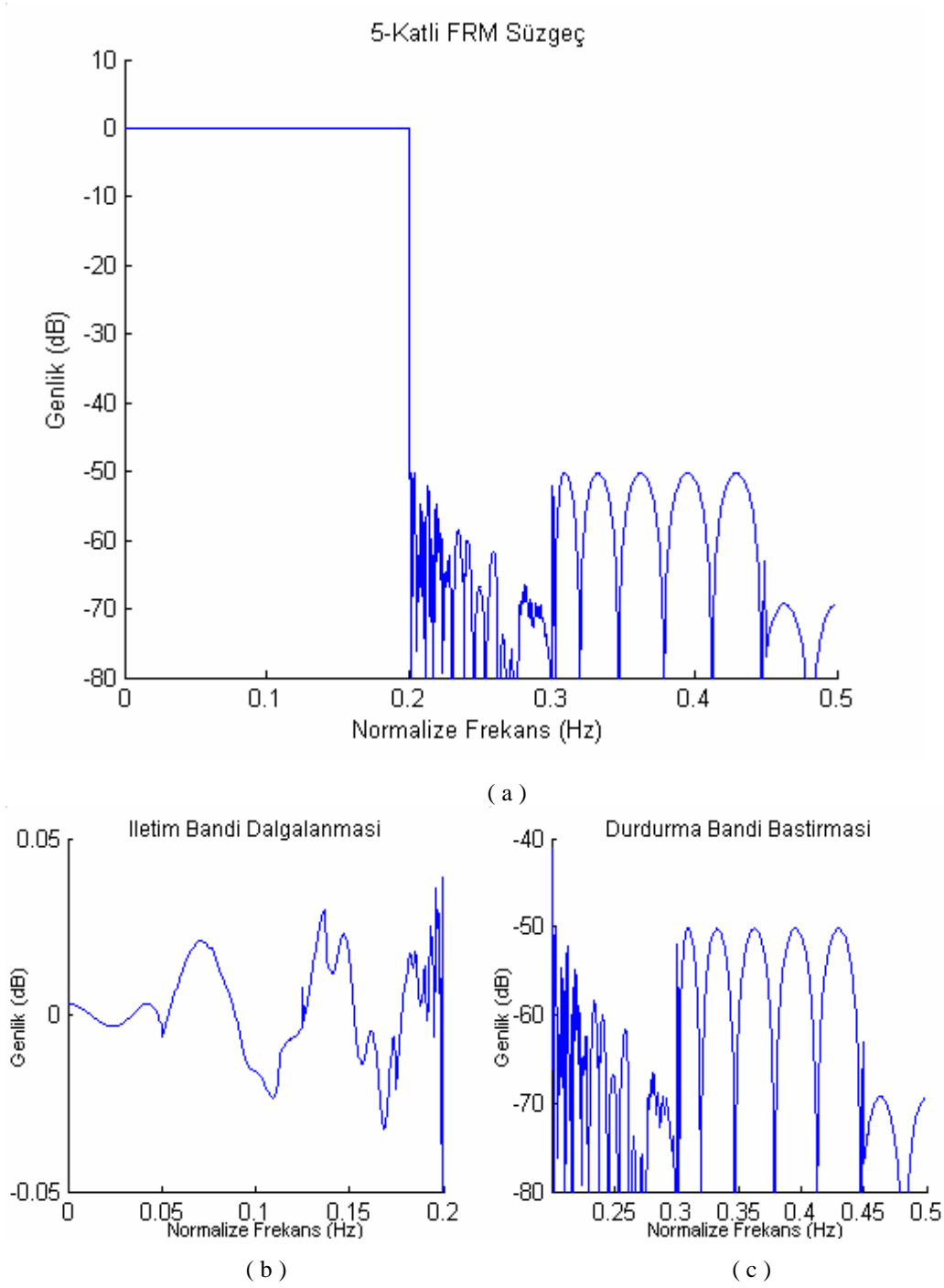
**Tablo 4.2.3** *OptimumKkatli.m* Program çıktısı

K. Kat	5	4	3	2	1	0	Süzgeç
$\theta$	2.0307	1.2566	1.2667	1.2566	1.2541	-	1.2566 (0.4 $\pi$ )
$\phi$	2.5133	1.4175	1.2566	1.2667	1.2566	-	1.2573 (0.4002)
$\omega_{\text{ilet-Ma}}$	-	0.8378	0.3544	0.3142	0.3167	0.3142	-
$\omega_{\text{dur-Ma}}$	-	1.4175	1.2566	1.2667	1.2566	1.2573	-
$\omega_{\text{ilet-Mc}}$	-	1.2566	1.2164	1.2566	1.2541	1.2566	-
$\omega_{\text{dur-Mc}}$	-	2.7713	1.8850	1.8749	1.8850	1.8843	-

**Tablo 4.2.4** 5. katlı FRM yapısı için tüm alt-süzgeçlerini band sınırları



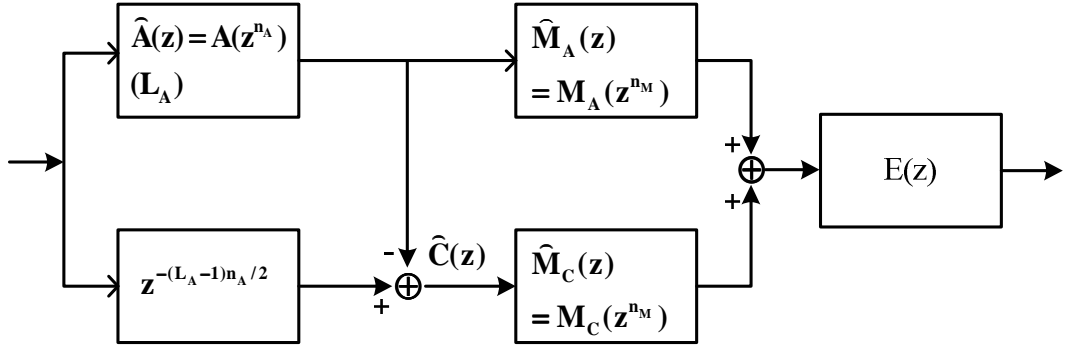
**Şekil 4.2.2** Tüm katlar için model süzgeçler (a) 4. kat (b) 3. kat (c) 2. kat (d) 1. kat



**Şekil 4.2.3** 5-katlı FRM süzgecinin (a) genlik cevabı, (b) iletim bandı dalgalanması (c) durdurma bandı bastırması

### 4.3 IFIR FRM Tekniđi

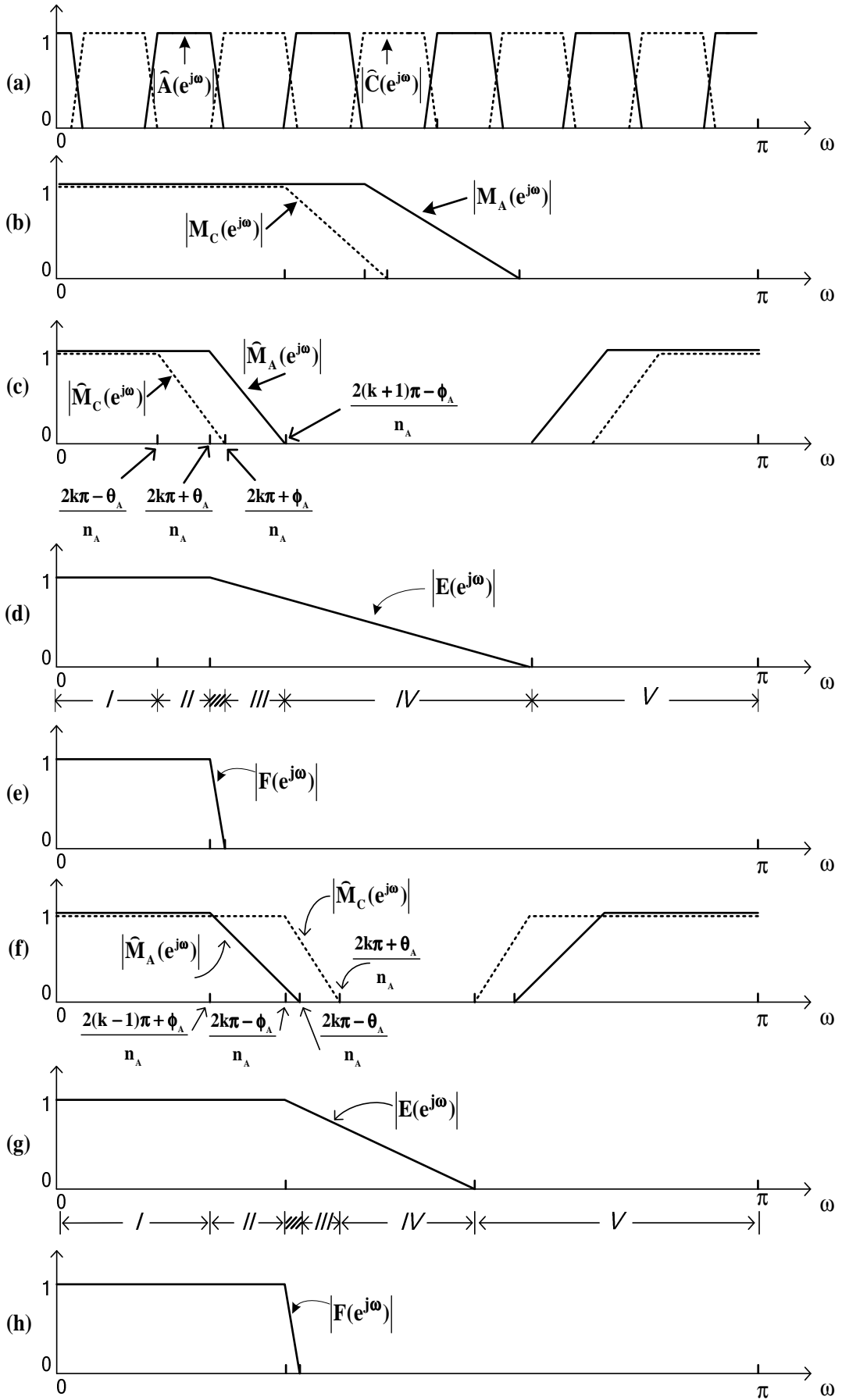
IFIR FRM süzgeçleri, geleneksel FRM süzgeçlerde kullanılan maskeleme süzgeçlerinin ara-deđerlenmesi ve oluřan istenmeyen-periyodiklerin bir maskeleme süzgeci ile yok edilmesi ile oluřturulur. Elde edilen bu yeni yapı Őekil 4.3.1 ile verilmiřtir.



Őekil 4.3.1 IFIR FRM yapısı

Geleneksel FRM tekniđinde, frekans maskeleme süzgeçleri  $M_A$  ve  $M_C$  'nin geçiř bandları, band kenarı řekillendiren süzgeçten elde edilir. Arzulanan süzgecin geçiř band çok dar ise,  $n_A$  çok büyük seřilmelidir. Bu durumda, iki maskeleme süzgeci  $M_A$  ve  $M_C$  süzgeçlerinin geçiř bandları çok dar olur. Bu geçiř bandını gerçeklemek için yüksek dereceli süzgeçler gereklidir. Bu problemin üstesinden gelmek için, IFIR FRM tekniđinde  $M_A$  ve  $M_C$  süzgeçleri yeni bir yapıya kavuřturulmuřtur.  $n_M$ 'in tamsayı deđerleri için,  $\widehat{M}_A(z) = M_A(z^{n_M})$  ve  $\widehat{M}_C(z) = M_C(z^{n_M})$  yapısındadır. Bu durumda,  $\widehat{M}_A(z)$  ve  $\widehat{M}_C(z)$  süzgeçlerinin geçiř bandı geniřliđi,  $M_A(z)$  ve  $M_C(z)$  süzgeçlerinin geçiř bandından  $n_M$  kez daha dardır. Ancak bu kez de,  $\widehat{M}_A$  ve  $\widehat{M}_C$  süzgeçleri yüksek frekanslarda istenmeyen periyodikler üretir. Őekil 4.3.2'de görüldüđü gibi  $n_M = 2$  alınarak üretilen bir IFIR FRM süzgecinde, bu istenmeyen periyodikler, alçak geçiren bir  $E(z)$  süzgeci ile yok edilir.  $n_M = 1$  alındıđında,  $E$  süzgecinin kullanılmasına gerek yoktur ve bu durum geleneksel FRM süzgeci elde etmeye eřdeđerdir. Bir bařka deyiřle, geleneksel FRM, IFIR FRM'nin özel bir hali olmaktadır [16].

IFIR FRM için süzgeç tasarım problemi,  $n_M$  ve  $n_A$  belirlendikten sonra dört alt-süzgeç  $A$ ,  $M_A$ ,  $M_C$  ve  $E$ 'nin tasarlanması ile çözümler. Böylelikle iletim bandı sınırı  $\omega_{ilet}$ , durdurma bandı sınırı  $\omega_{dur}$ , iletim bandı dalgalanması  $\delta_{ilet}$  ve durdurma bandı bastırması  $\delta_{dur}$  olan süzgeç tasarlanabilir.



Şekil 4.3.2 IFIR FRM süzgecin elde edilmesi

### 4.3.1 Alt-süzgeçlerin Band Sınırlarının Belirlenmesi

Şekil 4.3.2(e) ve 4.3.2(h) 'dan görülebileceği gibi  $\omega_{ilet}$  ve  $\omega_{dur}$ ,  $k$  pozitif tamsayıları için  $(2k\pi / n_a, (2k+1)\pi / n_a)$  veya  $((2k-1)\pi / n_a, 2k\pi / n_a)$  frekans aralıklarında bulunmalıdır. Burada da geleneksel FRM tasarımında olduğu gibi iki durumla karşılaşırız. Bu durumlar  $M_a$  süzgecinin iletim bandının  $M_c$ 'nin iletim bandından daha geniş ya da daha dar olmasına bağlıdır. Birinci durumda,  $M_a$  süzgecinin iletim bandı  $M_c$ 'nin iletim bandından daha geniştir. İkinci durumda ise,  $M_c$  süzgecinin iletim bandı  $M_a$ 'nin iletim bandından daha geniştir.

Birinci durumda,

$$\frac{2k\pi}{n_A} < \omega_{ilet}, \omega_{dur} < \frac{(2k+1)\pi}{n_A} \quad (4.3.1)$$

Şekil 4.3.20(c) ve 4.3.20(e) 'dan açıkça görülebileceği gibi,

$$\frac{\theta_A}{n_A} = \omega_{ilet} - \frac{2k\pi}{n_A} \quad (4.3.2)$$

$$\frac{\phi_A}{n_A} = \omega_{dur} - \frac{2k\pi}{n_A} \quad (4.3.3)$$

$$k = \left\lfloor \frac{\omega_p n_A}{2\pi} \right\rfloor \quad (4.3.4)$$

Burada  $\lfloor x \rfloor$ ,  $x$ 'den küçük ya da  $x$ 'e eşit en büyük tamsayıdır. Böylece, aşağıdaki denklemler elde edilebilir.

$$\theta_A = \omega_{ilet} n_A - 2k\pi \quad (4.3.5)$$

$$\phi_A = \omega_{dur} n_A - 2k\pi \quad (4.3.6)$$

$$\Delta_A = n_A \Delta \quad (4.3.7)$$

Benzer şekilde  $M_a$ ,  $M_c$  ve  $E$  süzgeçleri için tasarım denklemleri şöyledir:

$$\theta_{M_a} = \frac{2k\pi + \theta_A}{n_A} n_M = \omega_{ilet} n_M \quad (4.3.8)$$

$$\phi_{M_a} = \frac{2(k+1)\pi - \phi_A}{n_A} n_M \quad (4.3.9)$$

$$\Delta_{M_a} = \left[ \frac{2(\pi - \theta_A)}{n_A} - \Delta \right] n_M \quad (4.3.10)$$

$$\theta_{M_c} = \frac{2k\pi - \theta_A}{n_A} n_M \quad (4.3.11)$$

$$\phi_{M_c} = \frac{2k\pi + \phi_A}{n_A} n_M = \omega_{dur} n_M \quad (4.3.12)$$

$$\Delta_{M_c} = \left[ \frac{2\theta_A}{n_A} + \Delta \right] n_M \quad (4.3.13)$$

$$\theta_E = \omega_{ilet} \quad (4.3.14)$$

$$\phi_E = \frac{2\pi}{n_M} - \frac{2(k+1)\pi - \phi_A}{n_A} \quad (4.3.15)$$

$$\Delta_E = \frac{2\pi}{n_M} - \frac{2(k+1)\pi - \phi_A}{n_A} - \omega_{ilet} \quad (4.3.16)$$

İkinci durumda ise,

$$\frac{(2k+1)\pi}{n_A} < \omega_{ilet}, \quad \omega_{dur} < \frac{2k\pi}{n_A} \quad (4.3.17)$$

$$k = \left\lfloor \frac{\omega_{dur} n_A}{2\pi} \right\rfloor \quad (4.3.18)$$

Burada  $\lceil x \rceil$ ,  $x$ 'den büyük ya da  $x$ 'e eşit en küçük tamsayıdır. Buna göre dört alt-süzgeç için tasarım denklemleri aşağıdaki gibi elde edilebilir.

$$\theta_A = 2k\pi - \omega_{dur} n_A \quad (4.3.19)$$

$$\phi_A = 2k\pi - \omega_{ilet} n_A \quad (4.3.20)$$

$$\Delta_A = n_A \Delta \quad (4.3.21)$$



$$\theta_{M_a} = \frac{2(k-1)\pi + \phi_A}{n_A} n_M \quad (4.3.22)$$

$$\phi_{M_a} = \frac{2k\pi - \theta_A}{n_A} n_M = \omega_{dur} n_M \quad (4.3.23)$$

$$\Delta_{M_a} = \left[ \frac{2(\pi - \theta_A)}{n_A} - \Delta \right] n_M \quad (4.3.24)$$

$$\theta_{M_c} = \frac{2k\pi - \phi_A}{n_A} n_M = \omega_{ilet} n_M \quad (4.3.25)$$

$$\phi_{M_c} = \frac{2k\pi + \theta_A}{n_A} n_M \quad (4.3.26)$$

$$\Delta_{M_c} = \left[ \frac{2\theta_A}{n_A} + \Delta \right] n_M \quad (4.3.27)$$

$$\theta_E = \omega_{ilet} \quad (4.3.28)$$

$$\phi_E = \frac{2\pi}{n_M} - \frac{2k\pi + \theta_A}{n_A} \quad (4.3.29)$$

$$\Delta_E = \frac{2\pi}{n_M} - \frac{2k\pi + \theta_A}{n_A} - \omega_{ilet} \quad (4.3.30)$$

Tüm süzgecin frekans cevabı ise şu şekilde tanımlanır:

$$F(e^{j\omega}) = \{\widehat{A}(e^{j\omega})\widehat{M}_a(e^{j\omega}) + [1 - \widehat{A}(e^{j\omega})]\widehat{M}_c(e^{j\omega})\}E(e^{j\omega}) \quad (4.3.31)$$

Bu dört alçak geçiren alt-süzgecin basit ve sade bir yaklaşım olan Parks-McClellan programı [4] ile tasarımı, iletim ve durdurma bandı dalgalanmaları  $\delta_{ilet}$  ve  $\delta_{dur}$ 'un 1/5'i ile sınırlandırılarak başarılabılır. Ancak, sonuçlar genel olarak % 15 daha iyi olacaktır.

### 4.3.2 $n_M$ ve $n_A$ Değerlerinin Seçimi

Tüm süzgecin karmaşıklığı, dört alt-süzgecin uzunlukları toplamı ile belirlenir. Bir FIR süzgecin uzunluğu geçiş bandı genişliği ile ters orantılı olduğundan, karmaşıklık ölçütü aşağıdaki gibi tanımlanır.

$$C = \frac{1}{\Delta_E} + \frac{1}{\Delta_{M_A}} + \frac{1}{\Delta_{M_C}} + \frac{1}{\Delta_A} \quad (4.3.32)$$

$C$  karmaşıklık ölçütünü mümkün olabildiğince en küçük yapan  $n_M$  ve  $n_A$  değerleri seçilir. Optimum  $n_M$  ve  $n_A$  için analitik bir çözüm bulunmamaktadır. Fakat birbirini izleyen gözlemlerle  $n_M$  ve  $n_A$  için, iyi bir seçim yapılabilir.

Ek-B'de gösterildiği gibi,  $n_M$  ve  $n_A$  için olası olan değerler aralıklar halinde aşağıdaki gibi verilmiştir.

$$1 \leq n_M \leq \left\lfloor \frac{\pi}{\omega_{dur}} \right\rfloor - 1 \quad (4.3.33)$$

$$\max\left\{ \frac{\pi}{\omega_{ilet}}, \frac{4n_M\pi}{\pi + \omega_{dur}n_M} \right\} < n_A < \frac{\pi}{\Delta} \quad (4.3.34)$$

$\omega_{ilet}$  ve  $\omega_{dur}$  band sınırları değerleri, (4.3.1) veya (4.3.17) denklemlerinden birini sağlamalıdır. Basit bir program yazılarak, verilen aralıklar içinde, optimum  $n_M$  ve  $n_A$  değerleri bulunabilir.

En iyi seçilmiş  $n_M$  ve  $n_A$  değerlerini kolayca bulmak mümkün olmakla birlikte  $n_M$  ve  $n_A$  değerlerinin optimumluğu hakkında bir şey söylenemez [16]. Bu yaklaşım ile amaçlanan, belirlenecek dört alt-süzgecin hiçbirinin diğerine belirgin bir biçimde baskın olmamasıdır.  $n_M$  ve  $n_A$  değerlerini bulmak için uygulanması gereken adımlar şöyledir.

1.  $2\pi/n_M - 2\omega_{ilet} \approx \Delta_E$  değerinin  $0.2\pi$  civarında olması için  $(1, \lfloor \pi/\omega_{dur} \rfloor - 1)$  aralığında  $n_M$  değeri belirlenir.
2.  $\Delta_A \approx 0.5(\Delta_{M_A} + \Delta_{M_C})$  olacak şekilde  $n_A = \sqrt{n_A\pi/\Delta}$  olarak alınır.
3.  $n_A$  değerleri az miktarda değiştirilir ve  $0.5(\pi - n_A\Delta)$ 'a en yakın  $\theta_A$  değeri alınır. Böylece  $\Delta_{M_A} \approx \Delta_{M_C}$  sağlanır.

Literatürde IFIR FRM yapısı olarak, ayrıca band şekillendiren süzgecin IFIR bir yapıya kavuşturulduğu bir yapı daha vardır. Ayrıntıları [17]'de verilen yapıda band sınırı şekillendiren süzgeç, bir periyodik model ve maskeleyiciden oluşmaktadır.

Örneğin, doğrusal-fazlı alçak geçiren bir FIR süzgecin aşağıdaki özelliklere sahip olduğunu düşünelim.

$$\text{İletim bandı sınırı } \omega_{ilet} = 0.4\pi$$

$$\text{Durdurma bandı sınırı } \omega_{dur} = 0.4002\pi$$

$$\text{İletim bandı dalgalanması } \delta_{ilet} = 0.05 \text{ dB}$$

$$\text{Durdurma bandı bastırması } \delta_{dur} = -50 \text{ dB}$$

Geleneksel remez yöntemi ile tasarlanan FIR süzgecin boyu 24116 olarak kestirilmektedir.

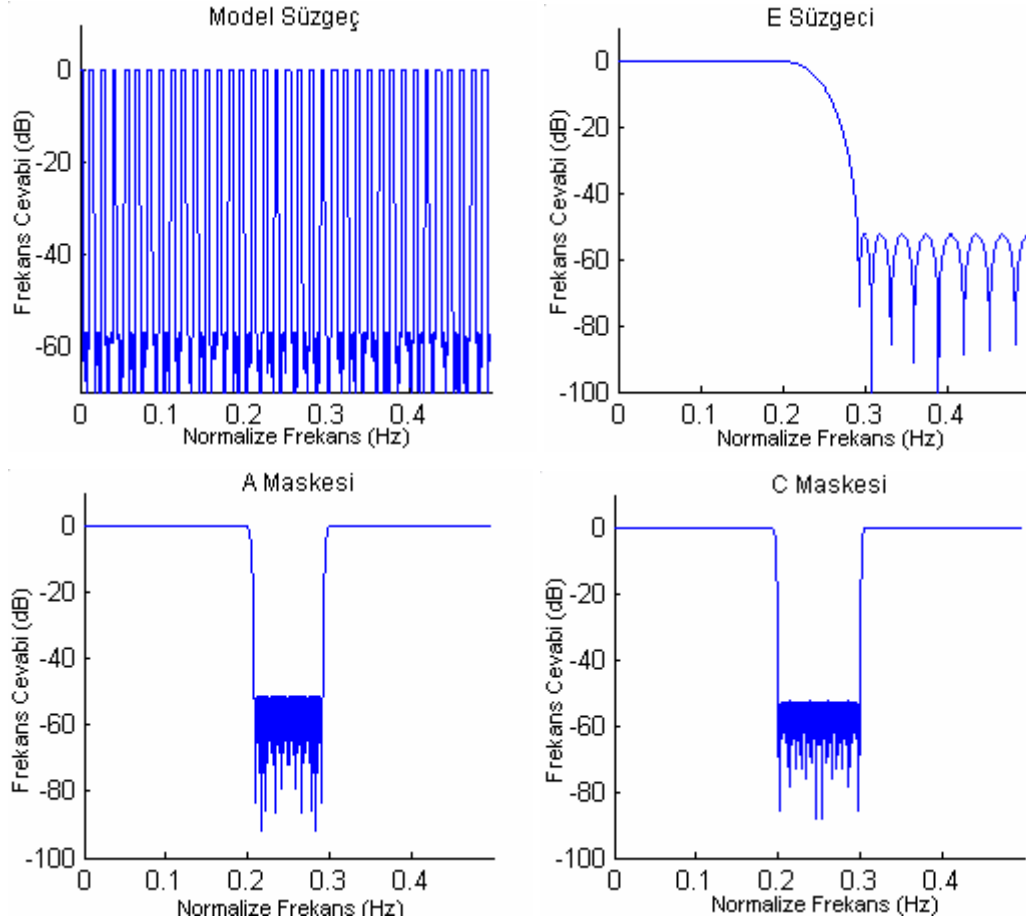
(4.3.33) ve (4.3.34) eşitliklerine göre  $1 \leq n_M \leq 2$  ve  $5 < n_A < 5000$  olmalıdır. Bu aralık üzerinde yapılan araştırmada  $n_M = 2$  ve  $n_A = 71$  alınarak minimum  $C=149.416$  olarak hesaplanır. Üstte verilen algoritmaya göre elde edilen tüm alt-süzgeçlerin band sınırları ve gerekli süzgeç uzunlukları Tablo 4.3.1 ile verilmiştir.

$\omega_{ilet} = 0.4\pi, \omega_{dur} = 0.4002\pi, \delta_{ilet} = 0.05 \text{ dB}, \delta_{dur} = -50 \text{ dB}, n_M = 2, n_A = 71$				
	İletim bandı sınırı, $\theta$	İletim bandı sınırı, $\Phi$	Geçiş bandı genişliği, $\Delta$	Süzgeç Uzunluğu
$E$	$0.4\pi$	$0.4142\pi$	$0.0142\pi$	31
$M_A$	$0.8\pi$	$0.833403\pi$	$0.033403\pi$	161
$M_C$	$0.777465\pi$	$0.8004\pi$	$0.022935\pi$	241
$A$	$0.4\pi$	$0.4142\pi$	$0.0142\pi$	431

**Tablo 4.3.1** 1-Katlı IFIR FRM örneği

Tüm alt-süzgeçlerin toplamı 864'tür. IFIR FRM tekniği ile tasarlanmış süzgeçteki aritmetik operasyonların sayısını, geleneksel yolla elde edilen süzgeç sayısının yaklaşık olarak % 4'üdür. Hesaplama karmaşıklığında % 96 üzerinde bir kazanç sağlanmıştır. Elde edilen süzgecin etkin uzunluğu ise 31041'dir ve geleneksel remez yöntemi ile tasarlanan süzgeçten sadece %28.7 daha uzundur. Orijinal FRM tasarımına göre ise gerekli toplam süzgeç uzunluğu 1167'dir ve IFIR FRM tekniği ile karşılaştırıldığında % 35 civarı bir ek hesaplama karmaşıklığı gerektirir.

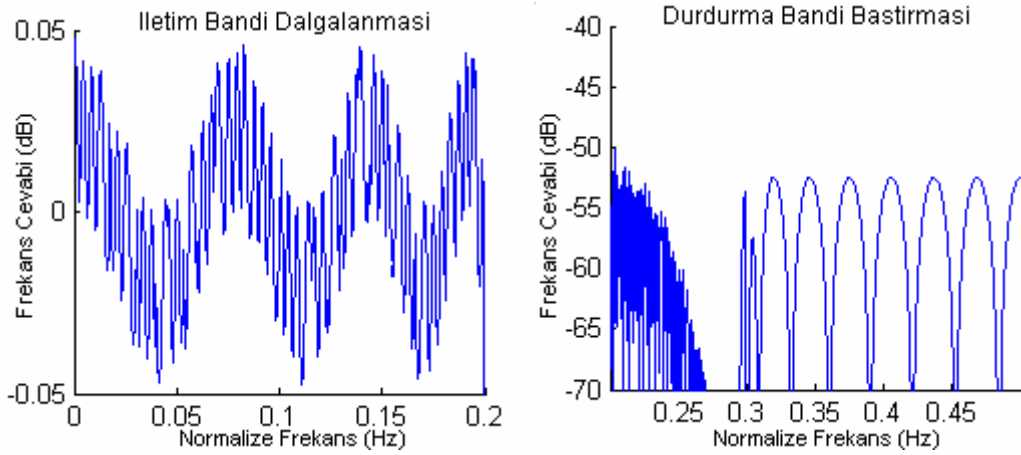
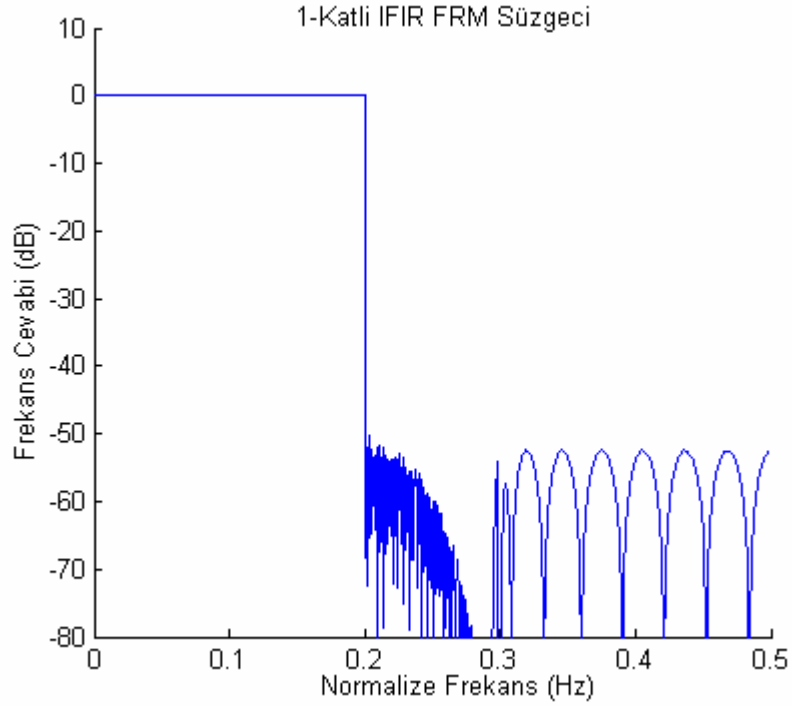
Elde edilen band sınırları ve süzgeç uzunluklarına göre tasarlanan model süzgeç ve maskeleme süzgeçleri Şekil 4.3.3 ile verilmiştir. Elde edilen 1-katlı IFIR FRM süzgece ait *IFIRFRM1Katli.m* dosyasının çıktısı Tablo 4.3.2’de, tüm süzgecin frekans cevabı ile iletim ve durdurma bandı dalgalanmaları ise Şekil 4.3.4’de görülmektedir.



**Şekil 4.3.3** Model süzgeç ve maskeleme süzgeçleri

<p>En büyük iletim bandı dalgalanması 0.047332  En küçük iletim bandı dalgalanması -0.047293  En küçük durdurma bandı bastırması -50.116861  nM su aralıktadır : <math>1 \leq nM \leq 2</math>  nA su aralıktadır : <math>5 \leq nM \leq 5000</math>  nM 2 dir  nA 100 dir  Araştırmadan önce tüm süzgecin karmaşıklığı 2580.801915 dir  nM nin optimum degeri 2 dir  nA nin optimum degeri 71 dir  Tüm Süzgecin Karmaşıklığı " 149.416790 " dir  E süzgecinin uzunluğu 31 dir  mA süzgecinin uzunluğu 161 dir  mC süzgecinin uzunluğu 241 dir  A süzgecinin uzunluğu 431 dir  Toplam Filtre Uzunluğu : <math>431 + 161 + 241 + 31 = 864</math>  Remez Süzgeç için gerekli süzgeç uzunluğu 24116 dir</p>
--

**Tablo 4.3.2** *IFIRFRM1Katli.m* çıktısı

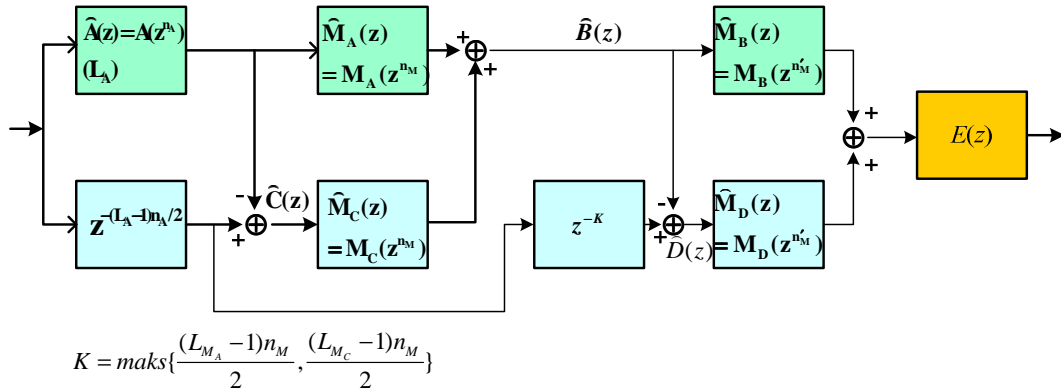


**Şekil 4.3.4** 1-Katlı IFIR FRM süzgecin frekans cevabı, iletim ve durdurma bandı dalgalanmaları

### 4.3.3 2-Katlı IFIR FRM Yapısı

1-Katlı IFIR FRM yapısında gösterildiği gibi maskeleye süzgeçleri  $M_A$  ve  $M_C$ 'nin geçiş bandları,  $|\hat{A}(e^{j\omega})|$ , band sınırı şekillendiren süzgeç tarafından belirlenir. Arzulanan süzgecin geçiş bandı çok dar ise,  $|\hat{A}(e^{j\omega})|$  süzgecinin periyodiklerini keskinleştirmek için,  $n_A$  çok büyük olmak zorundadır. Model maskeleye süzgeçleri  $M_A$  ve  $M_C$ 'nin geçiş bandları, ara-değerlenmiş  $\hat{M}_A$  ve  $\hat{M}_C$  süzgeçlerinden  $n_M$  kez daha geniş olmasına rağmen,  $n_M$  faktörü (4.3.33) denkliğine göre üstten  $[\pi/\omega_s]-1$  sınırlıdır [6]. Bu nedenle  $\Delta_{M_A}$  ve  $\Delta_{M_C}$  hala çok küçük olabilir ve  $M_A$  ve  $M_C$  süzgeçlerinin uzunlukları ise çok uzun olur. Bu durumda, frekans maskeleye işlemi için ikinci kat

olarak  $E$  süzgecinden önce yeni iki alt süzgeç eklenmelidir. Şekil 4.3.5’de 2-katlı IFIR FRM yapısının blok şeması gösterilmektedir.

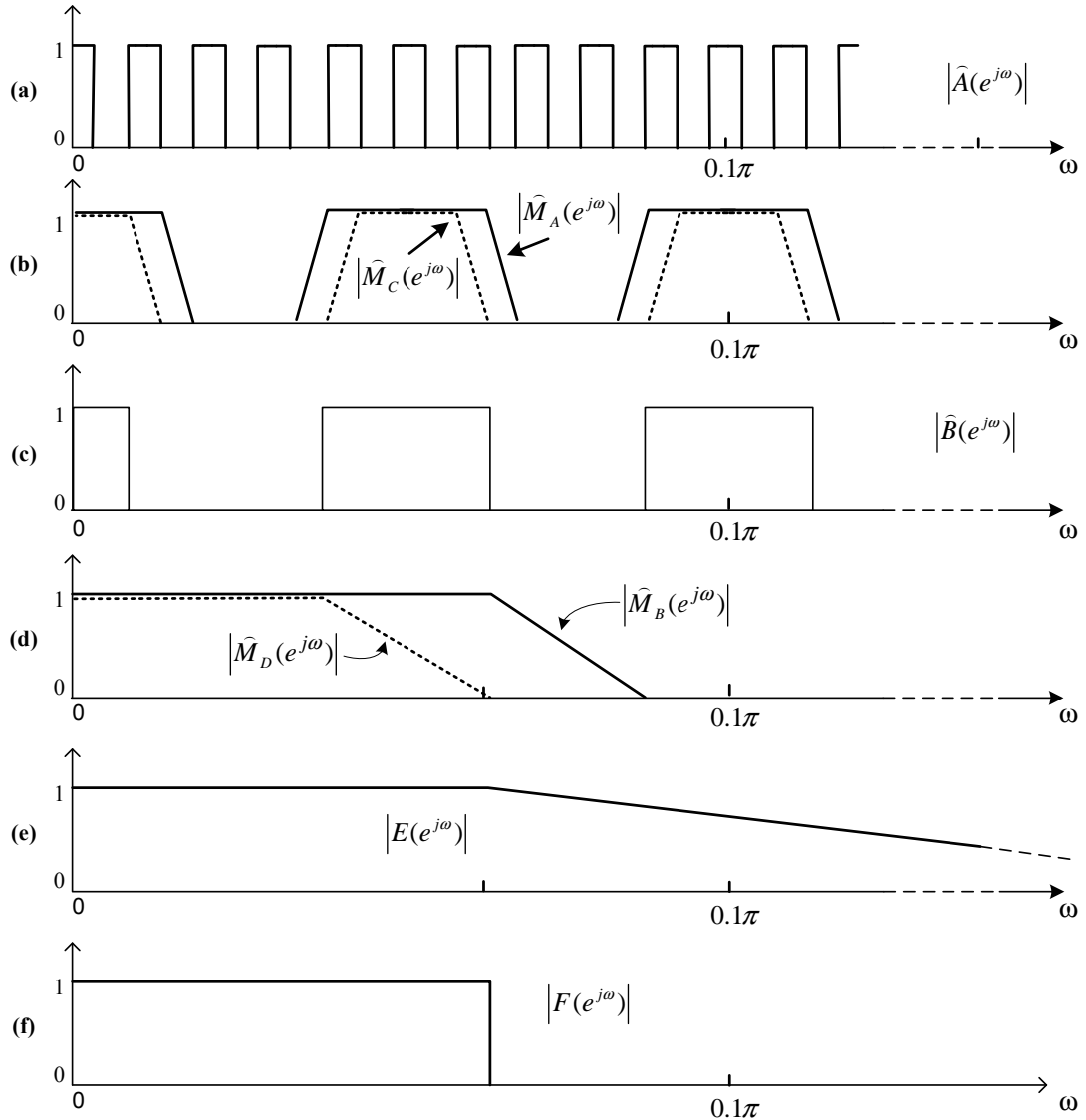


Şekil 4.3.5 2-katlı IFIR FRM yapısı

Şekil 4.3.6(a)’da çok büyük bir değere sahip olan  $n_A$  ile frekans eksenini sıkıştırılmış  $\hat{A}$  süzgecinin frekans cevabı gösterilmektedir.  $\hat{A}$  süzgeci ve onun tamamlayıcısı, 1-Katlı IFIR FRM yönteminde olduğu gibi iki maskeleme süzgeci  $\hat{M}_A$  ve  $\hat{M}_C$  tarafından maskelenirler. Ancak bu kez  $\hat{M}_A$  ve  $\hat{M}_C$  süzgeçleri, model maskeleme süzgeçleri,  $M_A$  ve  $M_C$ ’den 1-katlı IFIR FRM yönteminde kullanılan  $n_M$  değerine göre daha büyük bir  $n_M$  değeri ile oluşturulurlar. Bu nedenle  $\hat{M}_A$  ve  $\hat{M}_C$  süzgeçlerinin geçiş bandları bu durumda daha dardır. Şekil 4.3.6(b)’de,  $\hat{M}_A$  süzgecinin geçiş bandının  $\hat{M}_C$  süzgecinden geniş olduğu durumu için, bu maskeleme süzgeçlerinin frekans cevapları gösterilmektedir. Band sınırı şekillendiren süzgecin  $\hat{M}_A$  süzgeci ile maskelenmesi sonucu Şekil 4.3.6(c)’de görülen  $\hat{B}(e^{j\omega})$  elde edilir.  $\hat{B}(e^{j\omega})$ ’nin tamamlayıcısı  $\hat{D}(e^{j\omega})$  ise gecikme terimleri de hesaplama katılarak şekillendirilir. Görüldüğü gibi  $\hat{B}$  ve  $\hat{D}$  süzgeçleri ilk kattaki üç alt-süzgeç ( $\hat{A}$ ,  $\hat{M}_A$  ve  $\hat{M}_C$ ) tarafından şekillendirilmiş çıkış süzgeçleridir.

Daha sonra  $\hat{B}(e^{j\omega})$  ve  $\hat{D}(e^{j\omega})$ , IFIR FRM yapısının ikinci katını şekillendiren iki maskeleme süzgeci  $\hat{M}_B$  ve  $\hat{M}_D$  tarafından maskelenirler.  $\hat{M}_B$  ve  $\hat{M}_D$  süzgeçlerinin frekans cevapları Şekil 4.3.6(d)’de gösterilmektedir.  $\hat{M}_B$  ve  $\hat{M}_D$ ,  $n_M$  ile aradeğerlenmiştir. Bu nedenle,  $\hat{M}_B$  ve  $\hat{M}_D$  süzgeçlerinin geçiş bandları, model maskeleme süzgeçleri  $M_B$  ve  $M_D$ ’nin geçiş bandlarından  $n_M$  kez daha keskindir. Frekans cevabı Şekil 4.3.6(e)’de verilen  $E$  alçak geçiren süzgeci,  $\hat{M}_B$  ve  $\hat{M}_D$  süzgeçlerinin yüksek frekanslardaki tekrarlarının iletim bandlarını bastırır. Şekil 4.3.6(f)’de ise tüm

süzgecin frekans cevabı gösterilmektedir. Sonuç olarak, ikinci kattaki maskeleme de kullanıldığında ara-değerleme faktörü  $n_M$ , birinci katta kullanılanıdan daha büyük bir değer aldığından,  $M_A$  ve  $M_C$  süzgeçlerinin uzunlukları azalmıştır. Oysaki,  $\hat{B}$  çıkış süzgecini elde etmek için, uygun  $p$  tamsayıları için  $n_A = p.n_M$  eşitliği sağlanmalıdır.



**Şekil 4.3.6** 2-Katlı IFIR FRM süzgecin elde edilmesi

$\hat{B}$  çıkış süzgeci için de, 1-katlı IFIR FRM yapısında kullanılan gösterime uygun bir gösterim üretmek için,  $\hat{B}$  çıkış süzgeci, geçiş bandı genişliği, *model süzgeci*  $B$ 'nin geçiş bandı genişliğinden  $n_M$  kez daha dar olan bir süzgeç olarak tanımlanır.  $\hat{B}$  çıkış süzgecinin geçiş bandı sınırını  $\theta_{\hat{B}}$  ve durdurma band sınırını  $\phi_{\hat{B}}$ 'dir. Benzer gösterim,  $M_B$  ve  $M_D$  alt-süzgeçleri içinde kullanılır.

$A$ ,  $M_A$ ,  $M_C$ ,  $M_B$ ,  $M_D$  ve  $E$  alt-süzgeçlerine ait tasarım parametrelerini belirlemek için, öncelikle ikinci kattan başlanarak sonrasında birinci kata doğru ilerlenir. 1-katlı IFIR FRM için belirlenen iki ayrı durum yine göz önünde tutulmalıdır. Tüm süzgeçlerin band sınırlarını bulma işleminin ayrıntıları burada verilmeyecektir. 2-katlı IFIR FRM tekniğinin tasarım denklemleri, 1-katlı IFIR FRM de ki ile oldukça benzerlik göstermektedir. Tüm alt-süzgeçler için gerekli tasarım denklemleri Tablo 4.3.3’de özetlenmiştir.

İkinci kat için oluşan iki durum :

$$\text{Durum 1. } \frac{2k\pi}{n_M} < \omega_{ilet}, \omega_{dur} < \frac{(2k+1)\pi}{n_M}, k = \lfloor \omega_{ilet} n_M / 2\pi \rfloor \quad (4.3.35)$$

$$\text{Durum 2. } \frac{(2k-1)\pi}{n_M} < \omega_{ilet}, \omega_{dur} < \frac{2k\pi}{n_M}, k = \lfloor \omega_{dur} n_M / 2\pi \rfloor \quad (4.3.36)$$

Birinci kat için oluşan iki durum :

$$\text{Durum 1. } \frac{2l\pi}{n_A} < \theta_B, \phi_B < \frac{(2l+1)\pi}{n_A}, l = \lfloor \theta_B n_A / 2\pi \rfloor \quad (4.3.37)$$

$$\text{Durum 2. } \frac{(2l-1)\pi}{n_A} < \theta_B, \phi_B < \frac{2l\pi}{n_A}, l = \lfloor \phi_B n_A / 2\pi \rfloor \quad (4.3.38)$$

2-katlı IFIR FRM yapısı için olası durumların sayısı dördür. Her  $n'_M$ ,  $n_M$  ve  $n_A$  seti, bu dört durumdan sadece birini sağlar. 1-katlı IFIR FRM’ de olduğu gibi  $n'_M$ ,  $n_M$  ve  $n_A$  değerleri uygun seçilerek süzgeç karmaşıklığı minimuma indirilmelidir. Bu durumda tüm süzgecin karmaşıklık ölçütü, altı alt-süzgecin geçiş band genişlikleri toplamıdır. 2-katlı IFIR FRM yapısında,  $n'_M$ ,  $n_M$  ve  $n_A$  değerleri için uygun aralıklar aşağıdaki gibidir [16].

$$1 \leq n'_M \leq \left\lfloor \frac{\pi}{\omega_{dur}} \right\rfloor - 1 \quad (4.3.39)$$

$$\frac{\pi}{\omega_{ilet}} < n_A < \frac{\pi}{\Delta} \quad (4.3.40)$$

$$1 < p < n_A, \quad 1 < p < n_A \quad (4.3.41)$$



Yukarıdaki aralıklar için, 1-katlı IFIR FRM' de olduğu gibi, optimum  $n'_M, n_M$  ve  $n_A$  değerlerini araştıran basit bir program yazılabilir.

	1. Durum	2. Durum
$\theta_B$	$\omega_{ilet}n_M - 2k\pi$	$2k\pi - \omega_{dur}n_M$
$\phi_B$	$\omega_{dur}n_M - 2k\pi$	$2k\pi - \omega_{ilet}n_M$
$\Delta_B$	$n_M\Delta$	$n_M\Delta$
$\theta_{M_B}$	$\frac{2k\pi + \theta_B}{n_M} n'_M = \omega_{ilet}n'_M$	$\frac{2(k-1)\pi + \phi_B}{n_M} n'_M$
$\phi_{M_B}$	$\frac{2(k+1)\pi - \phi_B}{n_M} n'_M$	$\frac{2k\pi - \theta_B}{n_M} n'_M = \omega_{dur}n'_M$
$\Delta_{M_B}$	$[\frac{2(\pi - \theta_B)}{n_M} - \Delta]n'_M$	$[\frac{2(\pi - \theta_B)}{n_M} - \Delta]n'_M$
$\theta_{M_D}$	$\frac{2k\pi - \theta_B}{n_M} n'_M$	$\frac{2k\pi - \phi_B}{n_M} n'_M = \omega_{ilet}n'_M$
$\phi_{M_D}$	$\frac{2k\pi + \phi_B}{n_M} n'_M = \omega_{dur}n'_M$	$\frac{2k\pi + \theta_B}{n_M} n'_M$
$\Delta_{M_D}$	$(\frac{2\theta_B}{n_M} + \Delta)n'_M$	$(\frac{2\theta_B}{n_M} + \Delta)n'_M$
$\theta_E$	$\omega_{ilet}$	$\omega_{ilet}$
$\phi_E$	$\frac{2\pi}{n'_M} - \frac{2(k+1)\pi - \phi_B}{n_M}$	$\frac{2\pi}{n'_M} - \frac{2k\pi + \theta_B}{n_M}$
$\Delta_E$	$\frac{2\pi}{n'_M} - \frac{2(k+1)\pi - \phi_B}{n_M} - \omega_{ilet}$	$\frac{2\pi}{n'_M} - \frac{2(k+1)\pi - \phi_B}{n_M} - \omega_{ilet}$
$\theta_A$	$\theta_{\bar{B}}n_A - 2l\pi$	$2l\pi - \phi_{\bar{B}}n_A$
$\phi_A$	$\phi_{\bar{B}}n_A - 2l\pi$	$2l\pi - \theta_{\bar{B}}n_A$
$\Delta_A$	$n_A\Delta$	$n_A\Delta$
$\theta_{M_A}$	$\frac{2l\pi + \theta_A}{n_A} n_M = \theta_{\bar{B}}n_M$	$\frac{(2l-1)\pi + \phi_A}{n_A} n_M$
$\phi_{M_A}$	$\frac{2(l+1)\pi - \phi_A}{n_A} n_M$	$\frac{2l\pi - \theta_A}{n_A} n_M = \phi_{\bar{B}}n_M$
$\Delta_{M_A}$	$[\frac{2(\pi - \theta_A)}{n_A} - \Delta]n_M$	$[\frac{2(\pi - \theta_A)}{n_A} - \Delta]n_M$
$\theta_{M_C}$	$\frac{2l\pi - \theta_A}{n_A} n_M$	$\frac{2l\pi - \phi_A}{n_A} n_M = \theta_{\bar{B}}n_M$
$\phi_{M_C}$	$\frac{2l\pi + \phi_A}{n_A} n_M = \phi_{\bar{B}}n_M$	$\frac{2l\pi + \theta_A}{n_A} n_M$
$\Delta_{M_C}$	$(\frac{2\theta_A}{n_A} + \Delta)n_M$	$(\frac{2\theta_A}{n_A} + \Delta)n_M$

**Tablo 4.3.3** Tüm alt-süzgeçler için gerekli tasarım denklemleri

$n'_M, n_M$  ve  $n_A$  değerleri belirlendikten sonra altı alçak geçiren alt-süzgeç tasarlanabilir. Bu süzgeçler, etkin uzunluğu en küçükten en büyüğe doğru  $E, M_B$

( $M_D$ ),  $M_A$  ( $M_C$ ) ve  $A$  olarak sıralanır. Bu nedenle,  $E$  süzgeci ilk tasarlanmalı, ardından  $M_B$ ,  $M_D$ , daha sonra  $M_A$ ,  $M_C$  ve son olarak da  $A$  süzgeci tasarlanmalıdır.

Örneğin, 1-katlı IFIR FRM yapısı için verilen örnekteki doğrusal-fazlı alçak geçiren FIR süzgeci, bu kez 2-katlı IFIR FRM tekniği kullanarak tasarlayalım.

Geleneksel remez yöntemi ile tasarlanan süzgecin uzunluğu 24116 olarak kestirilmektedir. Tüm alt-süzgeçlerin toplamı 468'dir. Bu durumda  $n'_M=2$ ,  $n_M=21$ ,  $n_A=231$  olur. Hesaplama karmaşıklığındaki azalma oranı yaklaşık olarak % 98'dir. Süzgecin etkin uzunluğu 34007 ve geleneksel tasarlanan süzgecin etkin uzunluğundan sadece % 41 daha büyüktür. Alt-süzgeçlerin uzunlukları ve band sınırları Tablo 4.3.4'te listelenmiştir.

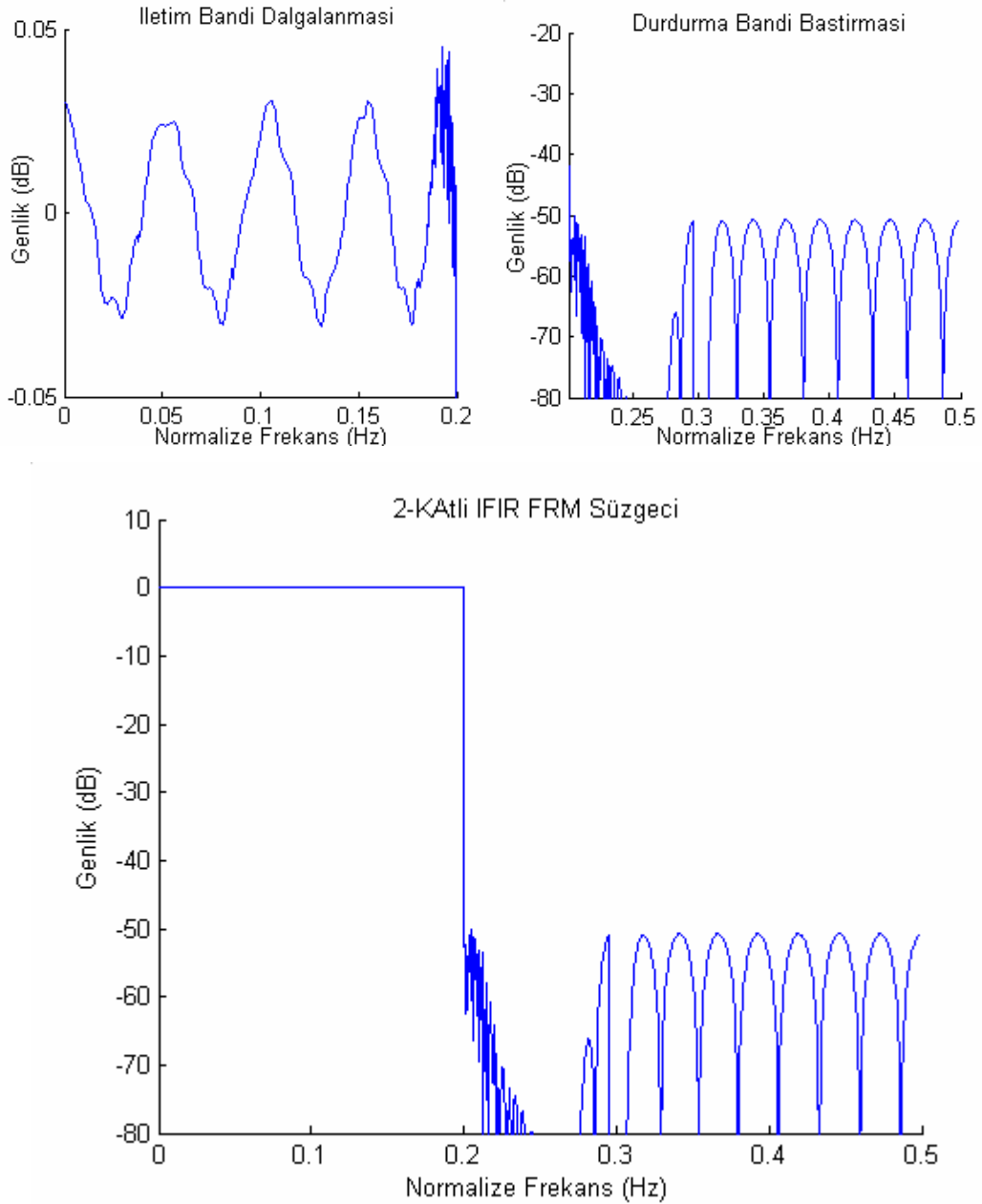
$\omega_{ilet} = 0.4\pi$ , $\omega_{dur} = 0.4002\pi$ , $\delta_{ilet} = 0.05$ dB, $\delta_{dur} = -50$ dB, $n'_M = 2$ , $n_M = 21$ , $n_A = 231$				
	İletim bandı sınırı, $\theta$	İletim bandı sınırı, $\Phi$	Geçiş bandı genişliği, $\Delta$	Süzgeç Uzunluğu
$E$	$0.400000\pi$	$0.543057\pi$	$0.143057\pi$	39
$M_B$	$0.800000\pi$	$0.913886\pi$	$0.113886\pi$	67
$M_D$	$0.723810\pi$	$0.800400\pi$	$0.076590\pi$	101
$M_A$	$0.400000\pi$	$0.504891\pi$	$0.104891\pi$	51
$M_C$	$0.327273\pi$	$0.404200\pi$	$0.076927\pi$	69
$A$	$0.400000\pi$	$0.446200\pi$	$0.046200\pi$	141

**Tablo 4.3.4** Tüm alt-süzgeçlerin band sınırları ve gerekli süzgeç uzunlukları

Elde edilen 2-katlı IFIR FRM süzgece ait *IFIRFRM2Katli.m* dosyasının çıktısı Tablo 4.3.5'de ve tüm süzgecin frekans cevabı ile iletim ve durdurma bandı dalgalanmaları ise Şekil 4.3.7'de görülmektedir.

<p>En büyük iletim bandı dalgalanması 0.045344            En küçük iletim bandı dalgalanması -0.035893            En küçük durdurma bandı bastırması -50.193655            nMt nin optimum degeri 2 dir            nM nin optimum degeri 21 dir            nA nin optimum degeri 231 dir            Optimum karmaşıklık degeri = 73.005427            rsMask_dB = 0.0275            rpMask_dB = 0.0250            Süzgecin etkin uzunluğu = 140x231 + 68x21 + 100x2 + 39 = 34007</p>	<p>E süzgecinin uzunluğu 39 dir            mB süzgecinin uzunluğu 67 dir            mD süzgecinin uzunluğu 101 dir            mA süzgecinin uzunluğu 51 dir            mC süzgecinin uzunluğu 69 dir            A süzgecinin uzunluğu 141 dir            A nın tamamlayıcı süzgecinin uzunluğu 141 dir            Toplam Filtre Uzunluğu = 468            Remez Süzgeç için gerekli süzgeç uzunluğu 24116 dir.</p>
--	--

**Tablo 4.3.5** *IFIRFRM2Katli.m* dosyasının çıktısı



**Şekil 4.3.7** 2-katlı IFIR FRM süzgecin frekans cevabı ile iletim ve durdurma bandı dalgalanmaları

1-katlı ve 2-katlı IFIR FRM süzgecinin tasarlanması sırasında dikkat edilmesi gereken iki nokta vardır.

1.  $\hat{M}_A$  ve  $\hat{M}_C$  süzgeçlerinin grup gecikmeleri eşit olmak zorundadır. Gecikme terimlerinin eşit olmadığı birçok durumda, gecikmesi az olana artık gecikme terimleri eklenerek grup gecikmeleri eşitlenmelidir.

2.  $(L_A - 1)n_A$  ( $L_A - 1$ ),  $(L_{M_A} - 1)n_{M_A}$  ve  $(L_{M_C} - 1)n_{M_C}$  yarım gecikme terimlerinden korunmak için çift olmalıdır.

Buraya kadar sadece  $\omega_{ilet} < 0.5\pi$  için alçak geçiren süzgeç tasarımı incelenmiştir.  $\omega_{ilet} > 0.5\pi$  için de aynı tasarım geçerlidir.  $\omega_{ilet}$ ,  $0.5\pi$  civarında değil ise  $\Delta_E$  küçük bir değer almaz.  $\omega_{ilet}$ ,  $0.5\pi$  civarında iken ise  $\Delta_E$  çok küçüktür ve 1-katlı IFIR FRM yapısında  $n_M > 1$  için uzunluğu kısa olan bir süzgeç tasarlamak zordur. Ancak 2-katlı IFIR FRM yapısında,  $n'_M = 1$  olarak bulunur. Bu nedenle E süzgecini kullanmaya gerek yoktur.

Örneğin iletim bandı sınırı,  $\omega_{ilet}=0.4975\pi$ , durdurma bandı sınırı,  $\omega_{dur}=0.5025\pi$ , iletim bandı dalgalanması,  $\delta_{ilet}=0.05$  dB ve durdurma bandı bastırması  $\delta_{dur} = -50$  dB olan bir süzgeç tasarlayalım. Süzgeç parametreleri Tablo 4.3.6'da, *IFIRFRM2Katli\_wilet05.m* çıktısı Tablo 4.3.7'de ve süzgecin frekans cevabı ile iletim ve durdurma bandı dalgalanmaları Şekil 4.3.8'de görülmektedir.

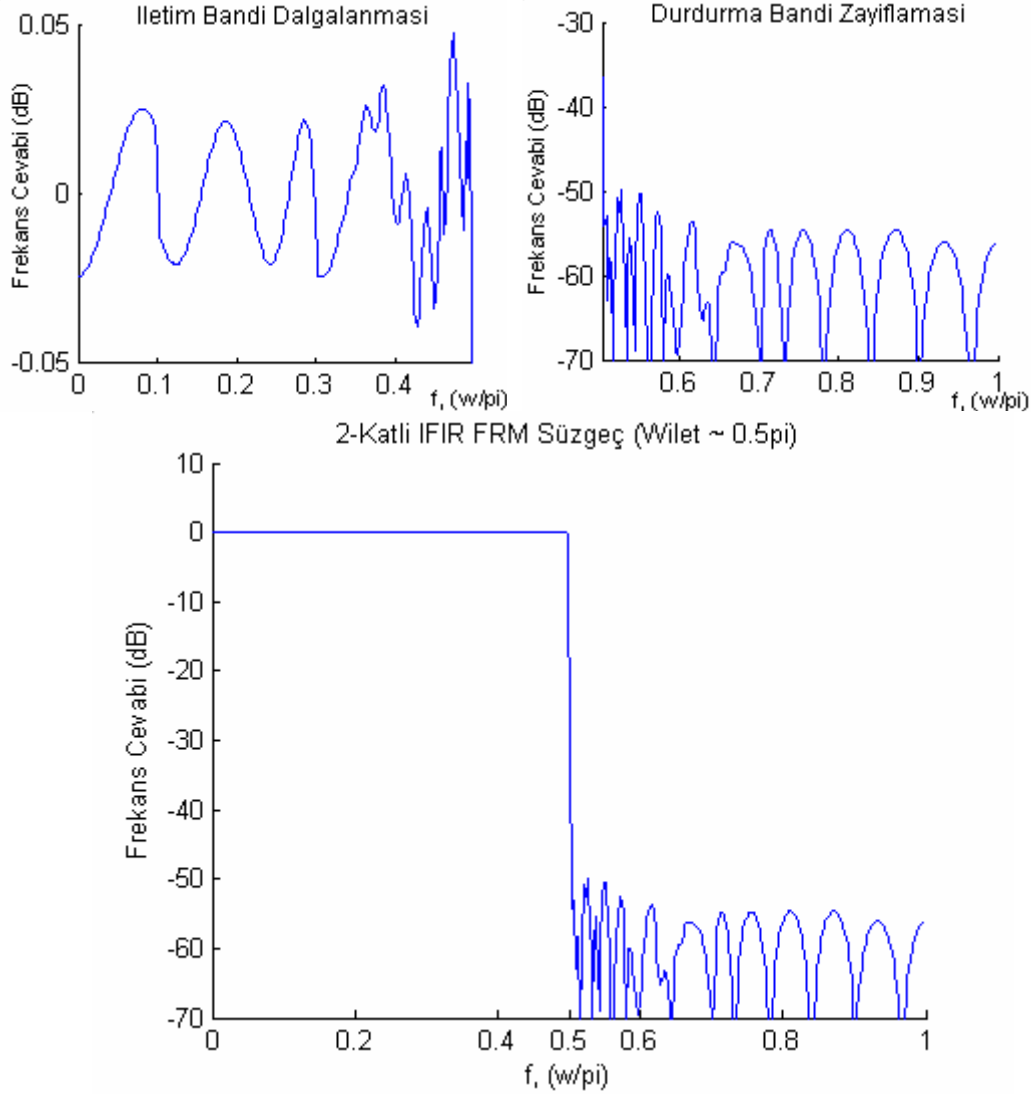
$\omega_{ilet}=0.4975\pi$ , $\omega_{dur}=0.5025\pi$ , $\delta_{ilet}=0.05$ dB, $\delta_{dur}=-50$ dB, $n'_M=1$ , $n_M=5$ , $n_A=25$				
	İletim bandı sınırı, $\theta$	İletim bandı sınırı, $\Phi$	Geçiş bandı genişliği, $\Delta$	Süzgeç Uzunluğu
$M_B$	$0.497500\pi$	$0.697500\pi$	$0.200000\pi$	29
$M_D$	$0.302500\pi$	$0.502500\pi$	$0.200000\pi$	29
$M_A$	$0.487500\pi$	$0.687500\pi$	$0.200000\pi$	29
$M_C$	$0.312500\pi$	$0.512500\pi$	$0.200000\pi$	29
A	$0.437500\pi$	$0.562500\pi$	$0.125000\pi$	49

**Tablo 4.3.6**  $\omega_{ilet} \approx 0.5\pi$  için 2-katlı IFIR FRM süzgecin parametreleri

Tüm süzgecin karmaşıklığı 29.242236 ve alt-süzgeçlerin toplam uzunluğu 165'tir.

<p>nMt su aralıktadır : <math>1 \leq nMt \leq 1</math>  nA su aralıktadır : <math>3 \leq nA \leq 200</math>  Tüm Süzgecin Karmaşıklığı " 29.242236 " dir  nMt nin optimum degeri 1 dir  nA nin optimum degeri 25 dir  nM nin optimum degeri 5 dir  Optimum karmaşıklık degeri = 29.242236  mA süsgecinin uzunluğu 29 dir  mC süsgecinin uzunluğu 29 dir  mA süsgecinin uzunluğu 29 dir  mC süsgecinin uzunluğu 29 dir  A süsgecinin uzunluğu 49 dir  A nin tamamlayıcı süsgecinin uzunluğu 49 dir  Toplam Süzgeç Uzunluğu : <math>49 + 29 + 29 + 29 + 29 = 165</math></p>
---

**Tablo 4.3.7** *IFIRFRM2Katli\_wilet05.m* çıktısı

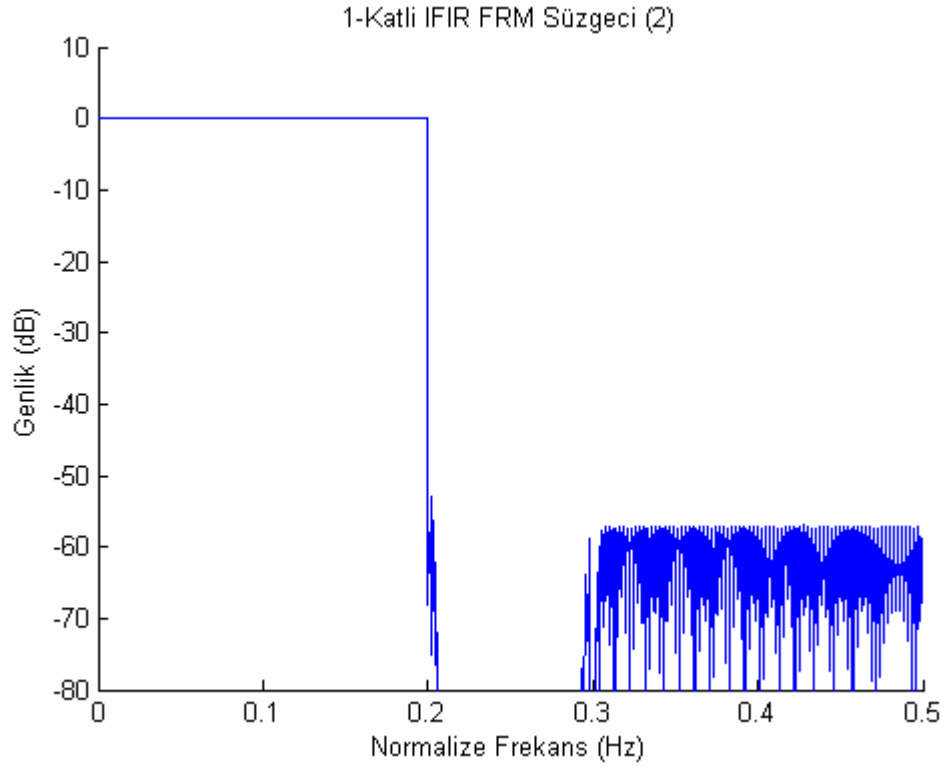


**Şekil 4.3.8** 2-katlı IFIR FRM süzgecin frekans cevabı, iletim ve durdurma bandı dalgalanmaları

#### 4.3.4 IFIR FRM Yapısı için Düşünülen Basitleştirme ve Elde Edilen Farklılıklar

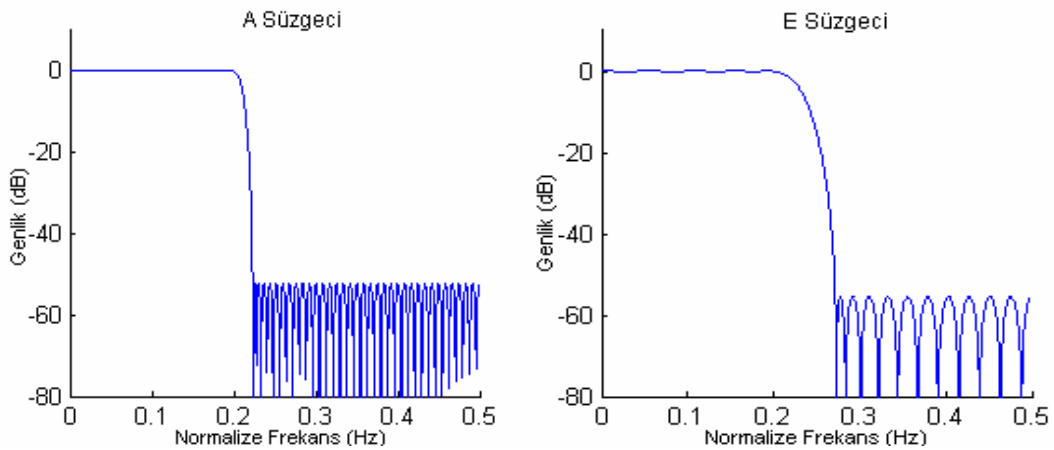
IFIR FRM tekniğinde, son olarak kullanılan  $E$  maskesini her tasarımda kullanmaya gerek yoktur. Tasarımların çoğunda, gerekli olan  $E$  maskesi daha önce kullanılan  $A$ ,  $M_A$ ,  $M_C$ ,  $M_D$ ,  $M_B$  maskelerinden biriyle çok benzer band sınırlarına sahiptir.  $E$  maskesi yerine daha önceden birinci ve ikinci maskeleye katlarında kullanılan süzgeçlerden en uygun olanı kullanma düşüncesi, 2-katlı IFIR FRM tekniğine yaklaşık olarak % 10 civarında ek bir hesaplama karmaşıklığı kazancı sağlamaktadır. Bu düşünce için geliştirilmiş bir tasarım bu tez içinde bulunmamaktadır.

1-katlı IFIR FRM tekniğinde verilen örnek için  $E$  süzgeci yerine  $A$  model süzgeci kullanılırsa, tüm süzgecin uzunluğu % 4 azalmaktadır. Yeni yapı Şekil 4.3.9 ile verilmiştir.



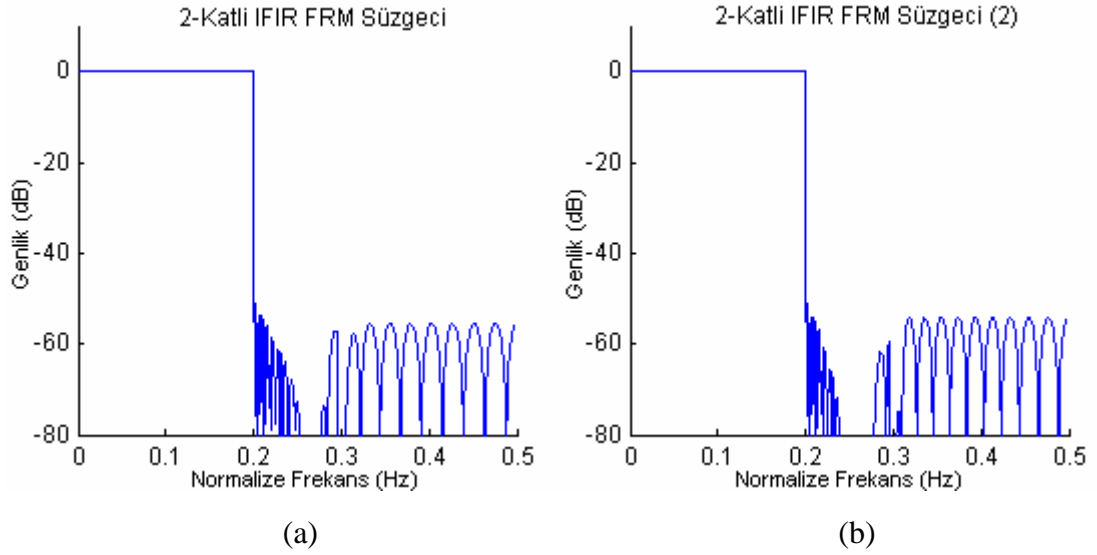
**Şekil 4.3.9**  $E$  süzgeci yerin  $A$  model süzgeci kullanılarak elde edilen yeni 1-katlı IFIR FRM süzgeç

2-katlı IFIR FRM yapısında da  $E$  süzgeci yerine  $A$  model süzgeci kullanıldığında, orijinal IFIR FRM süzgecin yaklaşık olarak aynısı elde edilir. Ancak hesaplama karmaşıklığında yaklaşık % 8 kazanç sağlanır.



**Şekil 4.3.10** 2-katlı IFIR FRM yapısındaki  $A$  model ve  $E$  süzgeci

Şekil 4.3.10’da 2-katlı IFIR FRM yapısındaki kullanılan  $A$  model süzgeci ile  $E$  süzgeci görülmektedir. Elde edilen yeni yapı ile orijinal 2-katlı IFIR FRM yapısı karşılaştırılması ise Şekil 4.3.11’de verilmiştir.



**Şekil 4.3.11** Yeni yapı ile orijinal 2-katlı IFIR FRM yapısı karşılaştırılması (a) orijinal 2-katlı IFIR FRM, (b)  $E$  süzgeci yerine  $A$  model süzgeci kullanılan 2-katlı IFIR FRM yapısı

Tez boyunca süzgeç dalgalanmalarının iyileştirme işlemi yapılmadığından ve 2-nin katlarına kuantalanmadığından süzgeç uzunlukları literatürde verilen süzgeç yapılarına göre % 1-2 oranında daha uzun olmaktadır. Ancak, 2-katlı IFIR FRM için [16]’da verilen örnek ele alındığında, yeni bir ara-değerleme faktörü bulma programı ile gerekli olan ara-değerleme faktörleri kullanılarak, [16]’da verilen ara-değerleme faktörleri ile bulunan hesaplama karmaşıklığından daha iyi bir süzgeç elde edilmiştir.

[16]’da tasarlanması istenen süzgeç şöyledir:

İletim bandı sınırı,  $\omega_{ilet}=0.2\pi$ ,

Durdurma bandı sınırı,  $\omega_{dur}= 0.2005\pi$ ,

İletim bandı dalgalanması,  $\delta_{ilet}=0.1$  dB ve

Durdurma bandı bastırması  $\delta_{dur}= -40$  dB

Geleneksel remez yöntemi ile tasarımda arzulanan süzgeç uzunluğu 7609 olarak kestirilir.  $n'_M$ ,  $n_M$ ,  $n_A$  değerleri [16]’da sırasıyla 3, 32, 192 olarak bulunmuştur. Bunlara karşılık gelen hesaplama karmaşıklığı 48.982919’dır. Gerekli olan alt-süzgeçlerin toplam uzunluğu ise 228’dir. Yeni ara-değerleme faktörü bulma

programı ile ise  $n_M = 3$ ,  $n_M = 22$ ,  $n_A = 132$  olarak bulunur. Yeni ara-değerleme faktörlerine karşılık gelen hesaplama karmaşıklığı 47.284109'dur. Gerekli olan alt-süzgeçlerin toplam uzunluğu ise 220'dir. [16]'da verilen süzgeç ve elde edilen süzgeç parametreleri ve uzunlukları Tablo 4.3.8'de verilmiştir.

$\omega_{ilet} = 0.2\pi$ , $\omega_{dur} = 0.2005\pi$ , $\delta_{ilet} = 0.1$ dB, $\delta_{dur} = -40$ dB, $n_M=3$ , $n_M=32$ , $n_A= 192$				
	İletim bandı sınırı, $\theta$	İletim bandı sınırı, $\Phi$	Geçiş bandı genişliği, $\Delta$	Süzgeç Uzunluğu
$E$	$0.200000\pi$	$0.429667\pi$	$0.229667\pi$	19
$M_B$	$0.600000\pi$	$0.711000\pi$	$0.111000\pi$	39
$M_D$	$0.525000\pi$	$0.601500\pi$	$0.076500\pi$	57
$M_A$	$0.400000\pi$	$0.584000\pi$	$0.184000\pi$	29
$M_C$	$0.2666667\pi$	$0.416000\pi$	$0.149333\pi$	35
$A$	$0.400000\pi$	$0.496000\pi$	$0.096000\pi$	45
$\omega_{ilet} = 0.2\pi$ , $\omega_{dur} = 0.2005\pi$ , $\delta_{ilet} = 0.1$ dB, $\delta_{dur} = -40$ dB, $n_M=3$ , $n_M=22$ , $n_A= 132$				
	İletim bandı sınırı, $\theta$	İletim bandı sınırı, $\Phi$	Geçiş bandı genişliği, $\Delta$	Süzgeç Uzunluğu
$E$	$0.200000\pi$	$0.412621\pi$	$0.212621\pi$	23
$M_B$	$0.600000\pi$	$0.762136\pi$	$0.162136\pi$	29
$M_D$	$0.490909\pi$	$0.601500\pi$	$0.110591\pi$	47
$M_A$	$0.400000\pi$	$0.589000\pi$	$0.189000\pi$	23
$M_C$	$0.266667\pi$	$0.411000\pi$	$0.144333\pi$	33
$A$	$0.400000\pi$	$0.466000\pi$	$0.066000\pi$	65

**Tablo 4.3.8** Elde edilen süzgeç ve [16]'da verilen süzgeç parametreleri

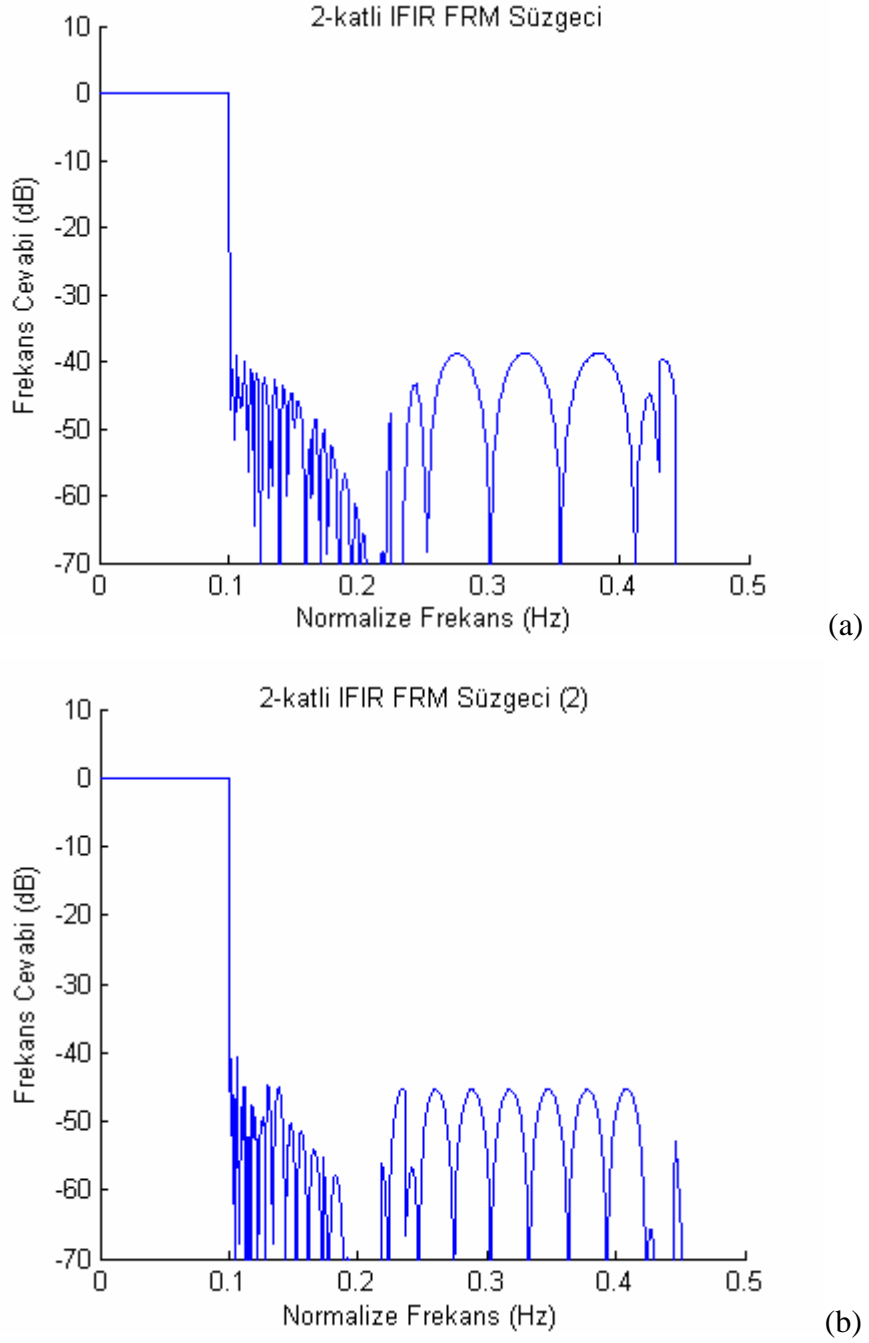
*IFIRFRM2Katliwp2ws2005.m* dosyasının çıktısı Tablo 4.3.9'da verilmiştir. Elde edilen süzgeç ile [16]'verilen süzgeçlerin frekans cevapları Şekil 4.3.12 de gösterilmektedir.

E süzgecinin uzunluğu 23 dir  
mB süzgecinin uzunluğu 29 dir  
mD süzgecinin uzunluğu 47 dir  
mA süzgecinin uzunluğu 23 dir  
mC süzgecinin uzunluğu 33 dir  
A süzgecinin uzunluğu 65 dir  
A'nın tamamlayıcı süzgecinin uzunluğu 65 dir  
Toplam Filtre Uzunluğu : 23 + 29 + 47 + 23 + 33 + 65 = 220  
Remez Süzgeç için gerekli süzgeç uzunluğu 7609 dir

En büyük iletim bandı dalgalanması: 0.074801  
En küçük iletim bandı dalgalanması: -0.094097  
En küçük durdurma bandı bastırması: -40.628928  
nMt nin optimum degeri 3 dir  
nM nin optimum degeri 22 dir  
nA nin optimum degeri 132 dir

**Tablo 4.3.9** *IFIRFRM2Katliwp2ws2005.m* dosyasının çıktısı





**Şekil 4.3.12** Elde edilen süzgeç (b) ile [16]' verilen süzgecin (a) frekans cevapları

#### 4.4 FRM Yapıları için Gerekli Donanım Karşılaştırmaları

FRM tekniği, optimum FRM tekniği ve IFIR FRM tekniği ile üretilmiş üç farklı süzgeç için donanım karşılaştırmaları yapılmıştır. Gerekli donanım, çarpıcı sayısına, dolayısıyla süzgeç uzunluğuna bağlıdır. Süzgecin etkin uzunluğu kullanılacak hafıza biriminin boyutunu belirler. Asıl karmaşıklık ölçütü olarak çarpıcı sayısı alınabilir.

Tez boyunca incelenen örnek için elde edilen gerekli donanımlar Tablo 4.4.1’de verilmiştir.

$\Omega_{ilet} = 0.4\pi$ $\omega_{dur} = 0.4002\pi$ $\delta_{ilet} = 0.05$ dB $\delta_{dur} = -50$ dB			
Yöntemler	Çarpıcı Sayısı	Toplayıcı Sayısı	Etkin Uzunluk
Geleneksel Remez Tasarımı	12058	24115	24116
1-Katlı FRM Süzgeci	582	1162	30833
2-Katlı FRM Süzgeci	338	676	34465
1-Katlı IFIR FRM Süzgeci	432	863	31010
2-Katlı IFIR FRM Süzgeci	234	467	34007
2-Katlı IFIR FRM Süzgeci (2)	215	429	33968
Optimum K-Katlı FRM Süzgeci K=5	141	282	38481

**Tablo 4.4.1** Donanım Karşılaştırması 1

2-katlı IFIR FRM süzgeçleri arasında yapılan hesaplama karmaşıklığı ve donanım karşılaştırması Tablo 4.4.2’de verilmiştir.

$\Omega_{ilet} = 0.2\pi$ $\omega_{dur} = 0.2005\pi$ $\delta_{ilet} = 0.1$ dB $\delta_{dur} = -40$ dB						
Yöntemler	Çarpıcı Sayısı	Toplayıcı Sayısı	Etkin Uzunluk	Optimum Karmaşıklık	Hesaplama Karmaşıklığındaki Azalma	Etkin Uzunluktaki Artış
Geleneksel Remez Tasarımı	3804	7608	7609	2000	---	---
2-Katlı IFIR FRM Süzgeci nMt=3 nM=32 nA= 192	112	224	9931	48.982919	% 97.0557	% 30.5165
2-Katlı IFIR FRM Süzgeci nMt=3 nM=22 nA= 132	110	220	9470	47.284109	% 97.1083	% 24.4579
2-Katlı IFIR FRM Süzgeci (2)	99	197	9447	42.5809	% 97.3975	% 24.1556

**Tablo 4.4.2** Donanım Karşılaştırması 2

1-katlı ve 2-katlı IFIR FRM süzgeçleri arasında yapılan hesaplama karmaşıklığı ve donanım karşılaştırması Tablo 4.4.3’de verilmiştir.

$\Omega_{ilet} = 0.4\pi$ $\omega_{dur} = 0.402\pi$ $\delta_{ilet} = 0.1$ dB $\delta_{dur} = -60$ dB			
Yöntemler	Çarpıcı Sayısı	Toplayıcı Sayısı	Etkin Uzunluk
Geleneksel Remez Tasarımı	1358	2715	2716
1-Katlı FRM Süzgeci	211	422	3840
2-Katlı FRM Süzgeci	157	313	4081
1-Katlı IFIR FRM Süzgeci	164	327	3874
2-Katlı IFIR FRM Süzgeci	128	256	3958

**Tablo 4.4.3** Donanım Karşılaştırması 3

## 5. GÜNÜMÜZDE FRM YAPILARINDAKİ GELİŞMELER

Çift-uzunluklu band sınırı şekillendiren süzgeç üzerine kurulu FRM yapısı ve ön-süzgeç + dengeleyici türü yeni FRM tasarımları, FRM tekniğinde son yıllarda tasarlanan ve gelişmelere açık olan iki konudur.

### 5.1 Çift Uzunluklu Band Sınırı Şekillendiren Süzgeç Üzerine Kurulu FRM Yapısı

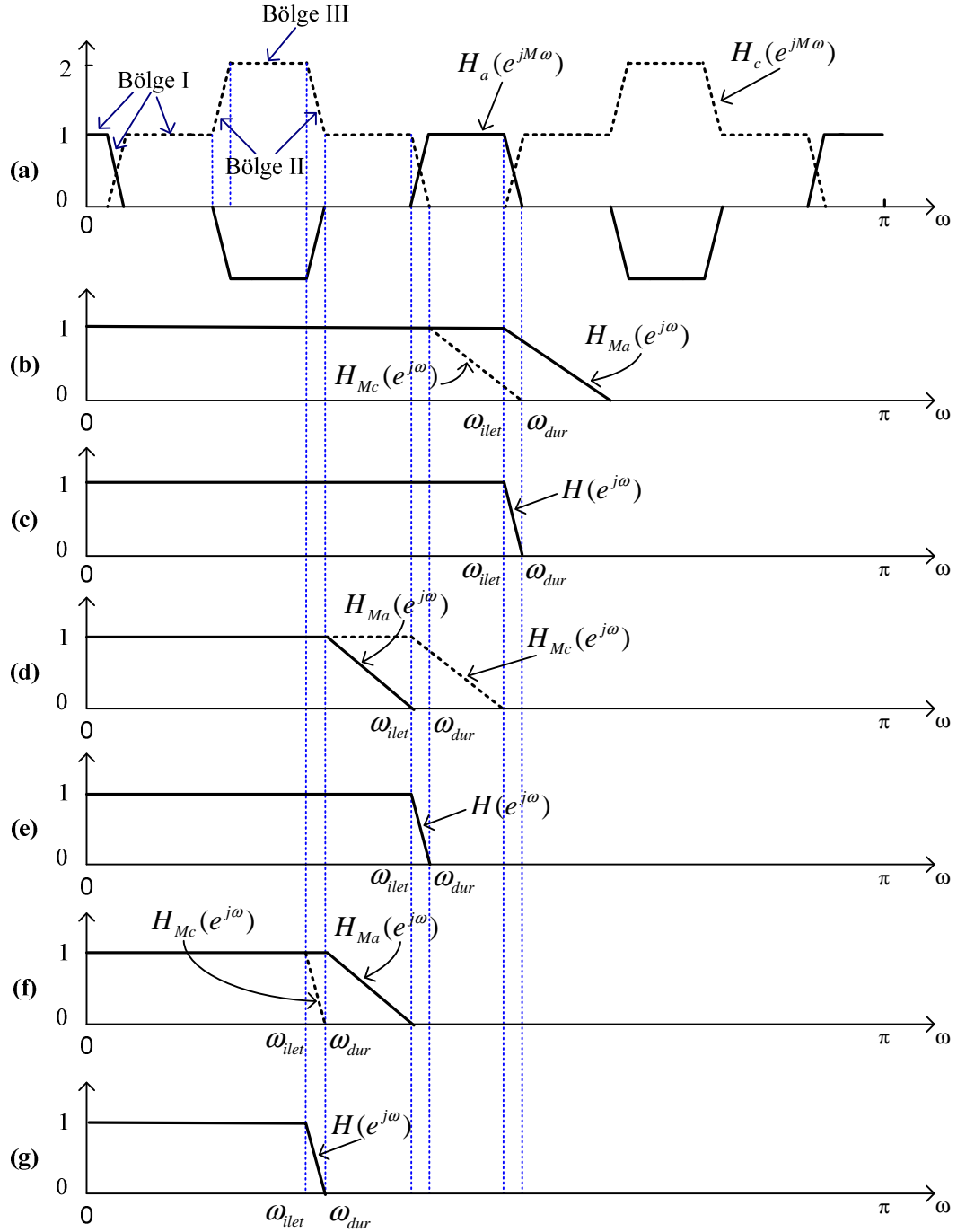
FRM tekniğinde, 2004 yılına kadar band sınırı şekillendiren süzgeç olarak her zaman tek-uzunluklu süzgeç kullanılırdı. Doğrusal-fazlı dört FIR süzgeç tipi düşünüldüğünde FRM yapılarında, çift uzunluklu band sınırı şekillendiren süzgeç kullanılması iletim ve durdurma bandlarında çok büyük dalgalanmalar yaratır. Ancak tüm alt-süzgeçlerin hep birlikte optimize edilmeleri, dalgalanmaların hep birlikte optimize edilmesi ile çift-uzunluklu süzgeç kullanılarak, en az tek-uzunluklu band sınırı şekillendiren süzgeç kullanılan FRM yapısı kadar iyi bir FRM süzgeci elde edilebilir.

#### 5.1.1 Çift-uzunluklu Band Sınırı Şekillendiren Süzgeç Kullanılan FRM yapısında Dalgalanma İncelemesi

Çift-uzunluklu simetrik bir alçak geçiren FIR süzgecin iletim bandı kazancı ya -1 ya da +1 olabilir. FRM yapısında, band sınırı şekillendiren süzgeç olarak böyle bir süzgeç kullanıldığında, band sınırı şekillendiren süzgecin tamamlayıcısının iletim bandı kazancı 1 veya 2 olur. Burada M ara-değerleme faktörü çift olmalıdır [18].

Çift uzunluklu band sınırı şekillendiren süzgeç kullanılarak tasarlanmış bir FRM yapısı için, her bir alt-süzgecin frekans cevabı Şekil 5.4.1'de gösterilmiştir. Şekilden görülebileceği gibi, tüm süzgecin geçiş bandını yapılandıracak toplam üç farklı geçiş bandı vardır ve bunlar Şekil 5.1.2(c), 5.1.1(e) ve 5.1.1(g)'de görülmektedir. Şekil 5.1.1(c) ve 5.1.1(e)'deki durumlar orijinal FRM tekniğindeki, sırasıyla A ve B durumlarına karşılık düşer. Şekil 5.1.1(g)'de oluşan durum, sadece çift-uzunluklu band sınırı şekillendiren süzgeç kullanılan FRM tasarımı için vardır.

Bu durumu C durumu diye adlandıralım. C durumu, tüm süzgecin (arzulanan süzgeç) geçiş bandı genişliğine sahip bir maskeleme süzgeci gerektirdiğinden pratik bir tasarım gibi gözükmez. C durumu ancak tüm alt-süzgeçlerin tümüne birden uygun bir optimizasyon şeması uygulanması yararlı olabilir.



Şekil 5.1.1 FRM yapısındaki her bir alt-süzgecin frekans cevapları

### 5.1.2 Tasarım Yöntemi

II. ve III. bölgelerdeki dalgalanmaları azaltmak için, tüm alt-süzgeçlerin hepsini birden optimize edecek bir tasarım yöntemi gereklidir. Arzulanan frekans cevabı  $H_d(\omega)$  olsun. Bu durumda hata fonksiyonu şöyle tanımlanır.

$$E(\omega) = |H(e^{j\omega}) - H_d(\omega)| \quad (5.1.1)$$

Optimizasyon,  $\omega_k \in X = [0, \omega_{ilet}] \cup [\omega_{dur}, 0.5]$  frekans setleri üzerinde,  $E(\omega_k)$  değerlerinin istenilen özellikleri sağlaması olarak özetlenebilir. Bu, bir çok-amaçlı optimizasyon problemidir. Eğer bir ağırlık fonksiyonu  $ağırlık(\omega_k)$  olarak tanımlanırsa çok-amaçlı optimizasyon problemi tek-amaçlı bir optimizasyon problemine dönüşür. Yeni tek-amaçlı optimizasyon problemi,

$$f = \sum_{\omega_k \in X} ağırlık(\omega_k) \cdot E(\omega_k) \quad (5.1.2)$$

Optimizasyonun amacı  $f$ 'i minimize etmektir.  $ağırlık(\omega_k)$ 'ın başlangıç değeri, iletim bandında 1 ve durdurma bandında  $\delta_{ilet} / \delta_{dur}$  'dır. Bunu başarmak için, bir çok optimizasyon yöntemi kullanılabilir. [18]'da optimizasyon için, Ardışıl Kuadratik Program (SQP) kullanılmıştır. MATLAB programında *fgoalattain* komutu ile bu optimizasyon başarılabılır. Tasarım şu dört adımdan oluşur.

**Adım 1.** Geleneksel FRM tekniğinde [12]'de anlatılan başlangıç çözümü elde edilir.

**Adım 2.** (5.1.2)'da verilen  $f$  fonksiyonunu minimize etmek için gerekli parametreleri elde etmek için *fgoalattain* komutu çağrılır.

**Adım 3.** Eğer iletim bandı dalgalanması veya durdurma bandı dalgalanması verilen özelliklerden daha büyük ise, [19]'da sunulan algoritma ile ağırlık vektörü güncellenir.

**Adım 4.** Eşit dalgalanmalı bir çözüm elde edilene veya çözümlerdeki değişme önceden tanımlanan bir tolerans  $\varepsilon$ , (örneğin  $\varepsilon = 10^{-8}$ ) değerinden küçük olana kadar 2. adım tekrarlanır.

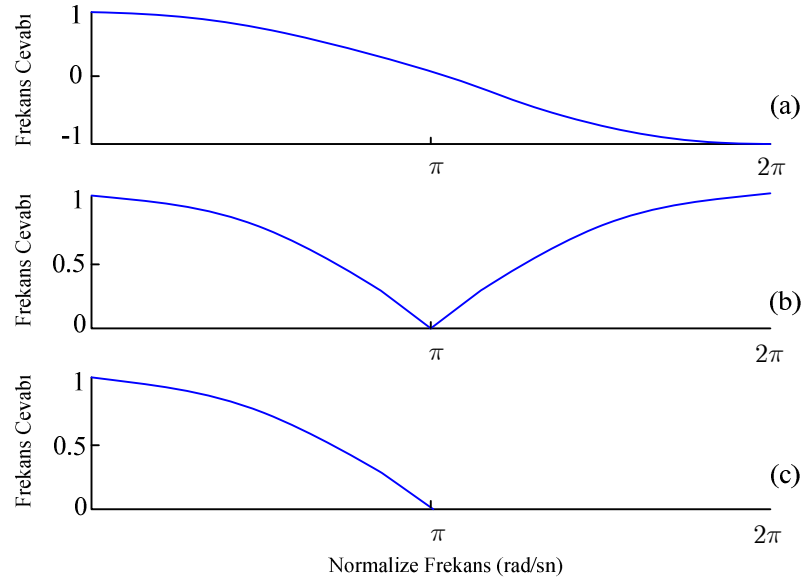
## 5.2. Ön-süzgeç + dengeleyici türü yeni FRM tasarımı

Frekans Cevabı Maskeleye Tekniğinde,  $H_a(z)$  alt-süzgecinin uzunluğu, ara-değerleme faktörü,  $M$  arttırılarak azaltılabilir, ancak buna karşılık her iki maskeleye süzgecinin de uzunlukları artar. Eğer tüm süzgecin karmaşıklığı azaltılmak isteniyorsa, yapılması gereken iki maskeleye süzgecinin band sınırları değiştirilmeden ara-değerleme faktörünün arttırılmasıdır. Bu amaçla yeni bir ön-süzgeç + dengeleyici yapısı kullanılabilir.

Birinci dereceden çift-uzunluklu bir süzgeç,  $P_1(z) = (1 + z^{-1})$  formunda olsun. Bu süzgecin sıfır-fazlı frekans cevabı şu şekilde tanımlanır [20].

$$|P_1(e^{j\omega})| = \cos\left(\frac{\omega}{2}\right) \quad (5.2.1)$$

Çift uzunluklu simetrik bir süzgeç olduğundan, Şekil 5.2.1(a)'da görüldüğü gibi  $P_1(e^{j\omega})$ ,  $[0, \pi]$  aralığında pozitif,  $[\pi, 2\pi]$  aralığında negatif değer alır. Eğer  $[0, \pi]$  aralığında  $P_1(z)$  süzgecine yaklaşan tek-uzunluklu bir  $P_2(z)$  süzgeci tasarlanabilir ve bu iki süzgeç paralel bağlanırsa, iletim bandı  $P_1(z)$ 'ye benzeyen ve  $[\pi, 2\pi]$  aralığında bir durdurma bandı oluşan yeni bir  $P(z)$  süzgeci elde edilebilir.  $P_1(z)$ ,  $P_2(z)$  ve  $P(z)$  süzgeçleri Şekil 5.2.1'de verilmektedir [21].



Şekil 5.2.1 Ön-süzgeç yapısı (a)  $P_1(z)$ , (b)  $P_2(z)$ , (c)  $P(z)$  süzgeçleri

Yarım gecikme terimlerinden korunmak için  $P_1(z)$  ve  $P_2(z)$  süzgeçlerinin gecikme terimleri  $M$  çift bir tamsayı olmak üzere,  $M$  gecikme terimi ile yer değiştirmelidir. Tüm ön-süzgeç yapısı şöyle tanımlanır:

$$P(z^M) = P_1(z^M) + P_2(z^M) \quad (5.2.2)$$

Ön-süzgeç yapısının iletim bandı  $1+z^{-1}$  benzeri bir yapıya sahip olduğundan, ön-süzgeç yapısı, kendi yapısına benzer bir  $H_{den}(z)$  kolayca üretebilir. Sonuçta arzulanan özelliklere sahip bir ön-süzgeç + dengeleyici yapısı elde edilir.

Elde edilen bu yeni ön-süzgeç + dengeleyici yapısı, FRM yapısında, band sınırı şekillendiren  $H_a(z)$  yerine yerleştirilmesiyle, ara-değerleme faktörü arttırılmış fakat maskeleme süzgeçlerinin band sınırlarının değişmediği yeni bir FRM yapısı ortaya çıkar. Bu yeni FRM yapısı için orijinal FRM yapısında kullanılan alt-süzgeçlerin sınırları şu şekilde değiştirilmelidir.

$$m = \lfloor \omega_{ilet} M / (2\pi) \rfloor \quad (5.2.3)$$

$$\omega_{A-ilet} = \omega_{ilet} M - 2\pi m \quad (5.2.4)$$

$$\omega_{A-dur} = \omega_{ilet} M - 2\pi m \quad (5.2.5)$$

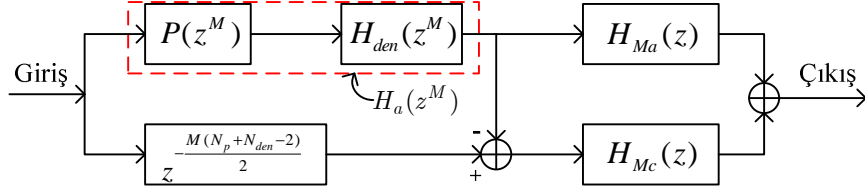
$$\omega_{Ma-ilet} = \omega_{ilet} \quad (5.2.6)$$

$$\omega_{Ma-dur} = \frac{2\pi m + 4\pi - \omega_{A-dur}}{2\pi M} \quad (5.2.7)$$

$$\omega_{Mc-ilet} = \frac{2\pi m - \omega_{A-ilet}}{2\pi M} \quad (5.2.8)$$

$$\omega_{Mc-dur} = \omega_{dur} \quad (5.2.9)$$

Burada  $\lfloor x \rfloor$ ,  $x$ 'den küçük ya da  $x$ 'e eşit en büyük tamsayıdır.  $M$ ,  $P(z)$  ve  $H_{den}(z)$  süzgeçlerinin ara-değerleme faktörüdür.  $\omega_{ilet}$  ve  $\omega_{dur}$  tüm süzgecin iletim ve durdurma bandı sınırlarıdır.  $\omega_{A-ilet}$  ve  $\omega_{A-dur}$  ön-süzgeç+dengeleyici yapısı,  $P(z)H_{den}(z)$  süzgecinin iletim ve durdurma bandı sınırlarıdır.  $\omega_{Ma-ilet}$ ,  $\omega_{Ma-dur}$ ,  $\omega_{Mc-ilet}$  ve  $\omega_{Mc-dur}$  sırasıyla,  $M_a$  ve  $M_c$  süzgeçlerinin iletim ve durdurma bandı sınırlarıdır. Değiştirilmiş yeni FRM yapısı Şekil 5.2.2'de verilmiştir.



**Şekil 5.2.2** Değiştirilmiş yeni FRM yapısı

Yeni Frekans Cevabı Maskeleye tekniğiyle arzulanan bir süzgeci üretmek için tavsiye edilen algoritma altı adımdan oluşur:

**Adım 1.** Tüm süzgecin uzunluğunu minimize eden ara-değerleme faktörü  $M$  seçilir.

**Adım 2.** Üç alt-süzgeç,  $H_a(z)$ ,  $H_{Ma}(z)$  ve  $H_{Mc}(z)$  süzgeçlerinin band sınırları (5.2.3)-(5.2.9) denklemlerine göre bulunur.

**Adım 3.**  $H_{Ma}(z)$  ve  $H_{Mc}(z)$  süzgeçleri, iletim ve durdurma bandları dalgalanmaları tüm süzgecin iletim ve durdurma bandları dalgalanmalarının % 85'i alınarak tasarlanır.

**Adım 4.**  $H_a(z)$  süzgeci çift-uzunluklu olarak tasarlanır. Daha sonra  $H_a(z)$  süzgeci  $P(z)H_{den}(z)$  süzgecine dönüştürülür.

**Adım 5.**  $P_1(z)$  ve  $H_{den}(z)$  ön-süzgeç olarak alınarak  $P_2(z)$  tasarlanır. Böylece ön-süzgeç + dengeleyici yapısı,  $H_a(z)$  ile aynı özellikleri taşır.

**Adım 6.** Elde edilen tüm süzgecin arzulanan özelliklere sahip olup olmadığı kontrol edilir. Değilse, adım 3'e geri dönülerek süzgeç uzunlukları arttırılır.



## 6. SONUÇLAR

FRM tekniđi, düşük güç harcamasına sahip yüksek hızlı doğrusal-fazlı FIR süzgeçleri tasarlamak için kullanılabilir en uygun yöntemdir. Uzun süzgeçlerin iki bloklu bir yapı ile kısa alt-süzgeçlerle oluşturulması esasına dayanan 1-katlı FRM yapısı ile aritmetik işlem sayısında % 48'i üzerinde kazanç sağlanmıştır. Bu kazanç tasarlanması istenen süzgecin geçiş bandı arttıkça artmaktadır. Optimum olmayan 2-katlı veya  $K$ -katlı FRM yapılarında hesaplama karmaşıklığındaki azalma daha da artırılmıştır. Peşi sıra gelen katlarda en uygun ara-değerleme faktörleri kullanılması ile oluşturulan optimum FRM yapısı ile hesaplama karmaşıklığının azaltılması yanında, üç yararlı sonuca da ulaşılmıştır. Birincisi, FRM katlarının sayısı arttıkça  $M$  ara-değerleme faktörü  $e$  (doğal logaritma) değerine yaklaşır. İkincisi,  $K$ -katlı bir optimum tasarım için tüm süzgecin karmaşıklığı, süzgecin geçiş bandının  $(K+1)$ . kare kökü ters orantılıdır. Üçüncüsü ise, FRM tekniđi, eđer normalize geçiş bandı genişliği 0.063'den daha küçük ise etkilidir. Son olarak verilen sonuç FRM tekniđinin hangi şartlar altında kullanılması gerektiđini ortaya koymuştur. Model süzgecin ara-değerlenerek band sınırı şekillendiren süzgecin oluşturulmasına ek olarak, maskeleme süzgeçlerinin de ara-değerlenmesi ile oluşturulan üç bloklu 1-katlı IFIR FRM yapısı ile hesaplama karmaşıklığında % 20 ek kazanç sağlanmıştır. Bu yapı ile çarpıcı sayısı % 90'in üzerinde azaltılmıştır. Çok keskin süzgeçlerin çok dar olan geçiş bandlarını gerçeklemek için, üçüncü blokta yer alan maskeleme süzgecinin de hala keskin olması nedeniyle, 1-katlı yapıya iki maskeleme süzgeci ve istenmeyen periyodikleri yok eden bir maskeleme süzgecinden oluşan iki bloğun daha eklenmesiyle 2-katlı bir IFIR FRM yapısı elde edilmiştir. Bu yapı, çarpıcı sayısında %98 oranında azalma sağlamıştır. Bunun yanında, IFIR FRM yapısında, istenmeyen yüksek frekans bileşenlerini yok etmekle görevli olan, 1-katlı yapıdaki üçüncü blok ve 2-katlı yapıdaki beşinci blok maskeleme süzgeci, daha önce tasarlanmış olan alt-süzgeçlerden band sınırları uygun olan biri ile yer değiştirilebilir. Bu durumda, bu blođu kullanmaya gerek yoktur. Bu çalışmada genelleştirilmeyen bu düşünce ile [16]'da tasarlanan süzgeç için % 13 ek çarpıcı sayısı azalması elde

edilmiştir. Bu çalışma boyunca dalgalanma değerleri frekans bandları boyunca sabit alınmış, dalgalanma iyileştirmesi yapılmamıştır. Bu nedenle süzgeç uzunlukları literatürde verilenlerden % 0.5-1 oranında daha uzundur. Ancak aynı yazıda verilen 2-katlı yapı için hiçbir değişiklik yapılmaksızın ara-değerleme bulma programı ile yeni bulunan ara-değerleme faktörleri bulunmuş ve süzgecin karmaşıklığı % 1.4 azaltılmıştır.

Son yıllarda tasarlanan değiştirilmiş FRM yapılarıyla, tek-uzunluklu band sınırı şekillendiren süzgeç kullanılarak üretilen FRM süzgeçlerin, çift-uzunluklu band sınırı şekillendiren süzgeç kullanılarak da üretilebildiği ortaya çıkmıştır. Ayrıca band sınırı şekillendiren süzgecin uzunluğunun, ara-değerleme faktörü değeri arttıkça azaldığı ve keskinleşen geçiş bandı periyodiklerini bastırabilmek için maskeleme süzgeçlerinin derecelerinin arttığı bilindiğinden, band sınırı şekillendiren süzgeç bir ön-süzgeç+dengeleyici yapısı ile yer değiştirilerek, maskeleme süzgeçlerinin band sınırları değiştirilmeden ara-değerleme faktörü  $M$  arttırılabilir.

Genel olarak, FRM tekniği katsayı sayısını belirgin bir biçimde azaltır. Çarpıcı sayısındaki azalma ile elde edilen kazanç, geçiş bandının azaltılması ile artar. FRM süzgeçler düşük katsayı duyarlılığına sahiptir ve katsayıları 2'nin katlarına kuantalanırsa karmaşıklığın azalması daha da arttırılabilir. FRM süzgeçleri, seyrek katsayılı olduğundan daha az bit gerektirir. Bu da düşük güç harcanmasını sağlar.

**EK-A**

$$\begin{aligned} \Phi_1(\delta_1, \delta_2) = & [0.005309 (\log_{10} \delta_1)^2 + 0.07114 \log_{10} \delta_1 - 0.4761] \log_{10} \delta_2 \\ & - [0.00266 (\log_{10} \delta_1)^2 + 0.5941 \log_{10} \delta_1 + 0.4278] \end{aligned} \quad (\text{A1})$$

$$\Phi_2(\delta_1, \delta_2) = 11.01217 + 0.51244[\log_{10} \delta_1 - \log_{10} \delta_2] \quad (\text{A2})$$

## EK-B

Birinci durum ele alındığında, dört alt-süzgeç için (4.3.1)-(4.3.16) arasında verilen tasarım denklemleri için olan sınırlamalar şunlardır.

1. İletim bandları pozitif olmalıdır
2. Durdurma band sınırları  $\pi$ 'den küçük olmalıdır.

Bu sınırlamalar, tasarım denklemlerine şöyle uygulanır.

$$\theta_A = \omega_{ilet} n_A - 2k\pi > 0 \quad (B1)$$

$$\phi_A = \omega_{dur} n_A - 2k\pi < \pi \quad (B2)$$

$$\phi_{M_A} = \frac{2(k+1)\pi - \phi_A}{n_A} n_M < \pi \quad (B3)$$

$$\phi_{M_C} = \omega_{dur} n_M < \pi \quad (B4)$$

(B4)'ten  $n_M \leq \lceil \pi / \omega_{dur} \rceil - 1$  bulunur.  $n_M \geq 1$  alt sınırı da düşünüldüğünde kolayca (4.3.33) denkliğine ulaşılır.

(B2)'den (B1) çıkarılarak  $\phi_A = \theta_A + n_M \Delta < \pi$  elde edilir.  $\theta_A > 0$  olduğundan (4.3.33) denkliğinin sağı,  $n_A < \pi / \Delta$  elde edilir. (B1)'den  $\omega_{ilet} n_A > 2k\pi > 2\pi$  olur. Dolayısıyla,

$$n_A > \frac{2\pi}{\omega_{ilet}} \quad (B5)$$

(B2) ve (B3)'den  $\phi_{M_A} = (2\pi + 4\pi k / n_A - \omega_{dur}) n_M < \pi$  olarak elde edilir. Aynı şekilde  $k \geq 1$  olduğundan,

$$n_A > \frac{2\pi n_M (2k+1)}{\pi + \omega_{dur} n_M} > \frac{6n_M \pi}{\pi + \omega_{dur} n_M} \quad (B6)$$

(B5) ve (B6) denklemleri birlikte düşünülürse,

$$n_A > maks \left\{ \frac{2\pi}{\omega_{ilet}}, \frac{6n_M \pi}{\pi + \omega_{dur} n_M} \right\} \quad (B7)$$

elde edilir. Aynı şekilde ikinci durum için aynı işlemler tekrarlanırsa,

$$n_A > maks \left\{ \frac{\pi}{\omega_{ilet}}, \frac{4n_M \pi}{\pi + \omega_{dur} n_M} \right\} \quad (B8)$$

elde edilir.

## KAYNAKLAR

- [1] **Vijay K. M., Douglas B. W.**, 1999, Digital Filtering, Digital Signal Processing Handbook, CRC/IEEE Press.
- [2] **Kayran, A. H. ve Ekşiođlu E. M.**, 2004, Bilgisayar Uygulamalarıyla Sayısal İşaret İşleme, Birsen Yayınevi, İstanbul.
- [3] **Mitra, S. K., Kaiser, J. F.**, 1993, Handbook for Digital Signal Processing, John Wiley & Sons, Inc, Canada.
- [4] **McClellan, J. H., Parks, T. W. and Rabiner, L. R.**, 1973, A Computer Program for Designing Optimum FIR Linear Phase Digital Filters, IEEE Transactions on Audio and Electroacoustics, Vol. AU-21, No.6, 506-526
- [5] **Rabiner, R. R.**, 1973, Approximate Design Relationships for Low-pass FIR Digital Filters, IEEE Transactions on Audio and Electroacoustics, Vol. AU-21, No.5, 456-460
- [6] **Diniz, P. S. R, da Silva, E. A. B., Netto, S. L.**, 2002, Digital Signal Processing System Analysis and Design, Cambridge University Press, United Kingdom.
- [7] **Adams, J. W. ve Wilson A. N.**, 1983, A New Approach to FIR Digital Filters with Fewer Multipliers and Reduced Sensitivity, IEEE Transactions on Circuit and Systems, Vol. CAS-30, No.5, 277-280.
- [8] **Neuvo, Y., Dong, C. Y. and Mitra, S.K.**, 1984, Interpolated Finite Impulse Response Filters, IEEE Trans. Acous., Speech, Signal Processing, Vol.32, 563-570
- [9] **Saramaki, T.,Neuvo, Y. and Mitra, S.K.**, 1988, Design of Computationally Efficient Interpolated FIR Filters, IEEE Trans. Circuit and Systems, Vol.35, 70-88.

- [10] **Lyons, R.**, 2003, Interpolated Narrowband Lowpass FIR Filters, IEEE Signal Processing Magazine, No.1053-5888, 50-56.
- [11] **Lim, Y.C., Parker, S.R.**, 1983, FIR Filter Design over a Discrete Powers-of-two Coefficient Space, IEEE Trans. Circuit Syst. Vol CAS-30, 963-968.
- [12] **Lim, Y. C.**, 1986, Frequency-Response Masking Approach for the Synthesis of Sharp Linear Phase Digital Filters, IEEE Transactions on Circuit and Systems, Vol. CAS-33, 357-364.
- [13] **Saramaki, T., Lim, Y.C.**, 1999, Use of the Remez Algorithm for Designing FIR Filters Utilizing the FRM Approach, Circuit and Systems, ISCAS'99, Vol.3, 449-455.
- [14] **Lim, Y. C., Lian Y.**, 1993, The Optimum Design of One- and Two-Dimensional FIR Filters Using the Frequency Response Masking Technique, IEEE Transactions on Circuit and Systems-II, Vol. 40, No. 2, 88-95.
- [15] **Chen, C.K., Lee, J.H.**, 1996, Design of Sharp-Cutoff FIR Digital Filters with Prescribed Constant Group Delay, IEEE Transactions on Circuit and Systems-II, Vol.43, No.1, 1-13.
- [16] **Yang, R. H., Liu, B., Lim, Y. C.**, 1988, A New Structure of Sharp Transition FIR Filters Using Frequency Response Masking, IEEE Transactions on Circuit and Systems, Vol. CAS-35, No. 8, 955-966.
- [17] **Lian, Y., Zhang, L. and Ko., C.C.**, 2001, An Improved Frequency Response Masking Approach Designing Sharp FIR Filters, Signal Processing, No.81, 2573-2581.
- [18] **Yu, J., Lian, Y.**, 2004, Frequency-Response Masking Based Filters With the Even-Length Bandedge Shaping Filter, Circuit and Systems, ISCAS 2004, Vol. 5, 536-539.
- [19] **Lim, Y.C., Lee, J.H. and Chen, C.K.**, 1992, A Weighted Least Squares Algorithms for Quasi-Equiripple FIR and IIR Digital Filter Design, IEEE Trans. Signal Processing, Vol.40, 551-558.

- [20] **Lian, Y.**, 2001, A New Frequency-response Masking Structure with Reduced Complexity For FIR Filter Design, Circuit and Systems, ISCAS 2001, Vol.2, 609-612.
- [21] **Lian, Y.**, 2003, Complexity Reduction For FRM-Based FIR Filters Using The Prefilter-Equalizer Technique, Circuit Systems Signal Processing, Vol. 22, No. 2, 137-155.



## **ÖZGEÇMİŞ**

11 Ocak 1979 tarihinde Çanakkale’de dünyaya geldi. 1998 yılında İstanbul Teknik Üniversitesi, Elektronik ve Haberleşme Mühendisliği programında lisans eğitimine başladı. Lisans eğitiminin ardından, 2002 yılında Telekomünikasyon Mühendisliği Yüksek Lisans programına girdi. Halen aynı bölümde araştırma görevlisi olarak çalışmaktadır.